

Per. A-1169
-270



TARTU RIIKLIKU ÜLIKOOLI TOIMETISED

УЧЕНЫЕ ЗАПИСКИ

ТАРТУСКОГО ГОСУДАРСТВЕННОГО УНИВЕРСИТЕТА

TRANSACTIONS OF THE TARTU STATE UNIVERSITY

ALUSTATUD 1893. a.

VIHIK 270 ВЫПУСК

ОСНОВАНЫ В 1893 Г.

ARSTITEADUSLIKKE TÖID

XXVI

FARMAATSIA-ALASED TÖÖD

ТРУДЫ ПО ФАРМАЦИИ



TARTU 1971

Per-A-1971
-270

TARTU RIIKLIKU ÜLIKOOLI TOIMETISED
УЧЕНЫЕ ЗАПИСКИ

ТАРТУСКОГО ГОСУДАРСТВЕННОГО УНИВЕРСИТЕТА
TRANSACTIONS OF THE TARTU STATE UNIVERSITY

ALUSTATUD 1893. a.

VIHK 270 ВЫПУСК

ОСНОВАНЫ в 1893 г.

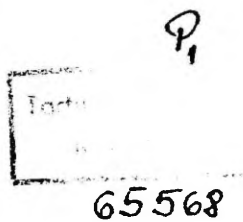
ARSTITEADUSLIKKE TÖID
XXVI
FARMAATSIA-ALASED TÖÖD

ТРУДЫ ПО ФАРМАЦИИ

TARTU 1971

Редакционная коллегия:
Б. Луйк (председатель), И. Крузе и И. Таммару

Redaktsioonikolleegium:
B. Luik (esimees), I. Kruse ja I. Tammaru



О ВЛИЯНИИ МИКРОЭЛЕМЕНТОВ НА ДИНАМИКУ РОСТА,
УРОЖАЙ И СОДЕРЖАНИЕ АЛКАЛОИДОВ В ДУРМАНЕ
ОБЫКНОВЕННОМ Datura stramonium L. В СВЯЗИ
С ИЗВЕСТКОВАНИЕМ КИСЛОЙ ПОЧВЫ

И. Таммару

О влиянии микроэлементов на алкалоидоносные растения в литературе имеется мало данных. Опубликовано несколько исследований о действии бора (1,2) и меди (3) на мак свотворный.

О положительном влиянии кобальта и марганца на бисситет алкалоидов в дурмане сообщают Индра, Сыровый и др. (4).

В настоящей работе мы поставили перед собой задачу выяснить влияние микроэлементов бора, марганца, кобальта и молибдена на динамику роста, урожай и содержание алкалоидов в дурмане обыкновенном на фоне кислой неизвесткованной почвы и на фоне извести. С этой целью в 1967 г. при кафедре фармации Тартуского государственного университета был заложен вегетационный опыт.

Методика

Опыт был заложен на среднеподзолистом суглинике, pH солевой вытяжки которого был 4,50, а гидролитическая кислотность 5,12 мг - экв. на 100 г почвы.

Вегетационные сосуды вместили 8,8 кг абсолютно сухой почвы. Повторность 8-и 7-кратная.

Фоном на неизвесткованной почве был НРК. В качестве азотного удобрения вносили NH_4NO_3 в дозе 75 мг N на 1 кг почвы, в качестве фосфорного удобрения - $\text{Ca}(\text{H}_2\text{PO}_4)_2 \cdot \text{H}_2\text{O}$ в дозе 75 мг P₂O₅ на 1 кг почвы и в качестве калийного удобрения - KCl в дозе 75 мг K₂O на 1 кг почвы.

Известь вносилась в полной дозе по гидролитической

кислотности почвы в виде химически чистого карбоната кальция.

Минеральные удобрения и известь перемешивали со всей почвой при набивке сосудов.

В фазе образования плодов дополнительно вносились раствор NH_4NO_3 из расчета 75 мг N на 1 кг почвы.

Микроэлементы вносились в виде раствора после набивки сосудов почвой.

В качестве борного удобрения вносился H_3BO_3 из расчета 1 мг B на 1 кг почвы, в качестве марганцевого удобрения $\text{MnSO}_4 \cdot 5 \text{H}_2\text{O}$ из расчета 1 мг Mn на 1 кг почвы, в качестве кобальтового удобрения - $\text{Co}(\text{NO}_3)_2 \cdot 6 \text{H}_2\text{O}$ из расчета 1 мг Co на 1 кг почвы и в качестве молибденового удобрения - $(\text{NH}_4)_2\text{MoO}_4$ из расчета 1 мг Mo на 1 кг почвы.

Поливку растений производили дождевой водой до 60% максимальной влагоемкости почвы.

В каждый сосуд высевали по 60 семян дурмана обыкновенного на глубину 1 см.

Всходы появились на 13 день после посева.

После окончательного прореживания в каждом сосуде оставили по одному растению.

Для исследования влияния микроэлементов на динамику роста дурмана производились измерения высоты и диаметра растений через 10 дней. Чтобы лучше выявить малейшие изменения в росте растений, результаты излагаются в виде произведения высоты растений на их диаметр (в см x см).

Количественное определение содержания алкалоидов производили методом электрофореза на бумаге. pH боратного буферного раствора - 9,0. При напряжении 600 вольт разделение алкалоидов происходило за 45 минут.

Электрофорограммы проявлялись реактивом Драгендорфа в модификации Тиса и Рейтера (5) с некоторыми дополнениями.

Состав проявителя в модификации автора: к 2-3 мл исходного раствора, приготовленного по Тису и Рейтеру, прибавляли 46 мл ледяной уксусной кислоты, 120 мл этилацетата, 11 мл

дистиллированной воды и 20 мл 85%-ной муравьиной кислоты.
(Количество исходного раствора зависит от сорта и качества бумаги, а также от требуемого повышения чувствительности реактива и белизны фона. С повышением количества исходного раствора чувствительность возрастает, но может оставаться слабая желтизна фона.)

Такой способ разведения повышает чувствительность проявителя и дает очень контрастные и компактные пятна на белом фоне.

Проявленные электрофореграммы требуют, однако, более интенсивной и длительной вентиляции, от качества которой зависит белизна фона.

В тех случаях, когда вентиляция не давала белого фона, электрофореграммы держались от нескольких секунд до 1-2 минут над сильно кипящей водой на высоте 25 см от поверхности воды, избегая увлажнения электрофореграммы. Механизм действия этой операции, по-видимому, связан с улетучиванием остатков кислот и разложением реактива проявителя под действием умеренной влаги.

Для количественного определения алкалоидов в пятнах использовался денситометр с двухцветным точечным сканирующим лучом (6). Точность метода $\pm 2\%$.

Результаты опыта

В таблице I приведены данные о влиянии микрэлементов В, Mn, Co и Mo на всхожесть семян дурмана. Положительный эффект виден как на фоне без извести, так и на фоне извести.

Наиболее высокая всхожесть наблюдается на фоне без извести под влиянием молибдена, а на фоне извести под влиянием кобальта.

Таблица I

Влияние микроэлементов на всхожесть семян дурмана

Микро- элемен- ты	Всхожесть в % $\bar{x} \pm 0,95$		Повышение всхожести в %	
	Фон		Фон	
	без из- вести	CaCO ₃	без из- вести	CaCO ₃
-	69 ± 2	70 ± 5	0	0
B	82 ± 5	82 ± 8	13	12
Mn	79 ± 5	84 ± 8	10	14
Co	87 ± 7	85 ± 7	18	15
Mo	94 ± 3	77 ± 3	25	7

В таблице 2 приведены данные о влиянии микроэлементов на динамику роста дурмана. Из данных вытекает, что микроэлементы бор, марганец, кобальт и молибден язвно влияют на динамику роста дурмана.

Первые заметные признаки наблюдались уже в фазе бутонизации. Наиболее сильный рост имеют растения с бором на фоне без извести, причем на фоне извести влияния микроэлементов нет. Все растения на фоне извести имеют меньший рост по сравнению с растениями на фоне без извести.

В фазе цветения действие микроэлементов на фоне без извести становится еще более выраженным. Все растения с микроэлементами заметно большего роста, чем контрольные растения. Наиболее мощный рост имеют растения с молибденом.

Иная картина наблюдается у растений на фоне извести. Растения с микроэлементами имеют одинаковый рост с конт-

Таблица 2

**Влияние микроэлементов на динамику
роста дурмана**

Фон	Микро-эле-менты	Произведение средней высоты растений на диаметр см х см $\bar{x} \pm \epsilon$, 0,95			
		Фаза бутониза- ции	Фаза цветения	Фаза образования плодов	Фаза созревания плодов
Без извести	-	306 \pm 28	650 \pm 61	2162 \pm 136	3575 \pm 197
	B	340 \pm 19	825 \pm 52	2496 \pm 130	4070 \pm 188
	Mn	285 \pm 35	816 \pm 76	2650 \pm 181	4047 \pm 157
	Co	285 \pm 30	825 \pm 69	2754 \pm 134	4148 \pm 153
	Mo	288 \pm 32	875 \pm 61	2856 \pm 118	4087 \pm 183
Ca CO ₃	-	240 \pm 24	520 \pm 52	1927 \pm 119	4200 \pm 262
	B	240 \pm 13	500 \pm 48	1927 \pm 145	4290 \pm 250
	Mn	240 \pm 13	525 \pm 61	2115 \pm 134	4234 \pm 199
	Co	240 \pm 17	546 \pm 80	2156 \pm 149	4234 \pm 151
	Mo	240 \pm 15	520 \pm 61	2016 \pm 91	3920 \pm 116

рольными растениями.

В фазе образования плодов продолжается положительное действие микроэлементов на фоне без извести. На фоне извести действие микроэлементов на рост дурмана по-прежнему малозаметно.

В фазе созревания плодов на фоне без извести действие микроэлементов на динамику роста дурмана не отличается от их действия в предыдущей фазе. На фоне извести у растений с микроэлементами по-прежнему разницы не наблюдается, но все растения растут интенсивнее, чем на фоне без извести. В результате этого растения на фоне извести имеют почти одинаковый рост с растениями на фоне без извести.

Влияние микроэлементов на урожай дурмана видно из таблицы 3. На фоне без извести микроэлементы В, Mn, Co и Mo повышают урожай всех органов дурмана. Наибольшее повышение урожая дает молибден. Действие бора, марганца и кобальта на урожай дурмана приблизительно одинаковое.

На фоне извести действие микроэлементов незначительное, повышение урожая доказано только в 4 случаях. Урожай листьев повышается только под влиянием марганца, урожай стеблей и корней под влиянием молибдена, урожай плодов - под влиянием кобальта. В остальных случаях повышение урожая находится в пределах неточности опыта.

В следующих таблицах приведены данные: в таблице 4 - влияние микроэлементов на содержание суммы алкалоидов в процентах в сырье, полученном из разных органов, в таблице 5 - содержание скополамина в %, и в таблице 6 - содержание гиосциамина в %. Доказанным можно считать повышение содержания алкалоидов больше 10%.

Влияние отдельных микроэлементов можно охарактеризовать следующим образом:

Бор. На фоне без извести бор весьма значительно повышает содержание алкалоидов в органах дурмана. Особенно сильно повышалось содержание алкалоидов в стеблях. Содержание гиосциамина в стеблях повышалось больше, чем содержание скополамина, а в листьях наоборот.

На фоне извести действие бора на образование алкалоидов в дурмане заметно слабее, но повышение содержания алкалоидов в % вполне доказано при стеблях и корнях.

Марганец. На фоне без извести Mn повышает содержание

Таблица 3

Влияние микроэлементов на урожай дурмана

♦ О Н Микро- эле- менты	Абсолютно сухой вес в г на одно растение $\bar{x} \pm \epsilon 0,95$				Повышение урожая в %			
	Листья	Стебли	Корни	Плоды*	Листья	Стебли	Корни	Плоды
Без известия	-	11,3 ± 0,5	10,2 ± 0,5	2,94 ± 0,41	63,9 ± 0,9	0	0	0
	B	13,6 ± 0,5	13,7 ± 1,0	4,75 ± 0,30	84,5 ± 2,0	20,4	34,3	61,6
	Mn	13,6 ± 0,4	13,7 ± 0,5	4,45 ± 0,30	80,7 ± 2,5	20,4	34,3	51,4
	Co	13,4 ± 1,0	14,0 ± 0,7	4,56 ± 0,32	84,0 ± 2,0	18,6	37,3	55,1
	Mo	14,9 ± 1,0	14,5 ± 0,8	5,02 ± 0,39	92,0 ± 3,0	31,9	42,2	70,7
Ca CO ₃	-	12,7 ± 0,5	12,5 ± 0,9	4,00 ± 0,37	80,3 ± 1,8	0	0	0
	B	12,5 ± 0,7	12,2 ± 1,3	4,11 ± 0,43	82,1 ± 1,8	1,6	-2,4	2,8
	Mn	13,6 ± 0,5	13,0 ± 1,1	4,33 ± 0,37	81,0 ± 2,6	5,5	4,0	8,3
	Co	13,5 ± 0,8	13,5 ± 0,7	4,41 ± 0,30	87,0 ± 3,0	6,3	8,0	11,1
	Mo	13,7 ± 0,9	13,9 ± 0,8	4,64 ± 0,39	80,6 ± 3,0	7,9	11,2	16,0

* Сырой вес.

Таблица 4

Влияние микроэлементов на содержание суммы
алкалоидов (гиосциамин + скополамин) в дурмане

Фон	Микро- эле- менты	Содержание алкалоидов на абсол.сухой вес в %			Повышение содержания алкалои- дов в %		
		Листья	Стебли	Корни	Листья	Стебли	Корни
Без извести	-	0,113 ± 0,007	0,036 ± 0,008	0,138 ± 0,007	0	0	0
	B	0,208 ± 0,008	0,115 ± 0,007	0,170 ± 0,018	84,0	218,5	23,2
	Mn	0,177 ± 0,010	0,079 ± 0,009	0,141 ± 0,009	56,5	118,6	2,2
	Co	0,187 ± 0,004	0,064 ± 0,005	0,205 ± 0,010	64,6	78,1	48,6
	Mo	0,178 ± 0,007	0,065 ± 0,006	0,182 ± 0,017	57,5	79,2	31,8
	-	0,148,± 0,010	0,042 ± 0,001	0,145 ± 0,010	0	0	0
	B	0,154 ± 0,010	0,057 ± 0,001	0,164 ± 0,008	4,1	34,9	13,1
	Mn	0,177 ± 0,011	0,059 ± 0,001	0,140 ± 0,006	19,6	40,0	-3,4
	Co	0,141 ± 0,006	0,062 ± 0,001	0,137 ± 0,010	-4,1	46,5	-5,5
	Mo	0,125 ± 0,007	0,041 ± 0,001	0,161 ± 0,010	-15,5	-3,8	11,9
CaCO ₃							

Таблица 3

Влияние микроэлементов на урожай дурмана

Фон	Микро-эле-менты	Абсолютно сухой вес в г на одно растение $\bar{x} \pm \varepsilon 0,95$				Повышение урожая в %			
		Листья	Стебли	Корни	Плоды*	Листья	Стебли	Корни	Плоды
Без известия	-	11,3 ± 0,5	10,2 ± 0,5	2,94 ± 0,41	63,9 ± 0,9	0	0	0	0
	B	13,6 ± 0,5	13,7 ± 1,0	4,75 ± 0,30	84,5 ± 2,0	20,4	34,3	61,6	32,2
	Mn	13,6 ± 0,4	13,7 ± 0,5	4,45 ± 0,30	80,7 ± 2,5	20,4	34,3	51,4	26,3
	Co	13,4 ± 1,0	14,0 ± 0,7	4,56 ± 0,32	84,0 ± 2,0	18,6	37,3	55,1	31,5
	Mo	14,9 ± 1,0	14,5 ± 0,8	5,02 ± 0,39	92,0 ± 3,0	31,9	42,2	70,7	44,0
Ca CO ₃	-	12,7 ± 0,5	12,5 ± 0,9	4,00 ± 0,37	80,3 ± 1,8	0	0	0	0
	B	12,5 ± 0,7	12,2 ± 1,3	4,11 ± 0,43	82,1 ± 1,8	1,6	-2,4	2,8	2,2
	Mn	13,6 ± 0,5	13,0 ± 1,1	4,33 ± 0,37	81,0 ± 2,6	5,5	4,0	8,3	0,9
	Co	13,5 ± 0,8	13,5 ± 0,7	4,41 ± 0,30	87,0 ± 3,0	6,3	8,0	11,1	8,3
	Mo	13,7 ± 0,9	13,9 ± 0,8	4,64 ± 0,39	80,6 ± 3,0	7,9	11,2	10,0	0,3

* Сырой вес.

Таблица 4

Влияние микроэлементов на содержание суммы
алкалоидов (гиосциамин + скополамин) в дурмане

Фон	Микро- эле- менты	Содержание алкалоидов на абсол.сухой вес в % $\bar{x} \pm \epsilon 0,95$			Повышение содержания алкалои- дов в %		
		Листья	Стебли	Корни	Листья	Стебли	Корни
Без извести	-	0,113 \pm 0,007	0,036 \pm 0,008	0,138 \pm 0,007	0	0	0
	B	0,208 \pm 0,008	0,115 \pm 0,007	0,170 \pm 0,018	84,0	218,5	23,2
	Mn	0,177 \pm 0,010	0,079 \pm 0,009	0,141 \pm 0,009	56,5	118,6	2,2
	Co	0,187 \pm 0,004	0,064 \pm 0,005	0,205 \pm 0,010	64,6	78,1	48,6
	Mo	0,178 \pm 0,007	0,065 \pm 0,006	0,182 \pm 0,017	57,5	79,2	31,8
	-	0,148, \pm 0,010	0,042 \pm 0,001	0,145 \pm 0,010	0	0	0
	B	0,154 \pm 0,010	0,057 \pm 0,001	0,164 \pm 0,008	4,1	34,9	13,1
	Mn	0,177 \pm 0,011	0,059 \pm 0,001	0,140 \pm 0,006	19,6	40,0	-3,4
	Co	0,141 \pm 0,006	0,062 \pm 0,001	0,137 \pm 0,010	-4,1	46,5	-5,5
	Mo	0,125 \pm 0,007	0,041 \pm 0,001	0,161 \pm 0,010	-15,5	-3,8	11,9
CaCO ₃							

Таблица 5

Влияние микроэлементов на содержание скополамина
в дурмане

Фон	Микро-эле-менты	Содержание скополамина на абсол.сухой вес в % $\bar{x} \pm \sigma_{0,95}$			Повышение содержания скополамина в %		
		Листья	Стебли	Корни	Листья	Стебли	Корни
Без известни	-	0,0057 \pm 0,0005	0,0021 \pm 0,0004	0,027 \pm 0,002	0	0	0
	B	0,013 \pm 0,001	0,0062 \pm 0,0006	0,038 \pm 0,002	126,3	195,0	32,9
	Mn	0,0086 \pm 0,0005	0,0029 \pm 0,0004	0,027 \pm 0,002	50,9	38,0	-7,0
	Co	0,0107 \pm 0,0010	0,0023 \pm 0,0006	0,036 \pm 0,002	87,7	9,5	25,9
	Mo	0,0116 \pm 0,0002	0,0027 \pm 0,0006	0,036 \pm 0,001	103,5	28,4	24,5
Ca CO ₃	-	0,0090 \pm 0,0005	0,0024 \pm 0,0009	0,035 \pm 0,001	0	0	0
	B	0,0097 \pm 0,0003	0,0022 \pm 0,0007	0,041 \pm 0,002	7,8	-7,4	16,9
	Mn	0,0095 \pm 0,0002	0,0024 \pm 0,0007	0,034 \pm 0,003	5,5	0	-2,8
	Co	0,0077 \pm 0,0004	0,0021 \pm 0,0008	0,029 \pm 0,002	-14,4	-12,5	-18,4
	Mo	0,0072 \pm 0,0005	0,0021 \pm 0,0007	0,023 \pm 0,002	-20,0	-12,5	-35,1

Таблица 6

Влияние микроэлементов на содержание гиосциамина
в дурмане

Ф О Н	Микро-эле-мент	Содержание гиосциамина на абсол.сухой вес в % \pm ± 0,95			Повышение содержания гиосциамина в %		
		Листья	Стебли	Корни	Листья	Стебли	Корни
Без известни	-	0,107±0,007	0,0340±0,008	0,109±0,005	0	0	0
	B	0,196±0,014	0,109 ±0,007	0,132±0,007	83,0	220,6	21,2
	Mn	0,168± 0,01	0,0760±0,008	0,115±0,008	57,0	123,5	5,5
	Co	0,176±0,003	0,063 ±0,004	0,169±0,010	64,5	84,5	55,0
	Mo	0,167±0,007	0,062± 0,004	0,146±0,015	56,1	82,3	33,9
Ca CO ₃	-	0,139±0,010	0,040±0,007	0,110± 0,01	0	0	0
	B	0,144±0,010	0,055±0,005	0,123±0,007	3,6	37,5	11,2
	Mn	0,167±0,010	0,057±0,002	0,106±0,009	20,1	43,5	-3,7
	Co	0,133±0,006	0,060±0,006	0,108±0,010	-4,3	50,0	-1,8
	Mo	0,118±0,006	0,039±0,006	0,138±0,008	-15,1	0	25,5

Таблица 7

Влияние микроэлементов на содержание суммы
алкалоидов в абсолютно сухих органах растения
дурмана

Фон	Микро-элемент	Содержание алкалоидов в мг на одно растение			Повышение содержания алкалоидов в %		
		Листья	Стебли	Корни	Листья	Стебли	Корни
Без известни	-	12,75 ± 1,35	3,68 ± 0,26	4,06 ± 0,77	0	0	0
	B	28,29 ± 2,94	15,76 ± 2,II	8,08 ± 1,37	121,9	328,2	99,0
	Mn	24,07 ± 2,07	10,81 ± 2,02	6,56 ± 0,86	88,8	193,8	61,6
	Co	25,06 ± 2,40	9,14 ± I,I7	9,35 ± I,II	96,5	148,4	130,3
	Mo	26,52 ± 2,82	9,38 ± I,37	9,14 ± I,56	108,0	154,9	125,I
Ca CO ₃	-	18,80 ± 2,0I	5,30 ± 0,5I	5,80 ± 0,94	0	0	0
	B	19,25 ± 2,33	6,98 ± 0,87	6,75 ± I,II	2,4	31,7	II,6
	Mn	23,45 ± 2,32	7,72 ± 0,76	6,06 ± 0,78	24,7	45,7	4,5
	Co	19,04 ± 2,13	8,38 ± 0,57	6,08 ± 0,89	I,3	58,I	4,8
	Mo	17,26 ± 2,10	5,7I ± 0,47	7,47 ± I,09	- 8,2	7,7	28,8

алкалоидов во всех органах дурмана, за исключением корней.

На фоне извести марганец также сильно повышает содержание алкалоидов за исключением корней. Содержание скополамина не повышалось.

Кобальт. На фоне без извести Со сильно повышает содержание алкалоидов во всех органах дурмана. Содержание скополамина повышается меньше, чем содержание гиосциамина, особенно в стеблях, где повышение содержания алкалоида не является доказанным.

На фоне извести содержание алкалоидов повышалось под влиянием кобальта только в стеблях, а в листьях и корнях повышение содержания алкалоидов не наблюдалось.

Содержание скополамина во всех органах не повышалось, а даже несколько снизилось.

Молибден. На фоне без извести Mo повышает содержание алкалоидов во всех органах дурмана аналогично В, Mp и Со.

На фоне извести не наблюдалось повышения содержания алкалоидов, кроме корней, где содержание гиосциамина повышалось. Содержание скополамина даже снизилось под влиянием молибдена во всех органах.

Влияние микрэлементов на содержание алкалоидов в мг на одно растение видно из данных, приведенных в таблице 7.

Из таблицы вытекает, что на фоне без извести микрэлементы В, Mp, Со и Mo повышают содержание алкалоидов в мг во всех органах дурмана. На фоне извести содержание алкалоидов в мг на одно растение под влиянием бора повышается в стеблях, в листьях повышение содержания алкалоидов находится в пределах неточности опыта и определения содержания алкалоидов. Под влиянием марганца повышение содержания алкалоидов наблюдается в листьях и стеблях, в корнях содержание алкалоидов не повышается.

Кобальт на фоне извести повышает содержание алкалоидов только в стеблях.

Б листьях и корнях повышение содержания алкалоидов не доказано.

Под влиянием молибдена содержание алкалоидов в листьях и стеблях не изменяется и повышается в корнях.

Обсуждение результатов.

Полученные результаты о действии микроэлементов бора, марганца, кобальта и молибдена на дурман обыкновенный говорят о важном значении этих микроэлементов для нормального развития этого растения.

На фоне известия действие названных микроэлементов значительно уменьшается.

Это явление можно объяснить уменьшением доступности этих микроэлементов под влиянием углекислого кальция, что доказано некоторыми авторами (7,8,9,10) в опытах с сельскохозяйственными растениями.

Чем можно объяснить отставание в росте дурмана на фоне без известия в фазе созревания плодов? По-видимому в этой фазе начинает уже сказываться недостаток кальция на неизвесткованной почве.

Выводы

1. Микроэлементы бор, марганец, кобальт и молибден повышают всхожесть семян дурмана.
2. Микроэлементы бор, марганец, кобальт и молибден ускоряют динамику роста дурмана.
3. Известь уменьшает действие бора, марганца, кобальта и молибдена на динамику роста дурмана.
4. Микроэлементы бор, марганец, кобальт и молибден повышают урожай всех органов дурмана.
5. Известь уменьшает влияние микроэлементов бора, марганца, кобальта и молибдена на урожай дурмана.
6. Микроэлементы бор, марганец, кобальт и молибден повышают процентное содержание алкалоидов в дурмане.

7. Известь уменьшает действие микроэлементов бора, марганца, кобальта и молибдена на образование алкалоидов в дурмане.

Литература

1. Michna, M., Szwadiak, J. Wpływ nawożenia borem i dwiema formami nawozów azotowych na plon i zawartość morfiny w makówkach maku odmiany Niesiecki K.M. - "Biul. Inst. rosl. leczn.", 1964, 10, Nr. 2-3, 138-145.
2. Mokranjac, M., Birmančevic, M. Delovanje bora na razvoj maka. - Acta Pharmac. Jugosl., 1964, 14, Nr. 3-4, 73-84.
3. Букзееев Н. Применение микроэлемента меди в культуре мака.- "С.х. Киргизии", 1958, № 5, 37-39.
4. Jindra, A., Syrový, I., Böswart, J., Jiráćek, V., Majerová, A. Über den Einfluss von Arginaseaktivatoren auf die Alkaloidbiosynthese in Datura stramonium L. - "Abhandl. Deutsch. Akad. Wiss. Berlin. Kl. Chem., Geol. und Biol.", 1956, Nr. 7, 106-109.
5. Thies, H., Reuther, P.W. Ein Reagens zum Nachweis von Alkaloiden auf Papierchromatogrammen. - "Naturwissenschaften", 1954, 41, Nr. 10, 230-231.
6. Кийс В.И., Реэбен В.А. и Яагосилд А.Д. Денситометр с двухцветным точечным сканирующим лучом.-"Биохимия", № 29, вып.6, 1964, 1029-1034.

7. Кедров-Зихман О.К. Основные вопросы известкования почв СССР. - "Докл.УІ Международному конгрессу почвоведов. 4-я комиссия. Плодородие почв. АН.СССР", М., 1956, 89-96.
8. Агафонова А.Ф. Влияние бора при известковании почвы на химический состав растений."Тр.Всес.н.-и.ин-та удобр., агротехн. и агропочвовед!", 1955, вып.31, 331-347.
9. Borlan, Z., Militescu, L. Mobilitatea elementelor nutritive in solurile calcarizate. - "An. Inst. centr. cercetari agric.", 1964 (1966), B 32, 9-30.
10. Mitchell, R.L. The trace element content of plants. - "Research", 1957, 10, No. 9, 357-362.

MIKROELEMENTIDE MÖJUOKTOKASÖUNA DATURA STRAMONIUM L.
KASVUDÜNAAMIKALE, SAAGILE JA ALKALOIDIDESISALDUSELE
SEOSES HAPPELISE MULLA LUPJAMISEGA

I. Tammari

R e s ü m e e

Lupjamata keskmiselt happelisele ($\text{pH}_{\text{KCl}} = 4,50$) ja lubjatud mulla rajatud nõukatsed hariliku okasöünaga näitasid, et mikroelementid boor, mangaan, koobalt ja molüdeen suurendavad seemnete idanevust, kiirendavad kasvu ja tõstavad saaki ning alkaloididesisaldust, kui muld sisaldb okasöunale optimaalsel hulgjal kaltsiumi. Seemnete idanevus, kasv ja saak surenesid kõige enam molüdeeni, alkaloididesisaldus aga boori mõjul.

Happelise mulla lupjamine annuses 100 % müdrolüütilise happesuse järgi vähendab nimetatud mikroelementide mõju okasöunale, kusjuures mõju kasvule ei ole märgatav, lehtede saaki tõstis vaid mangaan, varte ja juurte saaki molüdeen ning viljade saaki koobalt. Mulla lupjamine vähendas mikroelementide mõju alkaloididesisaldusele, välja arvatud mangaan.

О ВЛИЯНИИ МИКРОЭЛЕМЕНТОВ НА ДИНАМИКУ РОСТА, УРОДА
И СОДЕРЖАНИЕ АЛКАЛОИДОВ В ЛИСТЬЯХ ДУРМАНА ОБЫКНО-
ВЕННОГО Datura stramonium L. ПРИ НЕДОСТАТКЕ КАЛЬЦИЯ
В ПОЧВЕ

И. Таммару

Кальций является элементом, необходимым для растений как питательный элемент и как элемент, влияющий на ряд почвы. Кроме того, кальций оказывает значительное влияние на усвоемость других элементов, в том числе и микроэлементов (1,2).

Поскольку в литературе нет данных о влиянии микроэлементов на дурман при недостатке кальция в почве, мы поставили перед собой задачу выяснить действие микроэлементов бора, марганца, кобальта и молибдена на дурман обыкновенный при недостатке кальция в почве.

С этой целью в 1968 г. при кафедре фармации Тартуского государственного университета был заложен вегетационный опыт.

Методика

Опыт был заложен на фоне кислой неизвесткованной почвы и известкованной почвы, уже использованных для выращивания дурмана в опыте 1967 г. (см. предыдущую статью).
 pH_{KCl} почвы - 4,45, гидролитическая кислотность - 5,32 мг эквивалентов на 100 г почвы. Вегетационные сосуды вместили 8,8 кг абсолютно сухой почвы. Повторность 4-5-кратная. Фоном во всех сосудах был НPK. В качестве азотного удобрения вносили NH_4NO_3 в дозе 75 мг N на 1 кг почвы, в качестве фосфорного удобрения $Ca(H_2PO_4)_2 \cdot H_2O$ в дозе 75 мг P_2O_5 на 1 кг почвы и в качестве калийного удобрений KCI в дозе 75 мг K_2O на 1 кг почвы.

Микроэлементы и известь дополнительно не вносились. Остальные условия опыта и производства анализа аналогичны опыту 1967 года (см. предыдущую статью).

Результаты опыта

В таблице I приведены данные о влиянии микроэлементов на динамику роста дурмана. Из данных следует, что на фоне без извести влияние микроэлементов начинается уже с фазы бутонизации. Бор не влияет на рост дурмана, но марганец, кобальт и молибден заметно ускоряют рост растений. На фоне извести, наоборот, только бор положительно действует на рост растений, а остальные микроэлементы не дают эффекта.

Таблица I
Влияние микроэлементов на динамику роста
дурмана в опыте 1968 года

Фон	Микро-элемент	Произведение средней высоты растений на диаметр см х см + + ε 0,95			
		фаза	бутонизация	цветения	образование плодов
Без извести	-	216±14	956±22	3048±127	4134±176
	B	228±67	1103±110	2898±133	4285±249
	Mn	273±21	1403±79	3602±226	5007±332
	Co	273±31	1297±127	3467±223	4815±242
	Mo	264±36	1333±100	3502±273	4870±265
<chem>CaCO3</chem>	-	432±45	1841±83	4392±90	6019±217
	B	480±18	2271±150	4657±203	6408±213
	Mn	432±45	1852±69	4282±160	6371±262
	Co	420±27	1917±51	4248±168	6096±323
	Mo	405±52	1943±160	4297±62	6083±301

В отличие от результатов опыта в 1967 году все растения на фоне извести имеют большой рост по сравнению с растениями на фоне без извести.

В таблице 2 приведены данные о влиянии микроэлементов на урожай дурмана, из которых вытекает, что на фоне без извести бор понижает урожай листьев и плодов, молибден повышает урожай листьев и корней, кобальт повышает урожай листьев, а марганец не влияет на урожай дурмана.

На фоне извести бор и молибден повышают урожай плодов, кобальт повышает урожай листьев, а марганец, аналогично фону без извести, не дает эффекта.

В таблице 3 приведены данные о влиянии микроэлементов на содержание в листьях гиосциамина, скополамина и их суммы. Действие отдельных микроэлементов можно охарактеризовать следующим образом.

Бор не оказывает заметного влияния на содержание алкалоидов.

Марганец не влияет на содержание алкалоидов на фоне без извести. На фоне извести марганец заметно повышает содержание гиосциамина и суммы алкалоидов.

Кобальт не имеет заметного влияния.

Молибден понижает содержание алкалоидов в листьях на обоих фонах, особенно на фоне без извести.

В таблице 4 приведены данные о влиянии микроэлементов на содержание суммы алкалоидов в листьях дурмана в мг на одно растение. Из данных следует, что на фоне без извести содержание алкалоидов на одно растение не изменяется под влиянием микроэлементов. Понижающий эффект бора является недостоверным.

На фоне извести содержание алкалоидов в мг на одно растение повышается только под влиянием марганца, а остальные микроэлементы не эффективны.

Таблица 2

Влияние микроэлементов на урожай "урмана в
опыте 1968 года

Фон	Микро- эле- мент	Абсолютно сухой вес в г на одно растение $\bar{x} \pm s_{\bar{x}}$, 0,95				Повышение урожая в %			
		листья	стебли	корни	плоды*	листья	стебли	корни	плоды
Без известия	-	10,33 \pm 0,80	10,42 \pm 0,94	4,04 \pm 0,43	67,7 \pm 3,7	0	0	0	0
	B	8,96 \pm 0,67	10,65 \pm 1,14	3,79 \pm 0,30	58,0 \pm 2,5	-13,3	2,2	-6,2	-14,3
	Mn	10,51 \pm 1,35	11,29 \pm 0,92	4,09 \pm 0,43	66,4 \pm 4,4	1,7	8,4	1,2	-1,9
	Co	11,91 \pm 1,11	11,53 \pm 1,08	4,04 \pm 0,42	62,5 \pm 2,8	15,3	10,7	0	-7,7
	Mo	13,54 \pm 0,97	11,51 \pm 1,03	4,76 \pm 0,24	61,4 \pm 3,0	31,0	10,5	17,8	-9,3
CaCO_3	-	14,86 \pm 0,76	16,75 \pm 1,00	5,10 \pm 0,20	113,7 \pm 9,4	0	0	0	0
	B	15,63 \pm 1,05	18,31 \pm 1,97	5,03 \pm 0,38	132,2 \pm 5,7	5,2	9,3	-1,4	16,3
	Mn	15,90 \pm 0,86	17,54 \pm 0,58	5,17 \pm 0,48	120,6 \pm 5,1	7,0	4,7	1,4	6,1
	Co	17,23 \pm 0,67	18,91 \pm 1,32	5,50 \pm 0,49	124,2 \pm 3,8	16,0	12,9	7,8	9,2
	Mo	16,19 \pm 0,80	18,22 \pm 1,36	5,20 \pm 0,34	134,3 \pm 5,3	9,0	8,8	2,0	18,1

* Сырой вес.

Таблица 3

Влияние микроэлементов на содержание алкалоидов
в листьях дурмана в опыте 1968 года

№	Микро- эле- менты	Содержание алкалоидов на абсолютно сухой вес в % $\bar{x} \pm \varepsilon$ 0,95			Повышение содержания алкалоидов в %		
		гиосциамин	скополамин	Сумма алкалоидов	гиосци- амин	скопо- ламин	сумма алка- лоидов
Без извести	I	0,373 \pm 0,019	0,025 \pm 0,003	0,400 \pm 0,020	0	0	0
	B	0,379 \pm 0,035	0,029 \pm 0,008	0,408 \pm 0,036	1,1	16,0	2,0
	Mn	0,387 \pm 0,019	0,025 \pm 0,001	0,412 \pm 0,019	3,2	0	3,0
	Co	0,356 \pm 0,029	0,022 \pm 0,005	0,378 \pm 0,029	-5,1	-12,0	-5,5
	Mo	0,290 \pm 0,005	0,020 \pm 0,001	0,310 \pm 0,005	-22,7	-20,0	-22,5
<chem>CaCO3</chem>	-	0,303 \pm 0,029	0,031 \pm 0,005	0,334 \pm 0,029	0	0	0
	B	0,294 \pm 0,019	0,028 \pm 0,005	0,322 \pm 0,020	-3,0	-3,0	-3,6
	Mn	0,366 \pm 0,031	0,034 \pm 0,008	0,400 \pm 0,034	20,8	9,7	19,8
	Co	0,270 \pm 0,020	0,033 \pm 0,003	0,303 \pm 0,020	10,9	6,5	-9,3
	Mo	0,269 \pm 0,022	0,023 \pm 0,005	0,292 \pm 0,022	-11,2	-25,8	-12,6

Таблица 4

Влияние микроэлементов на содержание суммы
алкалоидов в абсолютно сухих листьях дурмана в
опыте 1968 года

Ф о н	Микро-элемен-ты	Содержание алкалоидов в мг на одно рас-тение $\bar{x} \pm \varepsilon$ 0,95	Повышение со-держания алкалоидов в %
без известки	-	41,3 \pm 5,3	0
	В	36,6 \pm 6,0	-11,4
	Mn	43,3 \pm 7,5	4,8
	Co	45,0 \pm 7,7	9,0
	Mo	42,0 \pm 3,7	1,7
CaCO_3	-	49,6 \pm 6,9	0
	В	50,3 \pm 6,5	1,4
	Mn	63,6 \pm 8,8	28,4
	Co	52,2 \pm 5,5	5,2
	Mo	47,3 \pm 5,9	-4,7

Обсуждение результатов

Приведенные данные подтверждают существенную зависимость действия микроэлементов от содержания кальция в почве, как и в опыте 1967 года (см. предыдущую статью). Но при сравнении результатов 1967 года с результатами 1968 года выясняются значительные различия. До фазы образования плодов в опыте 1967 года растения на известкованной почве имели при всех вариантах более мощный рост, чем растения на известкованной почве, а в опыте 1968 года - наоборот.

Такое явление, по-видимому, объясняется следующими причинами. Кислая почва в опыте 1967 года содержала определенное количество извести, достаточное для развития дурмана в начальных фазах (до образования плодов). Это количество является достаточным, чтобы, с одной стороны, защищать растения от вредного действия больших доз микроэлементов (микроэлементы вносились в относительно больших дозах) и, с другой стороны, развивать положительное действие микроэлементов. Известь прибавлялась в 100% норме. Это количество следует считать также слишком большим. Наши опыты показали, что наилучшим образом дурман развивается на кислых почвах, известкованных в норме 25% гидролитической кислотности. Большие дозы кальция задерживают развитие дурмана, а также уменьшают доступность микроэлементов. При развитии дурмана используется много кальция, вследствие чего почва без извести уже в конце вегетационного периода 1967 года оказалась бедной по содержанию кальция, а известкованная почва оптимальной по содержанию кальция.

На бедной по содержанию кальция почве в опыте 1968 года развивался токсический эффект микроэлементов, особенно при удобрении бором. Растения, удобренные бором, имели меньший рост и урожай всех органов был ниже, чем у контрольных растений.

Очень характерным было явление желтых пятен на молодых листьях дурмана у растений всех вариантов на фоне без извести в опыте 1968 года. На фоне извести такое явление не наблюдалось, и растения имели нормальный внешний вид, как и в опыте 1967 года. Результаты обоих опытов не различались и по динамике роста (за исключением растений, удобренных бором в опыте 1968 года, которые развивались несколько лучше контрольных растений) и по урожаю дурмана.

Более высокий уровень содержания алкалоидов в процентах в листьях в опыте 1968 года объясняется лучшими метеорологическими условиями этого года.

Отсутствие эффекта повышения содержания алкалоидов в

процентах в листьях дурмана под влиянием микроэлементов на фоне без извести в опыте 1968 года можно объяснить их токсическим действием при недостатке кальция.

На фоне извести действие микроэлементов на содержание алкалоидов в листьях в % и мг на одно растение почти одинаковое в обоих опытах. В обоих опытах содержание гиосциамина в % и содержание суммы алкалоидов в мг на одно растение повышались только под влиянием марганца, а содержание скополамина не повышалось под влиянием ни одного микроэлемента. Молибден поникал содержание как гиосциамина, так и скополамина в обоих опытах.

Выводы

1. Действие микроэлементов бора, марганца, кобальта и молибдена на дурман сильно зависит от содержания кальция в почве.

2. При недостатке кальция в почве бор может действовать токсически и замедлить рост и уменьшить урожай дурмана, под влиянием марганца урожай дурмана может не повышаться, а содержание алкалоидов в % в листьях может не повышаться под влиянием микроэлементов.

Литература

1. Hallik, O. Agrokeemia. Tln., ERK, 1963.
2. Прянишников Д.Н. Агрохимия. М., 1940.

MIKROELEMENTIDE MÖJUOKS OKASÖUNA Datura stramonium L.
KASVUDÜNAAMIKALE, SAAGILE JA LEHTEDE ALKALOIDIDE-
SISALDUSELE KALTSIUMIVÄRSES MULLAS

I. Tammari

R e s u l t

Mõukatsed, kus okasöuna *Datura stramonium* L. kasvatati teist aastat järjest lupjamatult hoppelisel ja lubjatud mullal, näitasid, et mikroelementide boori, mangaani, koobalti ja molübdeeni mõju okasöunale sõltub tugevasti mulla kaltsiumisisaldusest.

Kaltsiumipnudusel võivad mikroelemendid mõjudada okasöunale toksiliselt. Boori mõjul aeglustub kasv ja väheneb saak, kuna koobalti ja molübdeeni mõju kasvule ja saagile on palju väiksem kui optimaalse kaltsiumisisaldusega mulla puhul. Mangaani mõjul kiirenes küll kasv, kuid saak ei tõsnud. Lubjatud hoppelisel mullal puudus mikroelementide mõju okasöuna kasvule ja saagile analoogiliselt eelmise aastaga.

Okasöuna kultiveerimisel vähese kaltsiumisisaldusega mullal ei muutunud lehtede alkaloididesisaldus mikroelementide boori, mangaani ja koobalti mõjul, kuid langes märgatavalt molübdeeni mõjul. Mikroelementide mõju lehtede alkaloididesisaldusele lubjatud mullal oli analoogiline mõjuga eelmisel kultiveerimise aastal.

О ВЛИЯНИИ ИЗВЕСТКОВАНИЯ НА ДИНАМИКУ РОСТА, УРОДА
И СОДЕРЖАНИЕ АЛКАЛОИДОВ В ДУРМАНЕ ОБЫКНОВЕННОМ
DATURA STRAMONIUM L. НА ФОНЕ РАЗНЫХ ФОРМ АЗОТА

И. Таммари

В азотном питании растений форма азота имеет важное значение.

Из опытов с сельскохозяйственными растениями известно, что действие нитратного и аммиачного азота зависит от кислотности почвы (1,2,3).

На кислой почве нитратная форма азота действует обычно лучше аммиачного азота, но на известкованной почве хорошие результаты дает также и аммиачная форма азота.

О действии известкования на дурман на фоне разных форм азота в литературе пока нет данных.

С целью изучения влияния известкования на дурман обыкновенный в 1966 г. на кафедре фармации ТГУ был заложен вегетационный опыт с дурманом обыкновенным.

Методика

Опыт был заложен на среднеподзолистом суглинике, pH солевой вытяжки которого был 4,75, гидролитическая кислотность 3,90 мг - экв.на I кг почвы, степень насыщенности почвы основаниями - 61,2%.

Вегетационные сосуды вместили 9,28 кг абсолютно сухой почвы.

Повторность 13- и 12-кратная.

Фоном в опыте был НРК. В качестве нитратного азота вносился $\text{Ca}(\text{NO}_3)_2 \cdot 4 \text{H}_2\text{O}$, а в качестве аммиачного азота $(\text{NH}_4)_2\text{SO}_4$ в дозе 70 мг N на I кг почвы.

В качестве фосфорного и калийного удобрения вносились K_2HPO_4 и KCl из расчета 70 мг P_2O_5 и 70 мг K_2O на I кг почвы.

В фазе образования плодов дополнительно вносился азот в дозе 70 мг Н на 1 кг почвы.

Все удобрения вносились в виде растворов.

Поскольку в сосуды с нитратом кальция вносился и кальций, то и в сосуды с сернокислым аммонием вносился кальций в эквивалентном количестве в форме сульфата кальция.

В качестве извести вносился химически чистый карбонат кальция в дозах 25, 33,3 и 50% от полной дозы по гидролитической кислотности почвы (Н).

Минеральные удобрения и известь перемешивались со всей почвой при набивке сосудов.

В каждый сосуд высевали по 100 семян дурмана обыкновенного. Всходы появились на 20 день посева. После окончательного прореживания в каждом сосуде оставили по одному растению.

Поливку растений производили дождевой водой до 60% максимальной влагоемкости почвы.

Для исследования влияния известкования на динамику роста дурмана при разных формах азота производились измерения высоты и диаметра растений с промежутками в 10 дней.

Чтобы лучше выявить малейшие изменения в росте растений, результаты измерений излагаются в виде произведения высоты растений на их диаметр (в см x см).

Содержание алкалоидов определялось при помощи метода электрофореза на бумаге. (О методике определения см. статью автора "О влиянии микроэлементов на динамику роста, урожай и содержание алкалоидов в дурмане обыкновенном *Datura stramonium* L. в связи с известкованием кислой почвы").

Точность метода определений $\pm 2\%$.

Результаты опытов

Влияние известкования на динамику роста дурмана изложено в таблице I. Как вытекает из таблицы, в фазе бутонизации растения на неизвесткованной почве имеют несколько более крупные размеры, чем растения на известкованной почве. Это явление

Таблица I

Влияние известкования на динамику роста
дурмана на фоне разных форм азота

Н С Ф	Доза извест- кования г/м ²	Произведение средней высоты растений на диаметр см х см $\bar{x} \pm \varepsilon$ 0,95			
		Фаза			
		бутониза- ции	цветения	образова- ния плодов	созревания плодов
NO ₃ ⁻	-	360 \pm 37	2107 \pm 108	4260 \pm 95	4941 \pm 126
	25	288 \pm 21	1920 \pm 93	4500 \pm 97	5670 \pm 167
	33,3	272 \pm 19	1872 \pm 118	4440 \pm 147	5670 \pm 155
	50	256 \pm 8	1739 \pm 114	4275 \pm 130	5670 \pm 167
NH ₄ ⁺	-	323 \pm 19	1927 \pm 106	4130 \pm 120	4697 \pm 167
	25	270 \pm 21	1833 \pm 91	4176 \pm 126	5124 \pm 135
	33,3	240 \pm 21	1813 \pm 143	4176 \pm 118	5280 \pm 183
	50	240 \pm 19	1680 \pm 147	3816 \pm 70	5073 \pm 163

наблюдается на фоне обеих форм азота, причем, чем выше доза, тем меньше рост растений. На фоне нитратного азота растения бывают чуть большего роста, чем на фоне аммиачного азота.

В фазе цветения разница в росте растений между разной формой азота увеличивается, и растения на фоне нитратного азота заметно крупнее, чем на фоне аммиачного азота. На обоих фонах растения на неизвесткованной почве имеют больший рост, чем на известкованной почве. Рост растений тем меньше, чем выше доза извести.

На фоне образования плодов картина изменяется. Растения на неизвесткованной почве отстают в росте по сравнению с ростом растений на известкованной почве. Этот эффект особенно заметен на фоне нитратного азота, причем наивысший рост имеют растения в сосудах с дозой извести 25% от полной дозы по гидролитической кислотности почвы (Н).

На фоне аммиачного азота названный эффект выражается в выравнивании роста растений на неизвесткованной и известкованной почве. Только растения с дозой извести 50% Н бывают меньше контрольных.

В фазе созревания плодов разница в росте растений на неизвесткованной и известкованной почве увеличивается на обоих фонах азота.

В общем растения на фоне аммиачной формы азота меньшего роста, чем растения на фоне нитратного азота.

Влияние известкования на урожай дурмана выясняется из данных, приведенных в таблице 2. Из приведенных данных вытекает, что на фоне нитратного азота известь незначительно повышает урожай дурмана. Наибольшее повышение урожая всех органов дурмана наблюдается при дозе извести 25% Н. Повышение урожая стеблей и корней на фоне NO_3^- - не доказано.

На фоне аммиачного азота абсолютный вес урожая органов дурмана значительно меньше, чем на фоне нитратного азота, но известкование дает больший относительный эффект. Известь в дозе 25% Н больше всего повышает урожай листьев и стеблей, а доза 50% Н - урожай плодов.

Таблица 2

Влияние известкования на урожай дурмана на фоне
разных форм азота

н о р	Доза извес- ти в % N	Абсолютно сухой вес в г на одно растение $\bar{x} \pm \epsilon 0,95$				Повышение урожая в %			
		Листья	Стебли	Корни	Плоды *	Ли- стья	Стеб- ли	Корни	Плоды
NO ₃	-	15,3 ± 0,4	17,6 ± 0,8	5,76 ± 0,29	127,6 ± 5,6	0	0	0	0
	25	16,3 ± 0,5	19,8 ± 0,6	6,40 ± 0,39	134,8 ± 2,8	6,5	12,5	II,I	5,6
	33,3	16,1 ± 0,6	19,6 ± 0,7	6,45 ± 0,42	133,2 ± 5,0	5,0	II,2	I2,0	4,4
	50	16,0 ± 0,5	18,7 ± 0,9	6,12 ± 0,38	129,9 ± 4,9	4,5	6,3	6,I	I,8
NH ₄ ⁺	-	10,0 ± 0,6	12,3 ± 0,7	3,59 ± 0,33	81,6 ± 5,8	0	0	0	0
	25	11,9 ± 0,6	15,1 ± 0,6	5,04 ± 0,39	109,8 ± 5,5	19,0	22,7	40,3	34,6
	33,3	10,9 ± 0,6	15,0 ± 0,6	4,78 ± 0,35	116,3 ± 3,8	9,0	22,0	33,0	42,5
	50	11,3 ± 0,6	14,3 ± 0,5	4,97 ± 0,29	123,3 ± 4,0	13,0	16,2	38,3	51,I

* Сырой вес.

Данные, касающиеся влияния известкования на образование алкалоидов в дурмане, приведены в таблицах 3,4,5 и 6.

Доказано повышение содержания алкалоидов больше 10%.

Из приведенных данных следует, что известь повышает содержание алкалоидов в % в органах дурмана как на фоне нитратного, так и на фоне аммиачного азота.

На обоих фонах наибольшее повышение содержания алкалоидов дает известь в дозе 25% Н, а в корнях на аммиачном фоне азота доза извести 50% Н. Как правило, с повышением дозы извести содержание алкалоидов в % падает, за исключением корней на аммиачном фоне азота, где наблюдается обратная картина.

В общем содержание алкалоидов в % в органах дурмана на фоне нитратного азота выше, чем на фоне аммиачного азота.

Содержание суммы алкалоидов в мг на одно растение также повышается под влиянием известкования на обоих фонах (см.табл.6). Максимальное повышение содержания алкалоидов дает доза извести 25% Н на обоих фонах, за исключением корней на аммиачном фоне азота, где наилучший эффект дает доза извести 50% Н.

Как и при содержании алкалоидов в %, с повышением дозы извести выше оптимального, содержание алкалоидов в органах дурмана в мг на одно растение понижается, кроме корней на аммиачной форме азота, где содержание алкалоидов с повышением дозы извести растет.

Обсуждение результатов

Полученные данные о влиянии извести на дурман обыкновенный на фоне нитратного и аммиачного азота показывают важное значение извести для развития растения и образования алкалоидов в дурмане.

На основе вышеизложенного можно сделать заключение, что нитратный азот по сравнению с аммиачным азотом значительно эффективнее влияет на рост дурмана и на образование алкалоидов.

Таблица 3

Влияние известкования на содержание суммы алкалоидов
в дурмане на фоне разных форм азота

Н о Ф	Доза извести в % Н	Содержание суммы алкалоидов на абсолютно сухой вес в % $\bar{x} \pm 0,95$			Повышение содержания суммы алкалоидов в %		
		Листья	Стебли	Корни	Листья	Стебли	Корни
NO_3^-	-	0,198 \pm 0,009	0,046 \pm 0,002	0,120 \pm 0,005	0	0	0
	25	0,248 \pm 0,010	0,063 \pm 0,003	0,134 \pm 0,006	25,2	37,4	II,7
	33,3	0,226 \pm 0,009	0,055 \pm 0,003	0,130 \pm 0,006	14,I	21,I	8,3
	50	0,217 \pm 0,009	0,048 \pm 0,004	0,107 \pm 0,005	9,6	4,4	-10,8
NH_4^+	-	0,104 \pm 0,007	0,039 \pm 0,002	0,072 \pm 0,004	0	0	0
	25	0,132 \pm 0,006	0,049 \pm 0,003	0,0790 \pm 0,005	26,9	25,5	9,2
	33,3	0,123 \pm 0,007	0,035 \pm 0,007	0,079 \pm 0,006	18,3	-9,2	9,7
	50	0,103 \pm 0,005	0,027 \pm 0,002	0,098 \pm 0,005	-1,0	-30,8	35,8

Таблица 4

Влияние известкования на содержание гиосциамина
в дурмане на фоне разных форм азота

н о р	Доза из- вести в % Н	Содержание гиосциамина на абсолютно сухой вес в % $\bar{x} \pm 0,95$			Повышение содержания гио- сциамина в %		
		Листья	Стебли	Корни	Листья	Стебли	Корни
NO_3^-	-	0,187 \pm 0,006	0,045 \pm 0,002	0,0910 \pm 0,004	0	0	0
	25	0,234 \pm 0,010	0,058 \pm 0,002	0,102 \pm 0,004	25,1	28,7	12,1
	33,3	0,214 \pm 0,009	0,050 \pm 0,002	0,101 \pm 0,003	14,4	11,8	11,0
	50	0,204 \pm 0,006	0,043 \pm 0,003	0,084 \pm 0,003	9,1	-5,6	-8,2
NH_4^+	-	0,082 \pm 0,003	0,034 \pm 0,002	0,061 \pm 0,003	0	0	0
	25	0,110 \pm 0,007	0,044 \pm 0,003	0,061 \pm 0,002	33,5	28,3	0,3
	33,3	0,104 \pm 0,006	0,031 \pm 0,003	0,058 \pm 0,003	27,9	-10,0	-4,1
	50	0,083 \pm 0,006	0,022 \pm 0,003	0,070 \pm 0,004	2,6	-35,4	14,9

Таблица 5

Влияние известкования на содержание скополамина
в дурмане на фоне разных форм азота

Но ^р	Доза извест- ка в % Н	Содержание скополамина на абсолютно сухой вес в %			Повышение содержания скополамина в %		
		Листья	Стебли	Корни	Листья	Стебли	Корни
№ ³	-	0,011 ± 0,0008	0,0047 ± 0,0004	0,029 ± 0,001	0	0	0
	25	0,014 ± 0,0008	0,0050 ± 0,0004	0,032 ± 0,001	27,2	6,4	12,5
	33,3	0,014 ± 0,0008	0,0048 ± 0,0006	0,029 ± 0,0011	18,4	2,1	6,3
	50	0,013 ± 0,0007	0,0047 ± 0,0005	0,024 ± 0,0013	13,1	0	-18,1
№ ⁴	-	0,018 ± 0,0007	0,0050 ± 0,0004	0,012 ± 0,0008	0	0	0
	25	0,023 ± 0,0008	0,0053 ± 0,0004	0,018 ± 0,0009	27,6	6,0	55,0
	33,3	0,019 ± 0,0009	0,0048 ± 0,0005	0,021 ± 0,0009	5,5	-4,0	80,5
	50	0,019 ± 0,0008	0,0050 ± 0,0004	0,024 ± 0,001	5,5	0	100

Таблица 6

Влияние известкования на содержание суммы алкалоидов в
абсолютно сухих органах растений дурмана на фоне разных
форм азота

Ф о н и о в % Н	Доза извес- ти в % Н	Содержание алкалоидов в мг на одно растение $\bar{x} \pm \delta 0,95$			Повышение содержания алка- лоидов в %		
		Листья	Стебли	Корни	Листья	Стебли	Корни
NO ₃ ⁻	-	30,29 \pm 1,57	8,00 \pm 0,50	6,91 \pm 0,45	0	0	0
	25	40,42 \pm 2,04	12,38 \pm 0,58	8,58 \pm 0,65	33,4	54,8	24,2
	33,3	36,39 \pm 1,98	10,80 \pm 0,71	6,39 \pm 0,67	20,1	35,0	21,4
	50	34,72 \pm 1,78	8,88 \pm 0,85	6,55 \pm 0,51	14,6	21,1	10,8
NH ₄ ⁺	-	10,40 \pm 0,94	4,78 \pm 0,37	2,60 \pm 0,22	0	0	0
	25	15,71 \pm 1,06	7,37 \pm 0,53	4,25 \pm 0,40	51,1	54,2	63,5
	33,3	13,41 \pm 1,06	5,30 \pm 0,36	3,79 \pm 0,42	28,9	10,9	45,8
	50	11,64 \pm 0,84	3,82 \pm 0,32	4,62 \pm 0,37	11,9	-20,0	77,6

дов в дурмане. Поэтому эффект от известкования на фоне нитратного азота относительно меньше, чем на фоне аммиачного азота.

Характерно, что растения дурмана на неизвесткованной почве в начальных фазах развития большего роста, чем на известкованной почве. Это явление наблюдается на обоих фонах азота, причем, чем выше доза извести, тем меньше рост растений. Только в фазе образования плодов рост растений на неизвесткованной почве отстает от роста растений на известкованной почве. Это явление, по-видимому, можно объяснить тем, что известь уменьшает доступность некоторых микрэлементов, влияющих на рост дурмана.

В фазе образования плодов, однако, начинает уже сказываться некоторый недостаток кальция в кислой неизвесткованной почве, поскольку органы дурмана содержат много кальция и удаляют его из почвы в значительном количестве.

В результате рост дурмана на кислой неизвесткованной почве замедляется.

Известь положительно действует на образование алкалоидов в дурмане на обоих фонах азота. Очень характерно, что доза извести 25% Н является оптимальной для образования алкалоидов в дурмане.

Только на фоне аммиачного азота содержание алкалоидов в корнях дурмана было наиболее высоким при дозе извести 50% Н.

Чем объяснить такое явление? Можно предположить, что при дозе извести 25% Н создаются оптимальные условия для биосинтеза алкалоидов в дурмане.

Выводы

I. Известкование кислой почвы не ускоряет динамику роста дурмана обычного до фазы образования плодов ни на фоне нитратного, ни на фоне аммиачного азота.

2. Растения дурмана на фоне нитратного азота имеют более интенсивный рост, чем на фоне аммиачного азота.
3. Известкование кислой почвы повышает урожай всех органов дурмана как на фоне нитратного, так и на фоне аммиачного азота.
4. Известь повышает урожай всех органов дурмана на фоне аммиачного азота больше, чем на фоне нитратного азота.
5. Наибольшее повышение урожая всех органов дурмана дает доза извести 25% Н на обоих фонах азота.
6. Наибольшее повышение содержания алкалоидов в % во всех органах дурмана, кроме корней на фоне аммиачного азота, дает известь в дозе 25% Н как на фоне нитратного, так и на фоне аммиачного азота. Для корней на фоне аммиачного азота наибольшее содержание алкалоидов дает доза в 50% Н. Содержание алкалоидов в % на фоне нитратного азота заметно больше, чем на фоне аммиачного азота.

Литература

1. Прянишников Д.Н. Агрохимия. М., 1940.
2. Hallik. O. Agrokeemia. Tln., ERK, 1963.
3. Gouny, P. Observations sur les particularités de l'alimentation ammoniacale en l'absence et en présence de calcaire. - "Ann. Inst. nat. rech. agron.", 1955, A6, № 4, 589 - 614.

LUPJAMIISE MÖJUST OKASÖUNA DATURA STRAMONIUM L.
KASVUDÜNAAMIKALE, SAAGILE JA ALKALOIDIDE-
SISALDUSELE ERINEVA LÄMMASTIKU FOONIL

I. Tammaru

R e s ü m e e

Nagu näitasid nõukatsed, soodustas happelise mulla ($\text{pH}_{\text{KCl}} = 4,75$) lupjamine puhta kaltsiumkarbonaadiga hariliku okasöuna kasvu ja tõstis saaki nitraatlämmastiku foonil rohkem kui ammoniumlämmastiku foonil. Lubja kasvusoodustav toime ilmnes NO_3^- -foonil alles viljade moodustumise, NH_4^+ -foonil aga viljade valmimise faasis. Parimat efekti avaldas lubja kogus 25 % mulla hüdrolütilise happesuse järgi (H), annus 50 % H aga mõjus kasvule pidurda vält juba alates õienupu-faasist ja tõstis saaki vähem.

Okasöuna alkaloididesisaldus töoris kõige enam lubja koguse 25 % H mõjul mõlema lämmastiku foonil, kusjuures alkaloididesisaldus oli NO_3^- -foonil märgatavalalt kõrgem kui NH_4^+ -foonil.

**PROLIINI KVANTITATIIVSEST PABERKROMATOGRAAFILISEST
MÄÄRAMISEST**

V. Koppel

Aminohapete määramisel biomaterjalis kasutatakse laialdaselt paberkromatograafilist meetodit. Aminohapete laikude nähtavakstegemiseks kromatogrammidel leiab kõige enam rakendamist nihüdriinreaktiiv. Võrreldes α -aminohapetega on nihüdriinreaktiiv α -iminohapete (proliini, hüdroksüproliini) suhtes vähem tundlik ning annab viimastega happelises keskkonnas kollase värvusega laigud, mitte punakas-violetsed nagu enamiku teiste aminohapetega. Kui kvantitatiivse sisalduse kolorimeetriliseks määramiseks on vaja kromatogrammist elueerida nihüdriinreaktiiviga ilmutatud aminohapete laigud, pole helekollase värvusega proliini eluaadid selleks sobivad. Paljude biokeemiliste analüüside, eriti taimematerjali uurimisel on sageli olulise tähtsusega proliini jt. α -iminohapete täpne kvantitatiivne määramine. Näiteks on kindlaks tehtud, et proliini tekib taimukedes rohkesti tolmukate arenemisel (1), veepuudusel pinnaases (2), et proliin võtab osa tropaanalkalooidide biosünteesist okasõnataimedest (4) jne.

Aminohapete samastamiseks paberkromatogrammidel kasutatakse ka reaktsiooni isatiiniga (5), mis annab erinevate aminohapetega enam diferentseeritud värvusi (3) kui nihüdriinreaktiivid. Isatiinreaktiiv on enamiku aminohapete suhtes vähem tundlik kui nihüdriinreaktiivid. Proliini ja teiste α -iminohapete suhtes on isatiinreaktiiv tundlikum nihüdriinreaktiividest, andes selgesti nähtava sinise

värvuse. Tekkinud värvainet fikseerivad eriti hästi tsel-luloosikiud, mistöttu värvus püsib paberkromatogrammidel pikemat aega peaaegu muutumatult. Tsinkatsetaadi ja äädik-happe manulus isatiinreaktiivil tõstab veelgi reaktsiooni tundlikkust proliini suhtes (6). Tekkinud sinine värvaine pole vees lahustuv, mistöttu on võimalik veega pesta kro-matogrammist isatiinreaktiivi liig. Proliini ja isatiini reageerimisel tekkinud sinist värvainet on võimalik kro-matogrammist elueerida kas püridiiniga või veega küllas-tatud fenooliga.

Sellel põhimõttel töötasid Hrabetova ja Tupy (7) väl-ja meetodi proliini kvantitatiivseks määramiseks isatiin-reaktiiviga ilmutatud paberkromatogrammidest. Seejuures elu-eeriti proliini laigud paberkromatogrammidest veega kül-lastatud fenooliga 15 minuti vältel ja eluaatide optiline tihedus määratati fotokolorimeetriliselt punase valgusfilt-riga $610 \text{ m } \mu$ juures. Kuna elueeritud värvaine valguse toi-mel võrdlemisi kiiresti laguneb, teostati elueerimine pi-medas. Autorite andmeil on meetodi täpsus $\pm 2,5\%$. Samuti tehti kindlaks, et eluaatide värvuse intensiivsus ei muu-tu oluliselt ühe tunni vältel, arvates elueerimise algusest (7).

Käesoleva töö ülesandeks oli võimaluste leidmine isatiinreaktiiviga ilmutatud proliini paberkromatogrammide eluaatide värvuse püsivamaks muutmiseks, kusjuures märki-misväärselt ei vähene elueerimise kiirus. See asjaolu on oluline, kui tuleb teha seeriaviisilisi katseid proliini määramiseks biomaterjalis ning 30 - 40-minutisest ajast ei jätku kõigi eluaatide kolorimeetriliseks määramiseks.

E k s p e r i m e n t a a l n e o s a

Kromatograafilisele paberile FN-15 ("Niedersclag") kanti stardipunktidesse uuritavat aminohappeid sisaldavat lahust ja võrdluslahust kogustes, mis vastasid 4 kuni 20 g proliinisalduusele. Seejärel voolutati paber läbi 3 kor-

da tõusval meetodil lehustisüsteemiga n-butanol-äädikhape-
vesi (4:1:5) - kokku 60 tundi. Pärast kuivatamist niisutati kromatogrammid isatiinreaktiiviga Barrollier' järgi
(6). (Koostis: 1 g isatiini, 1,5 g tsinkatsetaati ja 1 ml
jää-äädikhapet lehustada 5 ml vees soojendamisel +70° +80° C
juures. Lisada 95 ml isopropanooli). Seejärel soojendati kromatogramme veeauruga küllastatud termostaadis 30 min. +80°
+85° C temperatuuril. Pärast ilmutamist eemaldati isatiin-
reaktiivi liig pesemisel sooja (+30° C) veega, kuni saadi
valge või närgalt kollakas paberifoon. Pestud kromatogrammid
kuivatati algul toatemperatuuril ja lõplikult +60° +70°C
juures kuivatuskapis. Sinised proliinilaigud lõigati välja,
peenestati ja elueeriti pimedas kahel meetodil: 1) loksutamisel
15 minuti kestel 3 ml veega küllastatud fenooliga ja
2) loksutamisel 30 minuti kestel 3 ml veega küllastatud fe-
nooli ja püridiini seguga (vahekorras 0,6:1,4). Esimesel
meetodil saadud proliini eluaatide optiline tihedus määra-
ti fotoelektrokolorimeetriga FEK-M punase valgusfiltriga
nr. 4 (650 m μ) küvettides läbimõõduga 0,5 cm. Teisel mee-
todil saadud eluaatide optiline tihedus määratati samal ko-
lorimeetril samasugustes küvettides neutraalse (kollase)
valgusfiltriga nr. 1. Võrdluseluaadid tehti samade lahus-
titega samade kromatogrammide paberi värvumata aladest.
Eluaatide värvuste stabiilsuse kontrollimiseks tehti opti-
lise tiheduse määramised erinevate ajavahemike möödumisel.
Määramistulemused mõlema meetodi järgi on toodud tabelis.
(Vt. tabel lk.44.)

Katsed näitasid, et isatiinreaktiiviga ilmutatud pro-
liini paberkromatogrammide elueerimisel veega küllastatud
fenooli ja püridiini seguga (vahekorras 0,6:1,4) on eluaatide
värvus pimedas keskmiselt 2 korda püsivam kui elueerimisel
ainult veega küllastatud fenooliga. Kromatogrammid on
soovitav elueerida pimedas 30 minuti kestel, aeg-ajalt lok-
sutades, mis tagab värvaine täieliku elueerimise paberist.
Mainitud aja vältel eluaatide optiline tihedus praktiliselt
ei vähene. Optilise tiheduse vähenemist tuleb arvestada elu-

aadi seiamisel üle 1 tunni, kusjuures vähemaa prolinisisaldusega (alla 8 μg) eluaatides on optilise tiheduse alanemine kiirem kui suurema sisaldusega eluaatides.

Määramistulemuste alusel fenooli-püridiini seguga koostati graduateerimisgraafik, mis näitas, et optilise tiheduse lineaarne sõltuvus kehtib prolinisisalduse puhul kuni 12 μg paberkromatogrammidest.

Meetodi täpsus on $\pm 2\%$.

Isatiinreaktiiviga ilmutatud prolini paberkromatogrammide eluaatide optilise tiheduse määramise tulemused

Elueeri-mislahus	Pro-liini hulk μg	FEK näit. E	FEK näit. 1 tund pärast elueeri-mise lõ-petamist	Eluaadi optili-se ti-heduse vähene-mine %	FEK näit. 3 tundi pärast eluee-rimise lõpetamist	Eluaadi optilise tiheduse vähemine %
Fenool (veega küllastatud)	4	0,075	0,070	6,6	0,055	26,6
"	8	0,145	0,142	2,1	0,117	19,3
"	12	0,223	0,220	1,3	0,185	17,0
"	20	0,250	0,248	0,8	0,220	12,0
Fenool (veega küllastatud) + + püridiin (0,6:1,4)	4	0,077	0,075	2,6	0,067	13,1
"	8	0,154	0,152	1,3	0,140	9,1
"	12	0,230	0,230	0	0,215	6,5
"	20	0,300	0,300	0	0,285	5

J ä r e l d u s e d

1. Isatiinreaktiiviga ilmutatud proliini paberkromatogrammide elueerimisel veega küllastatud fenooli ja püriidiini seguga (vahekorras 0,6:1,4) on eluaatide värvus pimedas keskmiselt 2 korda püsivam kui elueerimisel veega küllastatud fenooliga Hrabetova ja Tupy (?) meetodil.

2. Kromatogrammide täieliku elueerimise tagamiseks on soovitav elueerida pimedas 30 minuti välitel, aeg-ajalt lokutades.

3. Optilise tiheduse vähenemine algab madala proliinisalidusega (alla 8 μ g) eluaatides pärast ühe tunni möödumist elueerimise lõpust.

4. Optilise tiheduse määramisel fenooli-püriidiini seguga eluaatides elektrofotokolorimeetriga FEK-M tuleb kasutada neutraalset (kollast) valgusfiltrit nr. 1.

K i r j a n d u s

1. Бритиков, Е.А., Мусатова, Н.А. Физиол. растений, т. I2, 464 (1964).
2. Савицкая, Н.Н. Физиол. растений, т. I4, вып. 4, с. 737-739, (1967).
3. Бояркин, А.А. Физиол. растений, т. 5, вып. I, с.86-87 (1958).
4. Sullivan, G.; Gibson, M.R. J. Pharmac. Sci., 53, 9, . 1058 - 1063 (1964).
5. Acher, R.; Fromageot, C.; Jutisz, M. Biochim. Biophysica Acta (Amsterdam), 5, 81 (1950).

6. Barrollier, J.; Heilman, J.; Watzke, E. Hoppe-Seyler's Z. physiol. Chem., 304, 21 (1956).
7. Hrabetova, E.; Tupy, J. J. Chromatogr. (Amsterdam), 3, 199 (1960).

О КОЛИЧЕСТВЕННОМ ОПРЕДЕЛЕНИИ ПРОЛИНА МЕТОДОМ ХРОМАТОГРАФИИ НА БУМАГЕ

В. Коппель

Резюме

Исследовалось количественное фотослектроколориметрическое определение пролина в элюатах бумажных хроматограмм, проявленных изатином.

Было установлено, что при элюции бумажных хроматограмм смесью из фенола и пиридина (0,6:1,4), насыщенное водой синее окрашивание элюатов в среднем 2 раза устойчивее, чем при элюции без примеси пиридина. Элюировать следует в темноте время от времени взбалтывая в течение 30 минут. Линейная зависимость оптической плотности элюатов имеется до содержания 12 микрограмм пролина в пятне хроматограммы. Точность метода $\pm 2\%$

MEETOD C¹⁴ RADIOAKTIIVSUSE MÄÄRAMISEKS PABERKROMATOGRAMMIDEL

V. Koppel, J. Elmelo

Radioaktiivset süsinikku kasutatakse laialdaselt mitmesuguste bioloogiliste protsesside uurimisel. Eriti palju rakendatakse süsiniku isotoopi C¹⁴ orgaaniliste ühendite biosünteesi käigu analüüsил organismides. Radioaktiivse süsinikuga märgistatud biosünteesi-produktide eraldamiseks on laialdast kasutamist leidnud paberkromatograafia. Viimase puhul tuleb aga arvestada isotooobi C¹⁴ beetakiirguse väikest energiat ($E_{max} = 0,155$ MeV), mistõttu suur osa β -osakestest neeldub kromatograafilises paberis. Näiteks moodustab C¹⁴ - β -osakeste absorptsioon paberis Whatman № 1 61,2% (3).

Märgistatud biosünteesi-produktide radioaktiivsuse määramist paberkromatogrammidel kasutatakse laialdaselt, alates selle meetodi väljatöötamisest 1948. a. (4) ja eriti seoses M. Calvini jt. uurimustega fotosünteesi alal (5).

Väikese energiaga β -kiirguste registreerimisel on värreldes Geiger-Mülleri loendajatega tundlikumad fotoelektron-kordistajad. Viimaseid kasutatakse nõrkade beeta- ja alfa-kiirguste registreerimiseks stsintillatsioonimeetoditel (1, 2, 6, 7). Seejuures niisutatakse kromatogrammid stsintillaatorilahustega või -geelidega ja kinnitatakse fotoelektron-kordistaja aknale. Sellise meetodi korral on C¹⁴ beetakiirguse registreerimise efektiivsus kuni 35% (1). Stsintillaatorilahustega või -geelidega käsitletud kromatogramme pole hiljem võimalik kasutada värvusega ühendite elueerimiseks kromatogrammilaikudest kvantitatiivse sisalduse määramiseks.

Kui on vaja säilitada kromatogramme edasiseks laikude elueerimiseks, tuleb piirduda nende radioaktiivsuse määramisega Geiger-Mülleri loendajatega. Otsmise aknaga Geiger-Mülleri loendajad (akna paksus 2 mg/cm^2) registreerivad paberkromatogrammidel keskmiselt umbes 4 % C^{14} koguaktiivsusest (sõltuvalt paberi paksusest) (8). Seejuures registreeritakse põhiliselt kromatogrammi paberi pinna läheduses oleva radioaktiivse süsiniku β -osakesed. On kindlaks tehtud, et paberkromatogrammide kuivatamisel liikumatus õhus koondub enamik radioaktiivse süsinikuga märgistatud ainest paberi pinnale, kusjuures kromatogrammi β -aktiivsuse määramisviga Geiger-Mülleri loendajaga moodustab ainult kuni 5 %. Kromatogrammi kuivatamisel liikuvas õhuvoolus on määramisviga kuni 25 % (9).

Süsiniku radioaktiivsuse registeerimise efektiivsust paberkromatogrammidel on võimalik tunduvalt tõsta, kui loendada kromatogrammi mõlemalt poolelt väljuvaid β -osakesi. Selleks on vaja mõõtmisseadeldist, milles saame asetada kromatogrammi kahe loendaja aknakeste vahale.

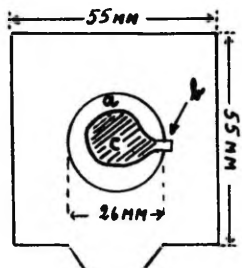
Mõõteriistad ja radioaktiivsuse määramismeetoodika

C^{14} radioaktiivsuse määramiseks paberkromatogrammidel kasutati väikese fooniga loendusseadeldist UMF-2 (valmistatud NSV Liidu Tervishoiuministeeriumi Biofüüsika Instituudi Eksperimentaaltöökojas 1963. a.). Seadeldis on varustatud antikointsidentsi skeemiga, otsmise aknakesega Geiger-Mülleri loendajaga SBT-13 ning foon ei ületa 5 impulsist minutis. Radioaktiivse süsiniku C^{14} etalonpreparaadi β -aktiivsuse määramise efektiivsus moodustas $12,4 \pm 1,5\%$.

Paberkromatogrammide radioaktiivsuse mõõtmiseks moniteeriti seadeldisele juurde veel teine loendaja SBT-13 nii, et mõlema loendaja A ja B aknad asusid vastastikku (akendevaheline kaugus 4 mm).

Katseteks kasutati radioaktiivse süsinikuga märgistatud okasöuna (*Datura stramonium* var. *stramon.* L) alkaloidide, mis eraldati taimematerjali kloroformekstraktist elektroforeesiga kromatograafilisel paberil M (Lenigradi Volodarski-nim. paberivabrik). Elektroforeogrammid kuivatati temperatuuril +40° C kuivatuskapis ning ilmutati Dragendorffi reaktsiiviga Traberti modifikatsioonil (10). Kuivanud elektroforegrammidelt lõigati välja alkaloidide atropiini (dl-hüöstüiamiini) ja skopolamiini laigud, jäettes iga laigu külge 2 - 3 mm pikkuse paberirippuse. Valmistati kartongist alus paksusega 0,5 mm, mille keskosas asus ümmargune ava diameetriga 26 mm. Elektroforerogrammilt lõigatud laigu külge jäetud ribakene kindlitati liimiga kartongist aluse ava kohale (vt. joon.). Nüüd asetati kromatogrammi laik koos kartongist alusega mõlema loendaja aknakeste vahelle ja registreeriti loendamise kiirus laigult. Saadud tulemusest lahutati fooni loendamise kiirus. Mõõtmisresultaatide võrdlemiseks elueriti pärast loendamiskiiruste määramist samad alkaloidide jood-vismutkompleksi laigud kromatograafilisest paperist 2 ml äädikhappeanhüdriidiga (10). 1,5 ml eluaadist viidi alumiiniumist valmistatud preparaadialusele, milles oli süvend diameetriga 18 mm. Alus asetati infrapunase lambi alla, kus lahusti aurustati. Seejärel määratigi β -osakeste loendamise kiirus saadud preparaadilt samal loendusseadeldisel. Alkaloidide elektroforegrammide ja eluaatide β -osakeste loendamiskiirused on toodud tabelis.

Katsed näitasid, et eeltoodud meetod võimaldab radioaktiivse süsinikuga märgistatud ainete paberkromatogrammidel loendada β -osakesi keskmiselt 80 % suurema efektiivsusega kui ainult ühe otsmise aknaga Geiger-Mülleri loendajaga varustatud loendusseadeldisega.



Joon. Alus paberkromatogrammi kinnitamiseks radioaktiivsuse määramisel:

- a - kartongist aluse ava
- b - liimimisriba
- c - kromatogrammi laik

C^{14} -ga märgistatud tropaanalkaloidide elektroforegrammide β -osakeste loendamiskiirused

Katse nr.	Alkaloidi nimetus	Alkaloidi elektroforegrammi β -osakeste loendamiskiirused imp/min	Elektroforegrammi eluaadi β -os. loendamiskiirused imp/min	Elektroforegrammi ja eluaadi loendamiskiiruste suhe
1	Atropiin	5,0	3,2	1,56
2	"	6,6	3,9	1,69
3	"	9,3	6,5	1,43
4	"	14,2	9,6	1,48
5	"	36,3	25,0	1,45
6	Skopolamiin	35,4	17,4	2,03
7	"	76,3	38,1	2,0
8	"	85,9	45,9	1,87
9	"	176,5	80,6	2,19
10	"	235,7	105,8	2,23

J ä r e l d u s e d

1. C^{14} radioaktiivsuse suhteliseks määramiseks paber-kromatogrammidel võib kasutada loendusseadeldist UMF-2, millele on monteeritud kaks otsumise aknaga loendajat, kusjuures kromatogramm asetatakse mõlema loendaja vahelle.

2. Radioaktiivsuse loendamisseadeldis UMF-2, millel on 2 loendajat SBT-13 vastastikku asuvate aknakestega, võimaldab määrrata paberkromatogrammidel radioaktiivse süsiniku β -osakesi keskmiselt 80 % suurema efektiivsusega kui kromatogrammide eluaatidest valmistatud preparaatides ühe loendaja abil.

K i r j a n d u s

1. Смирнов В.Ф. Заводская лаборатория, 8, с.989-995 (1958).
2. Даренико Е., Мезенцев А.И., Семенов Т.В., Тарасенко В.Д.. Ткачев Л.В.. Оргель А.А.. Свердловский мед. ин-т. Сборник трудов, вып.39, с.197-205 (1963).
3. Berliner, D.L., Dominquez, O.W., Westenkow, G. Analytical Chemistry, 29, 1797 (1957).
4. Fink, R.M., Fink, K. Science, 107, 253 (1948).
5. Stepka, W., Benson, A.A., Calvin, M. Science, 108, 304 (1948).
6. Willenbrink, J. Internat. J. Appl. Radiat. and Isotopes, 14, № 4, 231-238 (1963).



7. Keil, B., Sormova, Z. Laboratoriumstechnik für Biochemiker, S. 344-345, Leipzig (1965).
8. Scharpenseel, H.W., Menke, K.H. Fresenius Zeitschr. für analyt. Chemie, 180, 2, 81-96 (1961).
9. Bidwell, R.G.S. Canad. J. Bot., 39, 3, 607-610 (1961).
10. Trabert, H. Naturwissenschaften, 43, 351, 1956.

МЕТОД ОПРЕДЕЛЕНИЯ РАДИОАКТИВНОСТИ С¹⁴
НА БУМАЖНЫХ ХРОМАТОГРАФМАХ

В.Коппель, И.Эльмело

Резюме

Предлагается новый метод определения радиоактивности С¹⁴ на бумажных хроматограммах с двух сторон хроматограммы при помощи двух счетчиков импульсов СБТ-13 и радиометра УМФ-2. Метод является в среднем на 80% более эффективным, чем счет импульсов препаратов, приготовленных из элюатов хроматограммы при помощи только одного счетчика.

RADIOAKTIIVSE SÜSINKU ASSIMILEERIMISEST OKASÖUNA LEHTEDES FOTOSÜNTeesIL

V. Koppel

Taimede ainevahetuse uurimisel on kasvav tähtsus radioaktiivsete isotoopide, eriti süsiniku isotoobi C¹⁴ kasutamisel. Alates 1947. aastast Calvini, Bensoni (18, 19), hiljem Nesgovorova (1,2), Kuzini ja Merenova (3), Kursanovi ja Turkina (4,5), Nitsiporovitši (6), Vosnessenski (7) jt. katsetest, on märgistatud süsinikdioksiid C¹⁴O₂ leitud ulatuslikku rakendust mitmesuguste taimede fotosünteesiproduktide uurimisel. Seda kasutatakse ka alkaloidide kui sekundaarsete fotosünteesiproduktide biogeneesi määramiseks (8, 9). On leitud, et C¹⁴O₂ transformeerub taimedes fotosünteesil kiiresti paljudesse orgaanilistesse ühenditesse – süsivesikutesse, orgaanilistesse hapetesesse, valkudesse jne. (10).

C¹⁴O₂ assimileerimist fotosünteesil taimede poolt on kasutatud radioaktiivse süsinikuga märgistatud süsivesikute, klorofülli, aminohapete ja alkaloidide laboratoorseks tootmiseks (8, 11).

Taimede fotosünteesiproduktide biokeemilisel uurimisel on sobivamaks ja täpsemaks osutunud radiokromatograafiline meetod (11). Käesoleval ajal on kindlaks tehtud, et primaarsed fotosünteesiproduktid on erinevat liiki kõrgematel taimedel üldiselt sarnased. Taimede eksponeerimisel radioaktiivse süsinikdioksiidi atmosfääris on leitud, et erinevatel taimeliikidel esineb tunduvaid erinevusi fotosünteesiproduktide kvantitatiivseis ja kvalitatiivseis koostis-

tes, mis sisaldavad märgistatud süsinikku. Näiteks mõnel taimeliigil liitub assimileeritud C¹⁴ peamiselt oligosahhariididesse, samal ajal teistes taimeliikides oligosahhariidid ei sisalda peaegu üldse radioaktiivset süsinikku (12). C¹⁴ jaotumine fotosünteesiproduktide vahel sõltub suurel määral taimede arengufaasist, füsioloogilisest seisundist ja välistingimustest (13). Seepärast on fotosünteesi uurimisel olulise tähtsusega püsiva temperatuuri ja valgustuse, ühtlase CO₂ kontsentraatsiooni jne. olemasolu. Enamikul taimedel seotakse fotosünteesi protsessis suurem hulk C¹⁴ süsivesikute koostisse (Turkina, 13). Tunduv osa C¹⁴ aga kasutatakse aminohapete sünteesiks koos viimaste liitumisega taimevalkudesse (14).

On teada, et alkaloidid sünteesitakse taimedes peamiselt aminohapetest, kusjuures okasõuna (*Datura stramonium L.*) alkaloidid hüostsüamiin (atropiin) ja skopolamiin moodustatakse ornitiinist (21, 22). Viimases ehitatakse nimelt tropiini pürroldiintsükkel. Katsed on näidanud, et okasõuna liigid võivad peaalkaloide moodustada ka aminohappest proliinist, mis eelnevalt on liitunud valkudesse (23). Eeltoodust järeldub, et alkaloidide biosünteesi uurimisel on vajalik analüüsida aminohapete jt. primaarsete fotosünteesiproduktide moodustamist taimedes. Kasutades seejuures radioaktiivset süsinikioksiidi, on oluline teada, kui kiiresti omandavad fotosünteesi produktid maksimaalse hulga C¹⁴.

Käesoleva töö eesmärgiks oli kindlaks määrata radioaktiivse süsiniku assimileerimist fotosünteesil eemaldatud õitega hariliku okasõuna (*Datura stramonium L.*) lehtede süsivesikutes ja vabades aminohapetes taimede eksponeerimisel C¹⁴O₂ atmosfääris.

K a t s e m a t e r j a l ja k a t s e t i n g i m u s e d

Katseteks kasutati hariliku okasõuna taimi 9. - 10. vegetatsiooninädalal. Taimedel eemaldati õiepungad enne õite puhkamist ning katsetaimed valiti ühtlase arengufaasiga ja suurusega (lehtede välispindala $25 - 28 \text{ dm}^2$). Taimede maapealne osa suleti orgaanilisest klaasist boksi, mille kaas koosnes kahest osast ja oli viimaste kokkulük-kamisel suletav nii, et taim varre alumine osa jäi boksist välja, läbides kaanepoolte keskel oleva ava. Seepä-rast polnud vaja taimi pottides boksi asetada ning taimed kasvasid normaalselt peenardel. Boksi toetus vajalikus kör-guses statiivile. Boksi kaane servad ja ava hermetiseeriti kummitihendi ja plastiliiniga. Boksi maht oli 36 liitrit. Katsed tehti suvel päikesepaistelise ilmaga (välistempera-tuur + 18° C, valgustustugevus 40 000 - 50 000 luksi). Ra-dioaktiivse süsinikdioksiidi saamiseks kasutati $\text{BaC}^{14}\text{O}_3$ ak-tiivsusega 100 mikrokürid. Viimane viidi kolbi, milles asus mitteradioaktiivne BaCO_3 . Tilklehtri abil lisati kolbi piim-hapet ning eralduv radioaktiivne süsinikdioksiid juhitiki koos mitteradioaktiivse CO_2 -ga taimede boksi. CO_2 kontsentratsi-oon boksis hoiti 0,3 - 0,4 % piires (mahu järgi). Boksi tai-medega jahutati väljastpoolt külma veega, jälgides, et tem-peratuur boksis ei ületaks +23° C. Gaasisegu boksis se-gati väikese ventilaatori abil.

Taimi eksponeeriti C^{14}O_2 atmosfääris 3, 6, 24, 48 ja 120 tundi. Osa taimelehti fikseeriti kohe pärast ekspone-rimist, osa aga 1 kuni 17 ööpäeva möödumisel pärast taim-e de boksist eemaldamist. Selle aja kestel arenedesid taimed peenardel normaaltingimustes. Lehed koguti taimedelt hom-mikuti kuiva ilmaga ning fikseeriti kindel kaalutis (5 g) otsekohes keeva 96%-lise etanooliga. Fikseeritud taimemater-jal peenestati uhmris, viidi kvantitatiivselt 80%-lise eta-

nooliga (40 ml) mõõtekolbi (mahuga 100 ml) ja soojendati termostaadis +60° t°-ril üks tund. Seejärel jäeti etanolle väljatömmatis toatemperatuuril üheks ööpäevaks seisma, aeg-ajalt loksutades. Vedelik valati teise anumasse nii, et taimematerjal kaasa ei läinud. Mõõtekolbi lisati uuesti 40 ml 80%-list etanooli ja korrati ekstraheerimist analoogiliselt eelmisega. Seejärel lisati mõõtekolbi esimene väljatömmatis, anum loputati 2 korda 5 ml 80%-lise etanoliga, mis ühendati ekstraktsioonivedelikuga. Mõõtekolb täideti 80%-lise etanoliga märgini, suleti ja jäeti seisma toatemperatuuril veel 2 ööpäevaks, aeg-ajalt loksutades. Sellega saavutati süsivesikute ja aminohapete ühtlane kontsentratsioon ekstraktsioonivedelikus ja taimematerjalis. Väljatömmatis filtriti läbi väikese paberfiltri (\varnothing 4–5 cm), viimane kaeti pealt klaasplaatikesega ning esimesed 4–5 ml filtraati eemaldati. Filtraadist võeti pipetiga 50 ml (vastab 2,5 g taimelehtedele), viidi see tilklehtrisse ja lasti läbi vastavalt ettevalmistatud (18) kationidi KU-2 (H^+ vorm) samba kiirusega üks tilk 5 – 8 sekundis (samba pikus 15 cm, läbimõõt 8 mm, ionidi hulk 3,5 – 4 g). Saadi fraktsioon I, mis sisaldas süsivesikuid ja orgaanilisi happeid. Aminohapped seoti kationiidil. Sammas pesti 3 korda à 10 ml veega, mis lisati fraktsioonile I. Eraldumise kontrollimiseks aurustati viimne samba pesemisvesi veevannil ja jäädis teostati teim süsivesikutele aniliinfaltaatreaktiiviga. Viimane oli negatiivne. Samba pesemisvee aurustusjääk ei andnud nihüdrinreaktiiviga positiivset reaktsiooni aminohappetele. Seejärel voolutati kationiidisammas läbi 100 ml 4n soolhappelahusega – saadi fraktsioon II, mis sisaldas aminohappeid. Kontrollteim näitas, et aminohapped olid sambast täielikult eraldatud. Fraktsioon I aurustati vaakuumis (+40° +50° C) ja fraktsioon II veevannil kuivaks. Kuivjäägid lahustati 3 ml vees, filtriti läbi väikese paberfiltri (\varnothing 2 cm), lisati konserveerimiseks kristalllike tümooli ja säilitati külmatuskapis kuni kromatograafilisele paberile kandmiseni.

Süsivesikute ja aminohapete
paber kromatograafiline
määramine

Süsivesikuist määratati okasõuna lehtedes glükoos. Määramiseks kasutati kromatograafilist paberit "keakmine" (Leningradi Volodarski-nim. tehas), millele kanti igasse star-dipunkti 0,02 ml fraktsionist I saadud süsivesikuid sisal-davat lahust. Kromatogrammid valmistati mõõtmetega 14x30 cm ja voolutati läbi töusval meetodil seguga n-butanol-äädik-hape-vesi (4:1:5) kolmel korral, iga kord 9 tundi (t° +20° +21° C). Kontrolliks kanti paberile 0,2%-list puhta glükoo-si lahust 20%-lises etanoolis. Kromatogrammid ilmutati ani-liin-ftalaatreaktiivigа, soojendades termostaadis +80° C juures 30 min. Glükoosi laigud ($Rf = 0,36$) elueeriti 3 ml jää-äädikhappega 48 tunni kestel temperatuuril +20° C. Eluaatide optiline tihedus määratati fotokolorimeetril FEK-M si-nise valgusfiltriga küvettides paksusega 0,5 cm. Glükoosi-sisaldus leiti standardlahustega võrdlusel kalibreerimis-köveralt (16). Glükoosi C¹⁴ radioaktiivsus määratati pärast 1 ml eluaadi infrapunase lambiga kuivaksaurutamist radio-meetriga DP-100 loendajaga SBT-13 (preparaadi pindala 2,5 cm², kaugus loendaja aknast 3 mm).

Fraktsionist II saadud lahuses määratati kvantitatiiv-selt okasõuna lehtedes esinevad tähtsamad aminohapped: leut-siin, valiin, proliin, glutamiinhape, asparagiinhape ja lüsiin. Lahus kanti mikropipetiiga kromatograafilisele pabe-riile FN-15 (Niederschlag) koguses, milles määratavat amino-hapet sisaldus 3-15 %. Paberit polnud vaja eelnevalt pesta 9-oksükinoliini lahusega, sest katsed näitasid, et paberis ei sisalduud ninhüdriiniga reageerivaid lisandeid. Kromato-grammid valmistati suurusega 20 x 25 cm. Voolutati läbi töusval meetodil seguga n-butanol-äädikhape-vesi (4:1:5) kolm korda à 12,14 ja 16 tundi (kokku 42 tundi) tempera-tuuril +18° +19° C. Kromatogrammid kuivatati toatempera-tuuril 1 ööpäev. Aminohapped identifitseeriti kromatogram-midel võrdluslahuste abil puhestest aminohapetest Rf väär-

tuste põhjal ning värvuste järgi reageerimisel ninhüdriin-ja isatiinreaktiividega (17). Proliini kvantitatiivseks määramiseks ilmutati kromatogrammid isatiin-reaktiiviga soojendamisel +80-+85° C juures 30 min. Reaktiivi liig pesti scoja veega (+30°) kuni valge foonini. Proliini laigud elueeriti 3 ml veega küllastatud fenooliga pimedas 50-60 minuti kestel loksutamisel. Optiline tihedus määratati fotoelektrokolorimeetril FEK-M punase valgusfiltriga võrdluseluaadi suhtes värvumata kromatogrammipaberist küvettides paksusega 0,5 cm (24). Kalibreerimisköver valmistati võrdlusel puhta proliini standardlahusega.

Ülejäänud aminohapped ilmutati ninhüdriin-reaktiiviga, kuivatati õhus 10 min., seejärel soojendati veeauruga küllastatud termostaadis temperatuuril +60° 30 min. Laigud elueeriti 3 ml 0,005%-lise vasesulfaadilahusega 75%-lise etanoolis 2 tunni kestel pimedas loksutamisel. Eluaadid tsentrifuugiti. Aminohapete vase-kompleksi lahust optiline tihedus määratati fotoelektrokolorimeetriga FEK-M rohelise valgusfiltriga küvettides paksusega 0,5 cm kontrolleluadi suhtes värvumata kromatogrammi paberist (16). Kalibreerimisköverad valmistati vastavate puhaste aminohapete standardlahuste kromatogrammide abil sama metoodika järgi. Aminohapete R_f väärtsused olid: leutsiinil 0,85; valiinil 0,70, proliinil 0,45, glutamiinhappel 0,35, asparagiinhappel 0,26 ja lüsiinil 0,15. Aminohapete C¹⁴ radioaktiivsus määratati kromatogrammi laikude eluaatidega, nagu kirjeldatud glükoosi määramisel.

Analüüs tulemused on toodud tabelis.

Glükoosi ja vabade aminohapete sisaldus ning eriradioaktiivsused okasõunalehtedes
pärasat taimede eksponeerimist $C^{14}O_2$ atmosfääris

Taimede eksponeerimise kestus $C^{14}O_2$ -s tunnidest	Taimede sõõrme- ja pärast eksponeerimist tööpea-aeg	Glükoos	Leutstein	Valiin	Prolin	Glutamiinhape	Asparaziinhape	Lüsin							
		Sisaldus / μ g	Eriradioaktiivsus imp./min/ μ g	Sisaldus imp/min/ μ g	Eriradioaktiivsus imp/min/ μ g	Sisaldus imp/min/ μ g	Eriradioaktiivsus imp/min/ μ g	Sisaldus imp/min/ μ g	Eriradioaktiivsus imp/min/ μ g	Sisaldus imp/min/ μ g	Eriradioaktiivsus imp/min/ μ g	Sisaldus imp/min/ μ g	Eriradioaktiivsus imp/min/ μ g		
3	-	I4I2	I750	230	35I	77	3I54	I8	5333	565	427	459	294	59	I500
6	-	I765	2I50	270	870	52	3253	45	7894	770	542	653	342	88	I667
6	I	I680	I320	I44	I250	53	4444	I8	I7966	402	Ie92	558	543	48	2500
6	4	I835	Ie4I	I35	3000	4I	6429	22	I842I	520	I687	430	904	47	3I25
6	8	I434	I72	I24	3000	40	8355	20	4I5I5	4I8	2437	452	I644	88	2200
6	I2	I4I0	I7I	I4I	6208	59	7800	36	25I6I	547	Ie22	4I2	I429	47	I875
6	I7	I569	I68	I70	5833	I29	309I	I8	9000	453	143	47I	862	92	436
24	-	I765	IeI6	I20	I500	49	36I4	I7	I4584	77I	955	6I2	48I	94	2063
24	3	I530	250	I4I	3366	78	5263	I5	6400	430	I5e7	470	875	59	2800
24	6	I34I	Ie6	I20	6250	40	6267	36	30000	400	2296	406	I464	77	I923
48	-	I7e5	750	Ie7	2777	69	4273	I7	I5800	588	Ie30	549	746	93	2562
I20	-	I659	528	Ie8	3850	42	5882	27	I7893	475	2I23	630	Ie56	97	3652

J ä r e l d u s e d

1. Okasõunataimed assimileerivad intensiivsel fotosün-teesil 5 - 6 tunniga $C^{14}O_2$ peaaegu täielikult, kusjuures glükoos omandab sama ajaga lehtedes maksimaalse eriradioaktiivsuse. Hiljem väheneb glükoosi eriradioaktiivsus pide-valt, moodustades 17 ööpäeva möödumisel umbes 7 - 8 % alg-aktiivsusest.

2. Vabad aminohapped leutsiin, valiin, proliin, glu-tamiinhape ja asparagiinhape omandavad okasõunalehtedes maksimaalse C^{14} eriradioaktiivsuse 8 - 9 ööpäeva möödumi-sel pärast $C^{14}O_2$ assimileerimist fotosünteesil, lüsiin 4-5 ööpäeva möödumisel.

3. Vabatest aminohapetest omandab suurima C^{14} erira-dioaktiivsuse proliin.

K i r j a n d u s

1. Незговорова Л.А. ДАН ССР, 79, 537 (1951).
2. Незговорова Л.А. ДАН ССР, 85, 6, 1387 (1952).
3. Кузин А.М., Меренова В.И., ДАН ССР 85, 393 (1952).
4. Курсанов А.Л., вестн.АН СССР, № 12 (1953).
5. Курсанов А.Л., Туркина М.В., ДАН ССР, 95, 885 (1954).
6. Ничипорович А.А., Тр.Ин-та физиол.раст.им.к.А.Тими-рязева, т.8, вып.1, Изд.АН СССР (1953) с.3-41.
7. Заленский О.В., Семихатова О.А., Вознесенский ѣ.Л., Методы применения радиоактивного углерода C^{14} дл.. изучения фотосинтеза, Изд.АН СССР, (1955).
8. Кузин А.М., Меренова В.И., Биохимия, т.19, вып.5, с.616-618, вып.6, с.698-701 (1954).

9. Кузин А.М., Токарская (Меренова) В.И., Биохимия т.21, вып.1, с.80-86 (1959).
10. Рабинович Е., фотосинтез, т.3, Изд.ИЛ, с.505-513 (1959)
11. Рачинский В.В., Изв.Тимирязевск.сель-хоз.Акад.вып.3, с 161-174 (1954).
12. Рачинский В.В., Денчева А.В., Изв.Тимирязевск.с-х. Акад. вып.5, с.12-20 (1966)
13. Андреева Т.Ф., Нальбодчик Э.Я., Тихомиров М.В., Проблемы фотосинтеза (сборник), с.272-280, 307-313. Изд. АН СССР, М.(1959).
14. Осипова О.П., Николаева М.К., Физиол.растений т.П, вып.2, с.210-215 (1964).
15. Методика количественной бумажной хроматографии сахаров, орг.кислот и аминокислот у растений (сборник), с.71-79, Изд.АН СССР, М.(1962).
16. Специальный практикум по биохимии и физиологии растений, с.31-43 Изд.Томского ун-та (1966).
17. Бояркин А.Н., Дмитриева М.И., Физиол.растений, т.5, вып.1, с.86-87, вып.4, с.386-390 (1958).
18. Aronoff,S., Benson,A.A., Hassid,W.Z., Calvin,M., Science, 105, 664 (1947).
19. Calvin,M., Benson,A.A., Science, 107, 476 (1948).
20. Undenfriend,S., Gibbs,M., Science, 110, 708 (1949).
21. Leete,E., Marion,L., Spenser,D., Canad. J. Chem., 32, 1116 (1954); Nature (London) 174, 650 (1954).
22. Mothes,K., Schütte,H.R., Angew. Chem., 75, 265, 357 (1963)
23. Sullivan,G., Gibson,M.R., J. Pharmac. Sci., 53, 9, 1058 - 1063 (1964)
24. Hrabetova,E., Turu,J., J. Chromatogr., 3, 199 (1960).

ОБ АССИМИЛЯЦИИ РАДИОАКТИВНОГО УГЛЕРОДА В ЛИСТЬЯХ ДУРМАНА ПРИ ФОТОСИНТЕЗЕ

В.Коппель

Резюме

Исследовалась интенсивность ассимиляции радиоактивного углерода с C^{14} в листьях дурмана, у которого были предва-

рительно удалены цветы. Изучалась интенсивность ассимиляции C^{14} в гликозе и в свободных аминокислотах. Растения держались в атмосфере $C^{14}O_2$ в течение от 3 до 120 часов и потом нормально росли в течение от 1 суток до 17 суток. Опыты проводились в нейтральных условиях. Листья дурмана фиксировали, экстрагировали при помощи 80% спирта и углеводы и аминокислоты выделяли при помощи катионитного столба. Гликоза и свободные аминокислоты выделялись методом хроматографии на бумаге.

Количественное определение проводили фотоэлектроколориметрически в элюатах хроматограмм и удельная радиоактивность определялась в сухих остатках после выпаривания элюатов.

Было установлено, что $C^{14}O_2$ ассимилируется полностью при интенсивном фотосинтезе уже за 5-6 часов и гликоза приобретала за это время максимальную удельную радиоактивность. Удельная радиоактивность гликозы постепенно уменьшалась и через 17 суток составляла только 7-8% от максимальной радиоактивности. Свободные аминокислоты лейцин, валин, пролин, глутаминовая кислота и аспарагиновая кислота приобретали максимальную радиоактивность в листьях за 8-9 суток, а лизин за 4-5 суток после ассимиляции $C^{14}O_2$. Из свободных аминокислот максимальную удельную радиоактивность присобретал пролин.

**TROPAANALKOVIDE MOODUSTUMISEST JUURTEST
ERALDATUD OKASÖUNAS**

V. Koppel

Tropaanalkoidide moodustumist maavitsaliste (Solanaceae) sugukonda kuuluvates taimedes on viimaste aastakümnete kestel võrdlemisi palju uuritud. Katsete tulemused on näidanud, et enamikul selle sugukonna taimedel sünteesitakse tropaanalkoidid põhiliselt juurtes, ainult vähesel hulgal alkaloide võib moodustuda ka noorte taimede maapealsetes osades ja valminud viljades (1, 5, 6, 7, 8, 9, 10). Erandiks on osutunud tropaanalkoidi skopolamiini moodustumine tropaanalkoidist hüostsüamiinistoksüdatsioonil. See biokeemiline reaktsioon toimub peamiselt taimede maapealseis organeis, kuna juured on selleks võimalised ainult üksikute taimeliikide puhul (11, 12). Pookekatsed mõningate okasöunte perekonda kuuluvate taimedega (*Datura tatula*, *Datura innoxia*) on näidanud, et hüostsüamiin võib moodustuda ka nende taimede maapealses osas ja skopolamiin juurtes (13). On leitud, et okasöuna liikides (näit. *Datura innoxia* Mill.) tekib hüostsüamiin hilisemal vegetatsiooniperiodil põhiliselt juurtes ja skopolamiin lehtedes. Noortel taimedel aga moodustatakse tunduv osa hüostsüamiinist lehtedes ja skopolaminist juurtes (14). Viimastel aastatel tehti katseid, kus poogiti tomatitaimi hariliku okasöuna (*Datura stramonium* var. *stramon*) alusele. Saadud tomativiljad olid suuruse ja saagikuse pooltest suuremad kui pookimata taimedel ning ei sisaldanud üldse tropaanalkoide (15). Analoogiliste katsete puhul

indiaani okasõuna (*Datura innoxia*) pookealusega sisaldasid poogitud tomati lehed ja varred alkaloide skopolamiini ja hüostsüamiini (2). Seega peaksid indiaani okasõunas alka-loolid tekkima põhiliselt juurtes. Katsed on näidanud, et hariliku okasõuna ja karumustika taimede vartelt lõigatud lehed on võimelised moodustama radioaktiivset hüostsüamini ja skopolamiini, kui neid hoida 4 päeva radioaktiivset süsinikü sisaldava putrestsiindihüdrokloriidi vesilahuses (16).

Nagu eeltoodud andmetest nähtub, pole küsimus troopaan-alkaloide moodustumise kohta taimede eri organeis veel lõplikult lahendatud. Käesoleva töö ülesandeks oli selgita-da, kas juurtest isoleeritud hariliku okasõuna taimed on võimelised alkaloide moodustama ning millisel hulgal tekib nende lehtedes troopaanalkaloide hüostsüamini ja skopolamii-ni.

K a t s e m a t e r j a l : j a k a t s e t e m e t o o d i k a

Katseteks kasutati hariliku okasõuna (*Datura stramo-nium var. stramonium L.*) taimi õitseperioodi algul 8. ve-geatsiooninädalal. Katsetaimede valikul arvestati ühtlast arengufaasi ja suurust. Osal taimedest lõigati ära alumine varreosa 5 cm kauguselt juurestiku algusest ning taimed asetati toitelahusesse, mis koosnes 0,16%-lisest väetis-segu B vesilahusest (sisaldas N, P, K sooli, mikroele-mentidest B, Mn, Co, S, Mo, Cu, Mg ja Fe).

Toitelahuse anumad koos taimedega paigutati orgaani-lisest klaasist hermeetiliselt suletavasse boksi (ruumala 36 litrit). Katsetaimede lehtede välispindala oli $17,9\text{dm}^2$. Toitelahuse pind kaeti sulatatud vaseliiniga, et vältida süsiniküdiokiidi adsorbeerumist vedelikus. Boksis oli ven-tilaator õhu segamiseks ning termomeeter. Seejärel juhiti boksi radioaktiivset süsiniküdiokiidi üldaktiivsusega 100 mikrokürid. Viimase saamiseks kasutati radioaktiivset sü-

sinikku (C^{14}) sisaldavat baariumkarbonaati, millele toimiti piimhappega. Katsed tehti päikesepaistelise ilmaga väljas, kusjuures taimede valgustustugevus oli 20 000 - 30 000 luksi ning välistemperatuur + 18° C. Taimed eksponeeriti boksis 9 tundi, CO_2 kontsentraatsioon hoiti 0,3 - 0,4 % (mahu järgi) piires, juhtides vajaduse korral juurde mitteradioaktiivset CO_2 . Boksi välisseinte jahutamisega hoiti selles temperatuur alla + 25° C.

Pärast boksist eemaldamist lasti taimedel kasvada vabas õhus toitelahuses 6 ööpäeva. Seejärel eraldati lehed, kuivatati termostaadis temperatuuril +40° C ning peenestati. Saadud õhkuivas lehtede pulbris (15 g) eraldati alkaloidide summa N.U. Libisovi meetodil (3). Saadud puhtad alkaloidid lahustati 2 ml-s kloroformi-bensooli segus (1:1). Osa alkaloidide lahusest kasutati paberelektroforeetiliseks määramiseks, teisest osast eraldati alkaloidide summa ränivolframaadina.

Paberelektroforeetiliseks määramiseks kasutati kromatograafilist paberit M (Leningradi Volodarski-nim. Paberivabrik). Alkaloidid eraldati boraatpuhvri lahusega nii-sutatud paberil 600-voldise pinge juures 50 minuti kestel (paberi laius 30 cm). Elektroforegrammid kuivatati toatemperatuuril ja ilmutati Dragendorffi reaktiiviga Traberti modifikatsioonil (17). Ilmutatud elektroforegrammidest lõigati välja alkaloidide atropiini (dl-hüostsüamiini) ja skopolamiini laigud ning määratati nende radioaktiivsus väikese fooniga loendusseadeldisel UMF-2 (valmistatud NSV Liidu Tervishoiuministeeriumi Biofüüsika Instituudi Eksperimentaal töökjas). Loendusseadeldisel oli kaks loendajat SBT-13 vastastikku asetsevate aknakestega, millede vahelle asetati elektroforegrammi laik 2 mm kaugusele kummastki aknakesest. Seadeldis registreeris elektroforegrammi mõlemal külje radioaktiivsuse. Seejärel elueeriti elektroforegrammidest alkaloidide atropiini ja skopolamiini joodvismutkompleksi laigud Traberti meetodil (17) äädikhappe-anhüdriidiga ning määratati nende kvantitatiivne sisaldus

spektrofotomeetriselt võrdlusel standardlahuste elektroforegrammide eluaatidega.

Teisele osale N.I. Libisovi meetodil taimematerjalist eraldatud alkaloidide kloroformi-bensoolilahusele lisati 1%-list pikriinhappelahust kloroformis ning lasti kristalliseeruda alkaloidide pikraadid. Saadud kristallid pesti kloroformiga ning lahustati atsetoonis. Lisati 1%-list räni-volframaatide täieliku sadestumiseni. Sadet pesti 10 korra 1 ml atsetooniga ja kuivatati temperatuuril +50° C. Alkaloidide räni-volframaadid peenestati ja määratati täpselt kaalutise radioaktiivsus eeltoodud loendusseadeldisel UMP-2.

Paralleelselt katsetega juurtest isoleeritud harilikku okasõuna taimedega tehti võrdluskatsete juurtest isoleerimata sama arengufaasi ja suurusega taimedega. Võrdluskatse taimed kasvasid pöllul normaalsetes tingimustes. Neil suleti oksad koos lehtedega hermeetiliselt sama suurusega orgaanilisest klaasist boksi, kusjuures taim jäi juurtega edasi peenrale. Boksis olevate taimelehtede pindala, kasutatud C¹⁴ radioaktiivsus, CO₂ kontsentratsioon, eksponeerimisaeg ja muud katsetingimused olid analoogilised põhikatsega. Pärast võrdluskatse taimede eksponeerimist radioaktiivse C¹⁴O₂ atmosfääris lasti neil kasvada peenardel normaaltingimustes 6 ööpäeva. Seejärel eraldati lehed, kuivatati ning määratati alkaloididesisaldus ja radioaktiivsus analoogiliselt põhikatsega.

Katsete teostamisel püüti okasõunataimi hoida fotosünteesi intensiivsuse suhtes võimalikult ühesugustes tingimustes. Uurimused on näidanud, et taimedelt eraldatud lehtedes ei teki olulisi muutusi fotosünteesi intensiivsus ja hingamises, kui lehtede veerežiim hoitakse normaalsel tasemel ja õhulõhed on avatud (4).

Alkaloididesisaldus ja eriradioaktiivsus juurtest eraldamata ja juurtest eraldatud taimedes on toodud tabelis.

C^{14} -ga märgistatud tropaanalkloidide-sisaldus ja eriradioaktiivsus
juurtest eraldatud ja eraldamata okasõuna lehtedes

	Juurtest eraldatud taimed					Juurtest eraldamata taimed				
	A t r o p i n		Skopolamiin		Alkaloi-	A t r o p i n		Skopolamiin		Alkaloi-
	Sisaldus %	Eriradio-kuivatat. aktiivsus imp/min/mg	Sisaldus %	Eriradio-kuivatat. aktiivsus imp/min/mg	dide rä-nifolf-ramaati-de eriak-tiivsus imp/min/mg	Sisaldus %	Eriradio-kuivata-tud leh-tedes imp/min/mg	Sisaldus %	Erira-dioak-tiivsus imp/min/mg	dide rä-nifolf-ramaati-de eriak-tiivsus imp/min/mg
	0,024	25,8	0,118	12,2	22,4	0,074	51,0	0,132	24,8	35,5
	0,028	26,6	0,107	12,8	23,6	0,087	54,2	0,102	25,5	38,6
	0,021	30,5	0,098	14,2	26,2	0,076	62,4	0,125	28,2	42,5
	0,024	32,0	0,102	15,1	27,8	0,101	69,6	0,103	30,0	46,7
	0,025	36,7	0,104	17,0	33,0	0,078	80,0	0,114	36,2	50,1
Kesk-mine	0,024	30,3	0,106	14,3	26,6	0,083	63,4	0,115	28,9	42,7

Katsetulemustest selgub, et juurtest eraldatud hariliku okasõuna taimed on võimelised moodustama tropaanalkaloidide. Võttes aluseks alkaloididesse liitunud radioaktiivset süsinikku, moodustab juurtest eraldatud taimede lehtede alkaloidide ränifolframaatide eriaktiivsus keskmiselt 62,3 % juurtest eraldamata taimede alkaloidide ränifolframaatide eriradioaktiivsusest. Juurtest eraldatud taimede lehtedes vähenes atropiinisisaldus peaegu 3,5 korda, moodustades 28,9 % juurtest eraldamata taimede keskmisest atropiinisisaldusest. Seejuures aga olid juurtest eraldatud taimed võimelised atropiini moodustama, kusjuures viimase C¹⁴ eriradioaktiivsus oli üle kahe korra madalam võrreldes juurtest eraldamata taimede atropiini eriradioaktiivsusega, moodustades sellest keskmiselt 47,8 %.

Juurtest eraldatud okasõnataimedede lehtede skopolaminiisisaldus langes võrdlemisi vähe, moodustades keskmiselt 92,1 % juurtest eraldamata taimede lehtede skopolaminiisisaldusest. Juurtest eraldatud taimede lehtede skopolamiini C¹⁴ eriradioaktiivsus vähenes peaegu 2 korda, moodustades 49,5 % juurtest eraldamata taimede lehtede skopolamiini eriradioaktiivsusest. Katsetulemused näitasid, et skopolamiin moodustati põhiliselt hariliku okasõuna maapealseis organeis.

J ä r e l d u s e d

1. Juurtest eraldatud hariliku okasõuna taimede maapealses osas moodustatakse õitseperioodi algul keskmiselt 62,3 % alkaloidide summast, võttes aluseks alkaloidide ränifolframaatide eriradioaktiivsuse pärast taimede eksponeerimist C¹⁴O₂ atmosfääris.

2. Dl-hüostsüamiin (atropiin) sünteesitakse õitseperioodi algul põhiliselt okasõnataimedede juurtes ning vähestes hulkades taimede maapealseis osades.

3. Keskmiselt 92,1 % harilikku okasõuna lehtedes sisalduvast skopolamiinist moodustatakse täiskasvanud taimede maapealseis organeis.

K i r j a n d u s

1. Краевой С.Я., Нечаев И. Докл. АН СССР, 31,69(1941).
2. Бурдыкина-Шехтер Э.А. Раст. ресурсы, т. 2, вып. I, с. 56 (1966).
3. Либизов Н.И. Труды Всесоюзн. научно-иссл. ин-та лекарств. раст. вып. 10(1950).
4. Вознесенский В.Л., Заленский О.В., Семихатова О.А. Методы исследования фотосинтеза и дыхания растений, с. 47-48, Изд. "Наука", М.(1965).
5. Mothes, K., Hiecke, E. Naturwissenschaften, 31, 17-22 (1943).
6. Mothes, K., Romeike, A.: in W. Ruhland "Handbuch der Pflanzenphysiologie", Bd. 8, S. 1008, Springer Berlin (1958).
7. Romeike, A. Die Pharmazie, 8, 668, 729 (1953).
8. Shibata, S. Planta medica, 4, 74 (1956).
9. Jindra, A., Leblova, S., Sipal, Z., Cihak, A. Planta medica, 8, 44 (1960).
10. Romeike, A. Flora, 148, 306 (1959).
11. Romeike, A. Naturwissenschaften, 46, 492 (1959).
12. Romeike, A. Planta medica, 8, 491 (1960).
13. Evans, W.C., Partridge, M.W. J. Pharm. Pharmacol., 5, 293, 772 (1953).

14. Steinegger, E., Gessler, F. Pharm. Acta Helvetiae, 30, 115-123 (1955).
15. Auer, E., Liebert, H., Schmid, L. Ernährungsforsch. (Berlin), 12, 579-584 (1967).
16. Liebisch, H.W., Shalaby, A.F., Schütte, H.R. Naturwissenschaften, 53, 434 (1966).
17. Trabert, H. Naturwissenschaften, 43, 351 (1956).

ОБ ОБРАЗОВАНИИ ТРОПАНОВЫХ АЛКАЛОИДОВ В ДУРМАНЕ, ОТДЕЛЕННОМ ОТ КОРНЕЙ

В.Коппель

Резюме

Растения дурмана обыкновенного *Datura stramonium* var. *stramonium* L. были отделены от корней в начале фазы цветения и держались 6 дней в питательном растворе и в атмосфере $C^{14}O_2$. Спустя 6 дней выделили из листьев количественно сумму алкалоидов в виде солей кремневольфрамовой кислоты и определили содержание гиосциамина и скополамина методом электрофореза на бумаге, а также удельную радиоактивность C^{14} . Параллельно был поставлен опыт с растениями дурмана без удаления корней.

Было обнаружено, что в начале фазы цветения образуется в среднем 62,3% от суммы алкалоидов в наземных частях дурмана. Гиосциамин образуется в начале фазы цветения главным образом в корнях, а скополамин – в наземных частях дурмана.

HIIREKÖRVA CAPSELLA BURSA-PASTORIS (L.) MED.
TOIMEAINE MÄÄRAMINE

S. Jürisson

Hiirekörva ürdist valmistatud tömmiseid on kasutatud verdsulgeva ja emakakontraktsioone esilekutsuva vahendina juba rahvameditsiinis. Seni pole õnnestunud määrata hiirekörva kõiki bioloogiliselt aktiivseid toimeaineid. H. Thaa (1953) ja F. Hauschildi (1958) andmetel on hiirekörva ürdis peamiseks toimeaineeks koliin ning teised biogeensed amiinid. Bombeloni (1888) andmetel on hiirekörva toimeaineks alkaloid bursiin e. bursahape, kuid ta ei esitanud selle alkaloidi omaduste ja koosseisu kohta mingeid andmeid. Ka A.P. Orehhov (1932) on maininud hiirekörvas võimaliku alkaloidi esinemist, mida temal aga ei õnnestunud isoleerida, kuna see ei läinud üle orgaanilisse lahustisse.

Töö eesmärgiks oli isoleerida hiirekörvast toimeaine ja määrata selle bioloogiline aktiivsus emaka suhtes.

M e t o o d i k a

Hiirekörva koguti 1966. ja 1967. aasta mai- ja juunikuus Tartu ümbrusest. Toimeainete identifitseerimiseks kasutati füüsikalise-keemilisi meetodeid ja paberkratomograafiat. Koliini kvantitatiivset sisaldust määratati kaalanalüütiselt erinevates taimeosades kõikidel vegetatsiooniperioodidel.

Eelkäsetena kasutati võimalike alkaloidide isoleerimiseks meie poolt modifitseeritud Stas-Otto meetodit (Autenrieth, 1943). Ekstraheeriti orgaaniliste lahustite klorreformi, atsetoomi, diklooretaani ja alkoholiga. Katsed viidi läbi toa- ja 50 - 60°-sel temperatuuril erinevate pH-de juures. Keskkonna pH-d muudeti leeliste (NaOH , NH_4OH , $\text{Ca}(\text{OH})_2$) ja sidrunhappega (Rosenthaler, 1928).

Meil õnnestus eraldada toimeaine järgmise meetodi abil: kuivatatud droog peenestati, leelistati nõrgalt (pH 7,5) kaltsiumhüdroksiidiga ning ekstraheeriti 70°se alkoholiga kolm korda. Saadud tömmised ühendati, filtreeriti, koondati vaakumis ja vabastati ballastainetest alumiiniumoksiidi abil; peale selle koondati veel kuni kirme tekki-miseni vedeliku pinnal. Saadud koondatud ekstrakti kasutati ka kromatografeerimisel. Pärast jahtumist siirupjas vedelikus tekkimud kristallid koguti klaasvaakuumfiltrile, millele oli asetatud filterpaber. Kristallid puhastati siirupjast vedelikust algul filterpaberiga, siis loputati asetooniga ja kuivatati.

Koliini isoleerimist ja kvantitatiivse sisalduse määramist teostati I. Bayeri, K. Katona ja L. Tardose (1959) poolt kirjeldatud meetodil. Koliin ekstraheeriti droogist 50%-lise etüülalkoholiga, puhastati ja sadestati Reinecke soolaga ning sade kaaluti.

Kromatograafilisi uurimisi viidi läbi n-butanol-äädikhape-vesi süsteemis (4:1:5) ning ilmutati Dragendorffi reaktiiviga ja joodi aurudega (I.M. Hais, K. Macek, 1962; V.A. Salfin, 1966).

Ainete samastamiseks kasutati ofitsiaalset koliinhüdrokloriidi ja histamiinhüdrokloriidi.

Ekstraheerimisel saadud kristallilise aine bioloogilist aktiivsust määratati külliku isoleeritud emakal.

Katsetulemused

Katsetulemustest selgus, et hiirekörva kogu droogis oli koliinisisaldus kõige suurem I vegetatsiooniperioodil (enne õite puhkemist); II vegetatsiooniperioodil (õitsemisajal) see tunduvalt vähenes; III vegetatsiooniperioodil (pärast õitsemist) oli aga kõige väiksem. Kõikidel vegetatsiooniperioodidel oli koliinisisaldus suurem lehtedes ja õites enne õitsemist ning väiksem vartes ja juurtes. Nii oli koliinisisaldus enne õitsemist ürdis $0,23 \pm 0,006\%$, lehtedes ja õites $0,25 \pm 0,01\%$ ning vartes ja juurtes $0,20 \pm 0,012\%$; pärast õitsemist ürdis $0,14 \pm 0,004\%$, viljades $0,13 \pm 0,006\%$ ning vartes ja juurtes $0,09 \pm 0,006\%$ (vt. tabel 1).

T a b e l 1

Koliinisisaldus (%) hiirekõrvas *Capsella bursa-pastoris* (L.) Med. erinevates taimeosades ja erinevatel vegetatsiooniperioodidel.

I			II			III		
Kogu droog	Lehed õied	Varred juured	Kogu droog	Lehed õied	Varred juured	Kogu droog	Viljad	Varred juured
\bar{x} 0,23	0,25	0,20	0,19	0,23	0,17	0,14	0,13	0,09
S 0,016	0,024	0,031	0,024	0,016	0,018	0,012	0,018	0,016
Sx 0,006	0,01	0,012	0,01	0,006	0,006	0,004	0,006	0,006

Ekstraheerimisel metüül-, propüül- ja etüülalkoholiga on koliinisisaldus enam-vähem ühesugune, kuid viga on suurem ekstraheerimisel propüülalkoholiga võrreldes ekstraheerimisel metüül- ja etüülalkoholiga saadud veaga (vt. tabel 2).

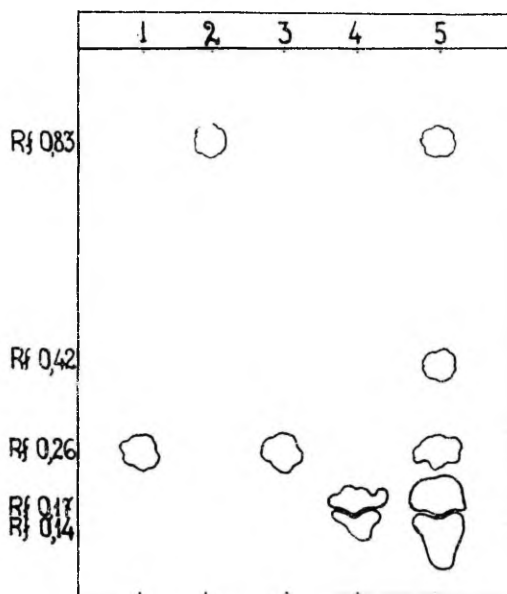
T a b e l 2

Koliinisisaldus (%) hiirekörva kogu droogis õitsemisajal mitmesuguste lahustitega ekstraheerimisel.

	Büütalkohol 50 %	Metüütalkohol 50 %	Propüütalkohol 50 %
\bar{x}	0,20	0,20	0,22
S	0,022	0,033	0,05
Sx	0,008	0,012	0,02

Paberkromatograafiline uurimine näitas, et hiirekörvast isoleeritud koliin ja hiirekörva koondatud koliini sisaldav ekstrakt andsid kromatogrammil ofitsiaalse kolii-niga võrdsel körguse sel paiknevad laigud (Rf 0,26). Samal viisil töestati histamiini esinemine hiirekörva koondatud ekstraktis (Rf 0,83). Peale nimetatute eraldus hiirekörva koondatud ekstraktist kromatografeerimisel veel tundmatu laik (Rf 0,42) ja kaks teineteisele lähedal asuvat laiku (Rf 0,14 ja 0,17), viimaste Rf-d ühtisid meie poolt isoleeritud bioloogiliselt aktiivse aine kristallide Rf-dega. Kromatogrammi järgi võib otsustada, et isoleeritud kristallid koosnesid kahest erinevast ainest (vt. kromatogramm), mida meil ei õnnestunud lahutada.

Meie poolt isoleeritud kristallide füüsikalise-keemilise uurimine näitas, et nendel on alkaloididele iseloomulikud omadused. Saadud kristallid olid nöeljad ja ruudukujulised, kusjuures viimaseid esines rohkem. Lahustusid hästi vees ja alkoholis, kuid olid lahustumatud eetriss ja kloroformis. Sulamistemperatuur ca 170°, maitse soolakas, vesilahuse reaktsioon leeliselise, berliinisinise reaktsioon positiivne. Alkaloidide sadestamisreaktiividega andsid positiivseid tulemusi: Lugoli lahus ++, tanniinilahus ++, räniwolframhappelahuus +, fosforwolframhappelahuus +++, pikriinhappelahuus +++, fosformolübdeenhappelahuus ---, Dragen-dorffi reaktsioon +++.

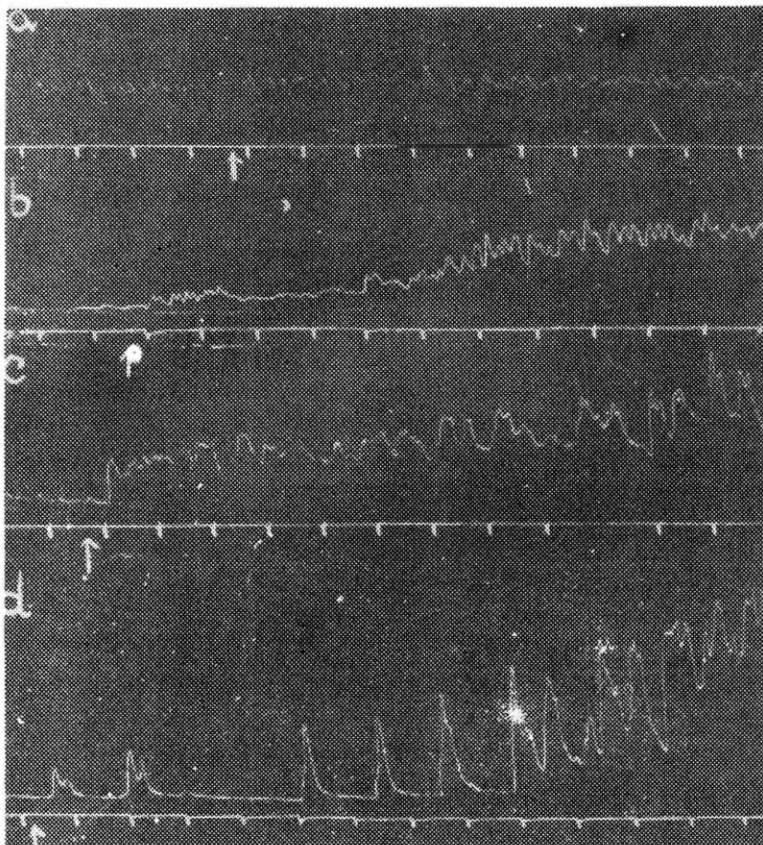


Kromatogramm: Hiirekõrva koondatud ekstrakti kromatograafiline analüüs.

1. Koliinhüdrokloriidilahus.
2. Histamiinhüdrokloriidilahus.
3. Hiirekõrvast isoleeritud koliinreinekaadi lahus.
4. Hiirekõrvast isoleeritud alkaloiditaoliste ainetega lahus.
5. Hiirekõrva koondatud ekstrakt.

Katsetulemused eraldatud alkaloiditaolise aine toime määramiseks küüliku isoleeritud emakasarve suhtes näitasid, et emakasarve toonus tösis sõltuvalt kontsentratsioonist (vt. kumogramm). Kontsentratsioonis $1 \cdot 10^{-11}$ (a) emakatoonus ei töusnud, kuid kontraktsioonid mõnevõrra suurennesid. Kontsentratsioonis $1 \cdot 10^{-10}$ ja $1 \cdot 10^{-9}$ (b) emakakontraktsoonid tugevnesid ning vähesel määral tösis toonus. Kontsentratsioonis $1 \cdot 10^{-8}$ (c) kontraktsioonid tugevnesid mõõdukalt ning tösis toonus. Kontsentratsioonis $1 \cdot 10^{-6}$ (d)

kuni $1 \cdot 10^{-4}$ emakakontraktsioonid intensiivustusid tugevasti ning toonus tõusis järsult. Kontsentratsioonis $2 \cdot 10^{-4}$ kadusid emakakontraktsioonid ja langes toonus.



Kümogramm. Alkaloiditaoliste ainete toime kõuliku isoleeritud emakasarve motoorikasse kontsentratsioonides

a) $1 \cdot 10^{-11}$; b) $1 \cdot 10^{-9}$; c) $1 \cdot 10^{-8}$;
d) $1 \cdot 10^{-6}$; aeg 60 sek.

J ä r e l d u s e d

1. Identifitseeriti hiirekörva ekstraktis koliin ja histamiin.
2. Hiirekörva ürdi koliinisalsalus oli köige suurem esimesel vegetatsiooniperioodil (enne õitsemist $0,23 \pm \pm 0,06\%$), köige väiksem kolmandal vegetatsiooniperioodil (pärast õitsemist $0,14 \pm 0,004$).
3. Koliini kvantitatiivsel määramisel võib ekstraheerimisvahendina kasutada peale etüülalkoholi ka metüül- ja propüülalkoholi.
4. Droogist isoleeriti kristallilisel kujul tundmatud ained, mis vastavate sadestamisreaktsioonide abil osutusid alkaloiditaolisteks.
5. Isoleeritud alkaloiditaolised ained olid bioloogiliselt aktiivsed külliku isoleeritud emaka suhtes, tõstes emakasarve toonust ja suurendades kontraktsioone kontsentratsioonis $1 \cdot 10^{-10}$ ja $1 \cdot 10^{-9}$.

K i r j a n d u s

- Autenrieth, W. Die Auffindung der Gifte und stark wirkenden Arzneistoffe, 1943, S. 74-78, 330-334.
- Bayer, I., Katona, K., Tardos, L. Acta pharm. hung., 1959, v. 28, p. 164.
- Bombelon, A. Tsit.: Лейбович Я.А. Врач. дело, 1923, № 24-26, с. 719-723.
- Hauschild, F. Pharmakologie und Grundlagen der Toxikologie 1958, S. 609.

Rosenthaler, L. Grundzüge der chemischen Pflanzenuntersuchung. 1928, S. 35-43.

Thaa, H. Die Pharmazie, 1953, S. 265-266.

Wasicky, R. Physiopharmakognosie, 1932, S. 738-739.

Орехов А.Н. Химия алкалоидов растений СССР, 1965, с.9,17.

Сафин В.А. Изучение сырья, процесса экстракции биологически активных веществ и некоторых суммарных препаратов крапивы двудомой. Диссертация, 1966. Пятигорск.

Ханс И.М., Мапек К. Хроматография на бумаге, 1962, с.529-530.

УСТАНОВЛЕНИЕ ДЕЙСТВУЮЩИХ ВЕЩЕСТВ ПАСТУШЬЕЙ СУМКИ CAPSELLA BURSA-PASTORIS (L.) MED.

С. Юриссон

Резюме

Изучали содержание действующих веществ пастушьей сумки в разных периодах вегетации и в различных частях растений. Холин экстрагировали 50% этиловым спиртом, очищали и осаждали солью Рейнеке. Выяснилось, что в траве пастушьей сумки содержание холина больше всего в первом вегетационном периоде до распускания цветов - (в траве - $0,23 \pm 0,006\%$; в листьях - $0,25 \pm 0,01\%$; в стеблях и корнях - $0,21 \pm 0,012\%$), а после цветения (в траве - $0,14 \pm 0,004\%$; в плодах - $0,13 \pm 0,006\%$; в стеблях и корнях - $0,09 \pm 0,006\%$).

В качестве предварительных опытов с целью изолирования возможных алкалоидов применяли методику Стас-Отто, модифицированную нами. Экстрагировали хлороформом, ацетоном, дихлорэтаном и этиловым спиртом при разных pH. Действующие вещества удалось изолировать следующим методом: измельченное высушенное сырье экстрагировали

этиловым спиртом при pH 7,5, полученный экстракт освобождали от балластных веществ алюминия оксидом и концентрировали. После охлаждения жидкости выпадали кристаллы, которые высушивали при помощи фильтровальной бумаги и полоскали ацетоном.

Для идентификации действующих веществ применяли физико-химические и хроматографические исследования. Хроматографию на бумаге проводили в системе н-бутанол-уксусная кислота-вода (4:1:5) и проявляли реагентом драгендорфа и парами йода. Для идентификации пятен применяли 0,1% растворы официального холина и гидрохлорида гистамина. Полученный холин и холиносодержащий густой экстракт пастушьей сумки давали пятна, которые находились на одном уровне с пятном официального холина ($R_f = 0,26$). Подобным способом установили также и гистамин ($R_f = 0,83$). Кроме этих пятен выявились еще два друг другу близких пятна ($R_f = 0,14$ и $0,17$). По хроматограммам можно было установить, что полученные кристаллы состоят из двух веществ ($R_f = 0,14$ и $0,17$), но различить их не удалось. Дальнейшее изучение показало, что эти вещества содержали азот (по реакции с берлинской лазурью) и давали положительные реакции с алкалоидными реагентами. Биологическую активность полученных кристаллов изучали на изолированном роге матки кролика. Изолированные кристаллы являлись биологически активными, вызывая в слабых концентрациях ($1 \cdot 10^{-10}$ и $1 \cdot 10^{-9}$) усиление сокращений и повышение тонуса рога матки кролика.

ПРИГОТОВЛЕНИЕ ВОДНЫХ ИЗВЛЕЧЕНИЙ ПРИ ПОМОЩИ ТУРБО- ИЛИ ВИХРЕВОЙ ЭКСТРАКЦИИ

Сообщение I. Извлечения из листьев толокнянки (*Fol. Uvae ursei*) и корней первоцвета (*Rad. Primulae*)

Н.Вейдерпасс, Л.Кирш, Э.Кейх, Р.Паябо,
Э.Ребане и Э. Рулль

Одной из основных задач фармации является улучшение качества труда фармацевтов, а также расширение производства и ассортимента готовых лекарств. Большое внимание обращается на выработку новых лекарств и совершенствование и всестороннее улучшение производства уже существующих.

В настоящей работе рассматривается возможность приготовления настоев и отваров турбо- или вихревым методом. Внедрение этого метода в практику (М.Мелихар с соавторами (I)) дает возможность сократить время на экстрагирование, следовательно, и на экстремпоральное приготовление настоев и отваров. Несмотря на то, что часть настоев и отваров приготавливают в аптеках из стандартных экстрактов, довольно много извлечений получают экстрагированием растительного сырья.

Турбо-метод состоит в том, что мешалку погружают в смесь экстрагента и растительного сырья. Быстрое вращение мешалки вызывает интенсивное движение последних, увеличивает контакт между ними и этим способствует экстракции.

До сих пор особое внимание уделялось изучению вопросов турбо-экстрагирования с помощью алкоголя, следовательно, приготовлению настоек (2 - 6.). В Фармакопее ГДР 7 изд. имеется наряду с макерацией и перколяцией в качестве официального метода для приготовления настоек турбо-экстракция (7, стр.182). О приготовлении водных турбо-извлечений литературных данных еще мало.

Быстрое вращение мешалки вызывает повышение температуры экстракционной жидкости (8). При повышенной температуре

многие вещества растворяются лучше и быстрее и этим улучшается процесс экстрагирования. Для поддержания нужной температуры разработаны специальные экстракционные аппараты (9).

При выполнении данной работы пользовались турбоуставкой размельчителя тканей, скорость вращения мешалки которой составляла 3000 об/мин и 5000 об/мин. Экстракцию проводили как при комнатной температуре, так и горячей водой. Измерялось повышение температуры, вызванное быстрым вращением смеси и снижение температуры, вызванное окружающей средой. Небольшое повышение температуры смеси ($3,2$ - $3,5^{\circ}\text{C}$) (см.график I) при экстрагировании при комнатной температуре (20°C) практически не оказывает влияния на процесс экстрагирования (скорость вращения мешалки 5000 об/мин). Падение температуры горячей воды (от 100° до $44,3^{\circ}\text{C}$ в течение 5 минут и до $43,2^{\circ}\text{C}$ в течение 10 минут) довольно значительно и влияет на процесс экстрагирования отрицательно.

При внедрении в аптечную практику турбо-метода необходимо изолировать экстракционный сосуд от окружающей среды, чтобы препятствовать остыванию экстрагента.

В настоящей работе сравнивалось содержание действующих и экстрактивных веществ водных извлечений листьев толокнянки и корней первоцвета, полученных по прописям Фармакопеи СССР IX изд. (10, стр.259) с содержанием тех же показателей в турбо-извлечениях.

Из новых изданий зарубежных Фармакопеи для сравнительной оценки принята пропись Фармакопеи ГДР 7 изд. (7, стр. 162), действующая с 1 января 1966 г.

Анализу подвергалось и употребляемое растительное сырье. В листьях толокнянки и водных извлечениях из них определяли содержание арбутина, дубильных и экстрактивных веществ (10, стр.208, 736; II); в корнях первоцвета - содержание сапонинов и экстрактивных веществ (10, стр.736; I2).

Вытяжки из листьев толокнянки

Употреблявшиеся листья толокнянки были собраны летом 1967 г. в районе Пыльва Эстонской ССР. Высушеннное сырье измельчалось в мельнице эксцельсиор и просеивалось через фармацевтическое сито № 6 (диам. отв. 1 мм).

При анализе сырья выяснилось, что содержание арбутина в среднем 6,10%, дубильных веществ - 40,20% и экстрактивных веществ - 18,60%.

Вытяжки изготавливались весо-объемным способом в отношении 5,0/100,0.

Вытяжка I - приготавлялась по методу Фармакопеи СССР IX изд., отвар без 10-минутного последовательного настаивания при комнатной температуре, процеживали горячим.

Вытяжка I^a - приготавлялась по общей прописи Фармакопеи для отваров, процеживали после 10-минутного настаивания при комнатной температуре.

Вытяжка 2 - приготавлялась по прописи настоев Фармакопеи, после охлаждения вытяжка процеживалась.

Вытяжка 3 - приготавлялась по прописи Фармакопеи ГДР 7 изд.

Вытяжки 4 и 5 - приготавливались 10-минутным турбо-экстрагированием: 4 - горячей водой, 5 - водой комнатной температуры.

Вытяжки 6 и 7 - приготавливались 5-минутным турбо-экстрагированием: 6 - горячей водой, 7 - водой комнатной температуры.

I. Содержание арбутина в извлечениях

Данные об извлечении арбутина из сырья приведены в диаграмме I. Наибольшее количество арбутина извлекалось при 10-минутном турбо-экстрагировании горячей водой /4/. При 10-минутном турбо-экстрагировании в комнатной температуре арбутина извлекалось немного больше /5/, чем по методу Фармакопеи /I/. 5-минутное экстрагирование турбо-методом дало значительно меньшее содержание арбутина /6 и 7/, чем фармакопейный метод.

Обыкновенный фармакопейный отвар /1а/ и настой /2/ содержали меньше арбутина, но вытяжки, полученные по методу Фармакопеи ГДР 7 изд./3/ содержали почти такое же количество арбутина, как и при турбо-извлечении (10 мин., горячей водой).

2. Содержание дубильных веществ в извлечениях

В диаграмме 2 показаны данные экстрагирования из сырья дубильных веществ. Как видно из диаграммы, самое высокое содержание дубильных веществ в фармакопейном отваре /1/. В остальных вытяжках содержание дубильных веществ меньше. Интересно отметить, что при 10-минутном турбо-экстрагировании водой комнатной температуры дубильные вещества экстрагировались приблизительно в таком же количестве /5/, как и при 5-минутном турбо-экстрагировании горячей водой /6/. Следовательно, при горячем извлекателе получено в течение 5 минут столько же дубильных веществ, сколько при применении холодной воды в течение 10 минут.

График 1

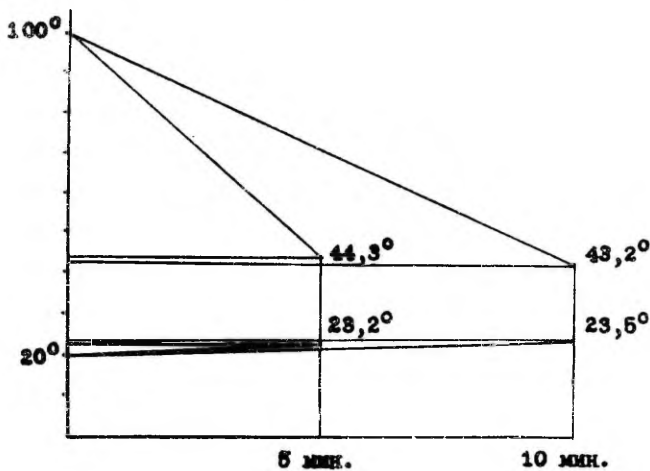
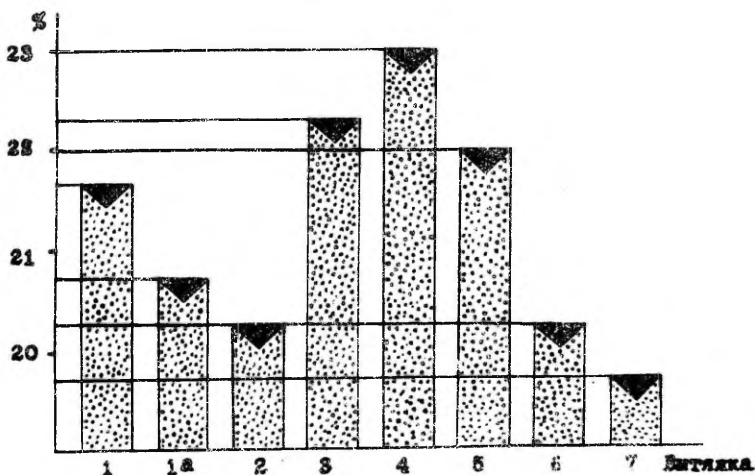


Диаграмма 1



§

Диаграмма 2

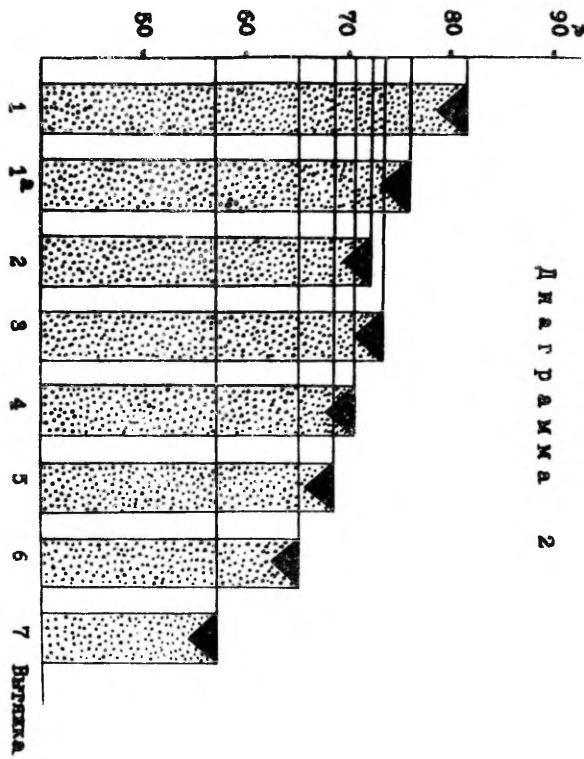
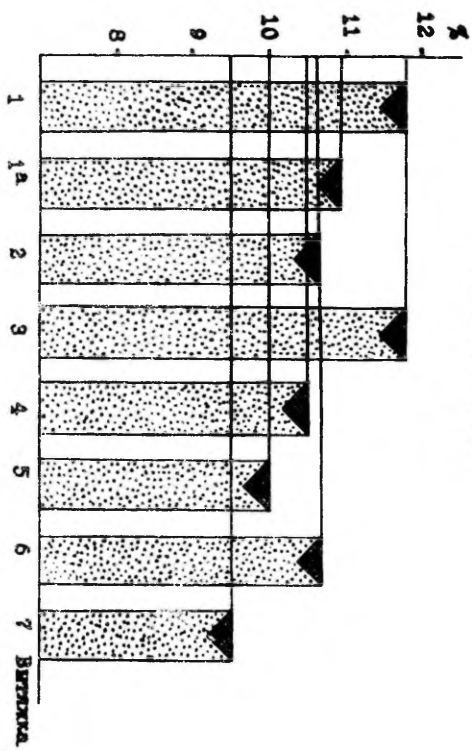


Диаграмма 3



3. Содержание экстрактивных веществ

Общее количество экстрактивных веществ в извлечениях определяли при помощи сухого остатка. Данные изложены в диаграмме 3, которая показывает, что фармакопейный отвар /1/ и извлечение, полученное по методу Фармакопеи ГДР 7 изд./3/ содержали наибольшее количество экстрактивных веществ. Наименьшее количество экстрактивных веществ экстрагируется холодной водой при турбо-экстракции как при 10-минутном /5/, так и при 5-минутном /7/ экстрагировании. В остальных вытяжках содержание экстрактивных веществ почти одинаковое.

При сравнении полученных данных о вытяжках из листьев толокнянки можно сделать следующие выводы: замещение фармакопейных отваров турбо-извлечениями, полученными при 10-минутном экстрагировании горячей водой, дает возможность приготовлять вытяжки, сходные по содержанию, в три раза быстрее.

Вытяжки из корней первоцвета

Используемые корни первоцвета были собраны летом 1967 года в Валгаском районе. Высушенное сырье размельчали и просеивали через фармакопейное сито № 7 (диам. отв. 2 мм).

При анализе сырья выяснилось, что оно содержит около 4,0% сапонинов и 44,0% экстрактивных веществ.

Извлечения приготавливали весо-объемным способом в отношении 3,0/100,0.

Вытяжки I и 2 - приготавливали настоями по методу фармакопеи СССР IX изд.: I - из нерастертого сырья, 2 - из сырья, предварительно сильно растертого в ступке с малым количеством воды.

- Вытяжки 3 и 4 - приготавливали отварами по методу Фармакопеи СССР: 3 - из нерастертого сырья, 4 - из предварительно растертого сырья.
- Вытяжка 5 - приготавливали по методу Фармакопеи ГДР 7 изд.
- Вытяжки 6 и 7 - приготавливали турбо-методом при 5-минутном экстрагировании водой комнатной температуры: 6 - из нерастертого сырья, 7 - из предварительно растертого сырья.
- Вытяжки 8 и 9 - приготавливали турбо-методом при 5-минутном экстрагировании горячей водой: 8 - из нерастертого сырья; 9 - из предварительно растертого сырья.

Турбо-методом экстрагировали только 5 минут при вращении мешалки 3000 об/мин., так как вследствие содержания сапонинов вытяжки сильно пенились. Из-за образования пены контакт между сырьем и извлекателем уменьшался, что препятствовало экстракции.

Для уменьшения или предотвращения образования пены никакими приемами не пользовались, так как решение этого вопроса выходило за рамки настоящей работы.

Содержание сапонинов в извлечении устанавливали определением гемолитического индекса.

I. Данные о содержании сапонинов

Из результатов определения гемолитического индекса видно (график 2), что содержание сапонинов в турбо-извлечениях /6,7,8 и 9/ настолько мало, что провести сравнительные опыты не было возможности. Если вытяжки, полученные по методам Фармакопеи (настои, отвары), в разбавлении 1:10 были пригодны для определения гемолитического индекса, то турбо-вытяжки в такой же концентрации гемолиза не вызывали (нуж-

ная концентрация 1:3 и 1:7).

Из графика 2 видно, что предварительное растирание сырья с извлекателем имеет большое значение как при изготовлении настоев, так и отваров. Наибольшее содержание сапонинов (ГИ=3000) имеется в отваре.

2. Данные о содержании сухого остатка

Данные, приведенные в диаграмме 4, показывают самое высокое содержание сухого остатка в настое /2/ и отваре /4/, приготовленных по методу Фармакопеи СССР IX изд. из предварительно растертого в ступке с малым количеством воды сырья. Содержание сухого остатка в турбо-извлечениях очень низкое /6,7,8 и 9/.

При анализе вытяжек корней первоцвета полученные данные позволяют сделать следующий первоначальный вывод - замена отваров корней первоцвета с турбо-извлечениями невозможна, так как содержание сапонинов и экстрактивных веществ очень низкое.

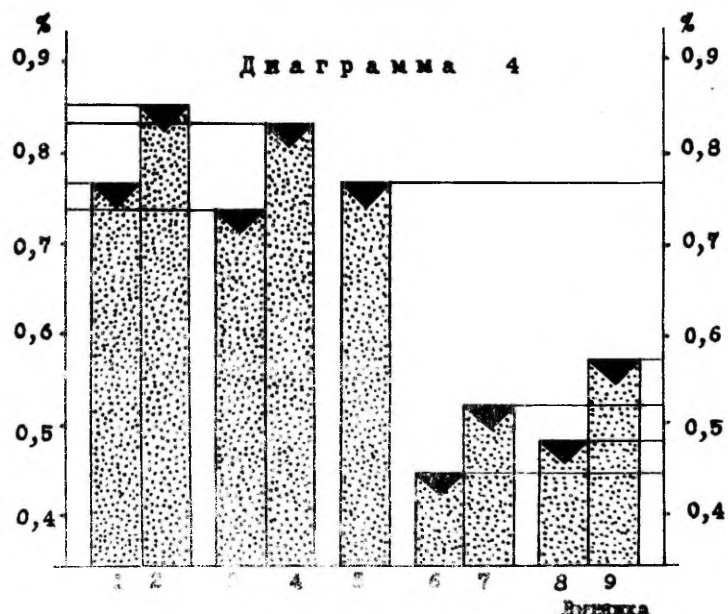
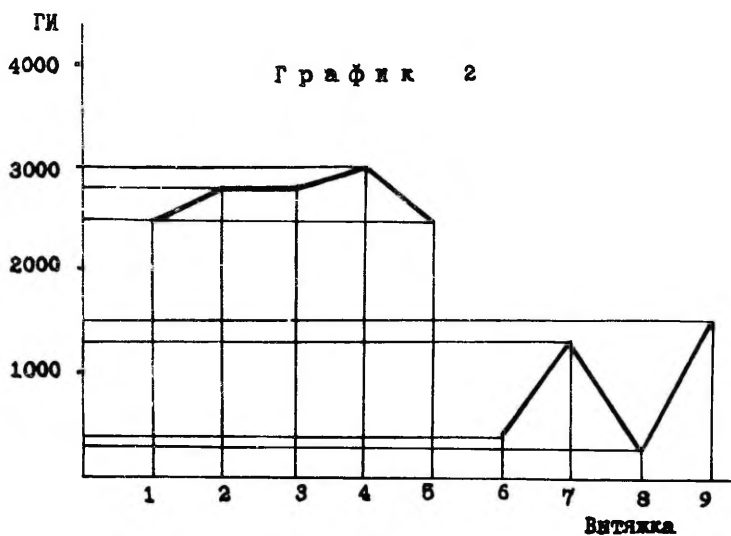
Для выяснения условий экстрагирования сапонин-содержащего сырья необходимо пользоваться экстракционной установкой дополнительной конструкции или добавлением пенозадерживающих веществ, что не входило в задачу настоящей работы.

Приготовление водных турбо-извлечений пока еще мало изучено и требует дальнейших всесторонних исследований.

Выводы

Замещение фармакопейных отваров из листьев толокнянки турбо-извлечениями, полученными при 10-минутном экстрагировании горячей водой, дает возможность приготовлять вытяжки, сходные по содержанию, в три раза быстрее.

Вытяжки из корней первоцвета, полученные турбо-методом, содержат очень мало как экстрактивных веществ, так и сапо-



нимов. Следовательно, экстрагирование сапонин-содержащего сырья турбо-методом требует дальнейшего подробного изучения.

Литература

1. Melichar, M., Rusek, V., Solisch, G. Českosl. Farmacie 1953, 338; 1954, 336; 1955, 512.
2. Громова Н.А. и Розенцвейг П.З. Медицинск.промышлен. СССР, 1965, 2, 42.
3. Boga, U., Daus, K. Pharmazie 1966, 393.
- 4.-5. Idem, Pharmaz. Praxis 1962, 1; 1966, 149.
6. Gstirner, F., Manns, G. (Pharmaz. Ztg. verein. Apotheker-Ztg. 1963, 440), ref.: Pharm. Zentralhalle Deutschland 1963, 798.
7. Ausgewählte Kapitel des Deutschen Arzneibuches für Studierende der Pharmazie. 1967, 162, 182.
- 8.-9. Melichar, M. Pharmazie 1958, 325; 1958, 330.
10. Государственная Фармакопея СССР, IX изд., 1961, 208; 259, 736.
11. Horák, P. Českosl. Farmacie 1956, 149.
12. Tomingas, A. Pharmacia 1934, 8, 197.

**VESIVÄLJATÖMMATISTE VALMISTAMINE TURBO- EHK
KEERISEKSTRAKTSIOONIL**

I osa. Leesikalehtede (Fol. Uvae ursi) ja nurmenukujuurte (Rad. Primulae) väljatömmatised

**M. Veiderpass, L. Kirsch, E. Keich, R. Pääbo,
E. Rebane ja E. Rull**

R e s ü m e e

Leesikalehtede keedise asendamine turbotömmatisega (valmistatud droogi 10-minutisel ekstraheerimisel kuuma veega) võimaldab sama väärtsusega ravimi saamist 3 korda lühema ajaga.

Nurmenukujuurtest aga ekstraheerub turbomeetodil suhteliselt vähe nii ekstraktiivaineid kui ka saponiine (rohke vaht halvendab ekstraheerimistingimus). Seega vajab saponiindroogide vesiväljatömmatiste valmistamine turbomeetodil edaspidist põhjalikumat uurimist.

О ВОЗМОЖНОСТИХ ИСПОЛЬЗОВАНИЯ ЭСТОНСКИХ ГЛИН В ФАРМАЦЕВТИЧЕСКОЙ ПРАКТИКЕ

Сообщение I. Изучение некоторых адсорбирующих свойств глин месторождения Йоссу и Вийвиконна

Н. Вейдерпасс, Я. Кирн, Э. Каск, Э. Киккас, Т. Саар
и Э. Вомм

Изучение природных ресурсов Эстонской ССР с целью выяснения пригодности их для использования в медицине и фармации является весьма актуальным. Местные природные ресурсы изучены еще мало, особенно заслуживает всестороннего внимания и современного исследования минеральное сырье для того, чтобы выяснить подходящие и нужные для фармацевтической практики вещества.

Из минеральных веществ особый интерес представляют глины, имеющие значение не только для народного хозяйства, но и для использования в медицине и фармации.

Общие сведения об использовании глин дает Р.Э.Грим (I, стр.416; 2). Глины применяются главным образом как высушивающие и адсорбирующие вещества. Селективная адсорбция позволяет некоторые глинистые минералы использовать в качестве молекулярных сит. Глины обладают каталитическими, эмульгирующими, супендирующими и стабилизирующими свойствами. Они применяются при очистке многих пищевых продуктов и напитков, как, например, ликеров, вин и винного уксуса, пива, сока сахарного тростника, масел и др., а также при производстве и очистке бензина, вазелина, парафина и др.

Биологически активные бентонитовые глины, т.н. бентобиотики, применяются как добавка к кормам домашних животных и к удобрениям для питания растений. Содержащиеся в некоторых глинах биологически активные питательные вещества увеличивают продуктивность скота и сельскохозяйственных культур.

Глины с успехом применяются для удаления радиоактивных отходов из отработанной воды и растворов, несущих радиоактивные вещества и обладающих высокой биологической токсичностью (I, стр.431). Sr₉₀, Cs₁₃₇ и др. адсорбируются из высокорадиоактивных отходов глинами с последующей фиксацией этих ионов обжигом при высоких температурах (свыше 1000°Ц), при которых происходит остыкление глин и переход радиоактивных веществ в нерастворимое состояние. Таким образом предотвращается растворение радиоактивных веществ и заражение ими окружающей местности.

Уже многие сотни лет глины используются при производстве терапевтических, желудочных и адсорбирующих препаратов (I, стр.452). По-видимому, глины обладают способностью адсорбировать яды и бактерии, которые вызывают понос, рвоту, тошноту и слезы при различных желудочных инфекциях и обволакивать воспаленные слизистые оболочки пищеварительного тракта.

Для внутреннего употребления глины должны быть чистыми, т.е. свободными от примесей тяжелых металлов и других вредных для организма веществ. Обычно глины не содержат мышьяка, свинца и др., а если содержат, то в очень незначительном количестве, но глина, используемая для медицинских целей, должна постоянно подвергаться анализу. Глины для медицинских целей не должны содержать грубых частиц (< 0,01 мм) и не должны придавать неприятного вкуса и запаха препаратам, приготовленным из них.

Глины (например, содержащие аттапульгит) служат противоядием при отравлениях морфином, кокаином, никотином и ипекакуаной. При отравлениях стрихнином и аконитином они менее эффективны, хотя даже и в этих случаях они могут спасти жизнь в комбинации с NaH₂PO₄. Каолиновые суспензии, введенные вместе с противостолбнячной сывороткой, усиливают защиту последней по отношению к столбнячному токсину.

Бентониты введены в состав антигельминтных средств для животных для изгнания или разложения кишечных глистов.

Монтмориллонитовые, аттапульгитовые или каолинитовые глины часто используются для приготовления паст, мазей и примочек для наружного употребления. Из противовоспалительных препаратов особое значение имеют супензионные, гелеобразующие и адсорбирующие свойства этих глинистых минералов. Бентонит используется для получения супензии сульфата бария, применяемой при рентгеновских исследованиях внутренних органов.

При токсикологических анализах используется способность глин к селективной адсорбции для очистки таких веществ как кофеин, кантиридин и сантонин. Некоторые глинистые минералы используются в процессах концентрации и очистки витаминов.

В литературе имеются данные (I) о применении монтмориллонитовых, аттапульгитовых или каолинитовых глин при производстве косметических средств, так как они обеспечивают мягкость, дисперсность, студневидность, эмульсионность, адсорбирующие или другие свойства этих препаратов.

Из вышеизложенного выясняется обширность использования разных глин, и это обстоятельство возбудило интерес к изучению свойств эстонских глин.

Всесторонне и глубоко исследованы и внедрены в практику бентонитовые глины (2-9). В Эстонской ССР бентонитовых глин нет, но местами найден мета-бентонит (10). Так как получение этой глины связано с трудностями и природные запасы ее незначительны, то для исследования были выбраны не метабентонит, а другие глины республики.

Экспериментальная часть

Для исследования свойств эстонских глин летом 1966 года были взяты пробы из месторождения Кунда (камбрий), Йоосу (девон) и Вийвиконна (четвертичная система).

Пробы глин очищали от примесей, сушили, предварительно измельчали, а затем порошковали в шаровой мельнице и просеивали через фармакопейное сито № 2 (размер отверстий шел-

кового сита на свету 0,16 мм - ГОСТ 4403-56, № сита по ГОСТу 38).

Бентонитовую глину "Тиха Асканья" и 5 местных проб подвергали сравнительному изучению. Глины нумеровались: № 1 - бентонитовая глина, № 2 - серая глина Йоссу, № 3 - коричневая глина Йоссу, № 4 - поверхностная глина (светло-серая) Кунда, № 5 - синяя глина Кунда, № 6 - глина Вийвиконна (серовато-коричневая).

Со всеми глинами делали пробы набухания-осаждения. Для этой цели всыпали малыми порциями 2 г порошка глины в 100 мл воды, имеющейся в мерном цилиндре. Следующую порцию добавляли после полного осаждения раньше прибавленной порции. Оставляли на 24 часа. Результаты даны на рис. I.

На основании полученных результатов выбрали две пробы глин - № 2 (Йоссу) и № 6 (Вийвиконна), которые дали особенно плотную и стойкую суспензию - после 2-недельного стояния суспензии сохранили свою первоначальную мутность, что указывает на то, что размеры частиц не превышают 1 мкм (начинаяющееся броуновское движение препятствует осаждению).

Минералогический состав изучаемых глин определяли на кафедре геологии Тартуского государственного университета в минералогическом кабинете с помощью рентгенодифрактометра УРС-50 ИМ, пользуясь мерами частиц ориентированных препаратов около 1 мкм. Из анализа выяснилось, что серая глина месторождения Йоссу состоит главным образом из гидрослюды и каолинита, а глина месторождения Вийвиконна - из гидрослюды и хлорита (встречался еще кварц и другие примеси).

Часть от каждой глины переводили в Na-форму. Для этого глину обрабатывали 10%-ым раствором хлорида натрия и периодически взбалтывали в течение 3 дней. После этого глину освобождали от Cl-иона при помощи декантации водой.

Промытую глину выпаривали на водяной бане, порошковали и нагревали в сушильном шкафу в течение 2 часов при температуре 170°. При нагревании (стерелизации) свойства глины не должны изменяться. Полученные пробы глин в Na-форме испытывали на их набухание-осаждение (см.рис.2). Глина № 2

Рис. 1

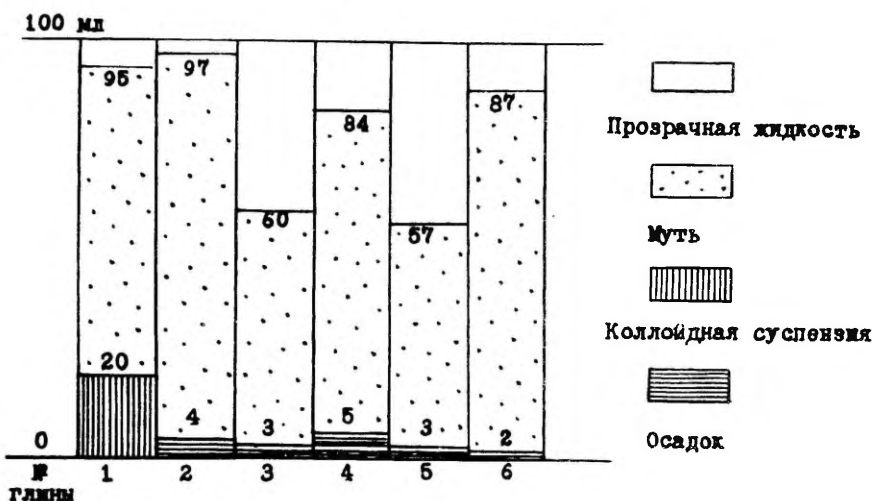
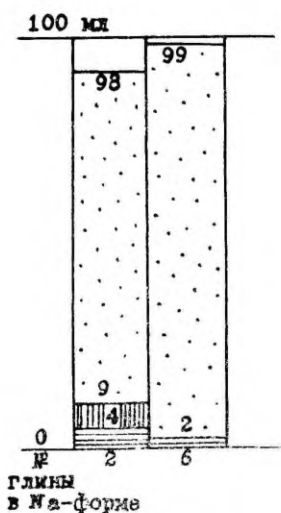


Рис. 2



(Йоссу) в Na -форме дает на поверхности осадка коллоидную суспензию приблизительно в 5 мл. В остальной части жидкости была стойкая густая суспензия. Глина № 6 (Вийви-конна) в Na -форме дает при сравнении с первоначальной формой более плотную и устойчивую суспензию, но не дает такого коллоидного слоя, как предыдущая глина. Глина № 6 и ее суспензии вследствие содержания железа имеют коричневый или желтоватый оттенок.

Для исследования адсорбционной способности глин и их Na -форм проводили предварительные опыты с метиловым синим по методу Фармакопеи СССР IX изд., который предусмотрен для анализа белой глины (*Bolus alba*) (II). Выяснилось, что изучаемые пробы глин полностью адсорбируют краситель. При этом глина осаждается плотным темно-синим осадком, жидкость над осадком становится прозрачной и бесцветной. Значительно отличается осаждение Na -форм изучаемых проб глин. Глина № 2 в Na -форме осаждается медленнее, чем глина № 6 в Na -форме, и полученные суспензии сохраняют стойкость выше 2 дней.

Затем определяли количество адсорбированных экстрактивных веществ из настоек валерьяны, зверобоя и алоэ (*Tinct. Valeriana*, *Tinct. Hyperici*, *Tinct. Aloes*). Для этого настойки валерьяны и зверобоя разбавляли 1:5 с 70° и 40° алкоголем, а настойку алоэ 1:100 с 40° алкоголем.

Полученные растворы как и используемые растворители (70° и 40° алкоголь) взбалтывали в течение 30 минут с изучаемыми пробами глин и после 24-часового осаждения фильтровали. При адсорбции экстрактивных веществ образуются стойкие коагуляты, размеры частиц которых значительно больше, чем размеры частиц глины, вследствие чего осаждение их протекает быстро и полученные системы хорошо фильтруются. Только смеси, содержащие настойку алоэ, различали от предыдущих, так как отделение глины фильтрованием оказалось невозможным и отделить глину удалось лишь при помощи центрифугирования.

В полученных фильтратах и растворах настоек определялся сухой остаток. Выяснилось, что глины адсорбируют часть экстрактивных веществ, содержащихся в изучаемых настойках. 100 г глины № 2 адсорбировали 0,36-1,23 г экстрактивных веществ, 100 г глины № 6 - 0,16-0,95 г (см.табл. I).

Таблица I

Настойка	Глина		Количество адсорбированных веществ в г на 100 г глины
	Йоссу	Вийвиконна	
Настойка валерьяны		1,23	0,89
Настойка зверобоя		0,88	0,95
Настойка алоэ		0,36	0,16

Затем приступили к изучению способности глин адсорбировать также вещества, важные для фармацевтической практики: алкалоиды, дубильные вещества и др. Ниже приводятся данные адсорбции атропина из водных растворов сульфата атропина. Растворы сульфата атропина (точной концентрации) взбалтывались с изучаемыми глинами. В отличие от предыдущих опытов с метиленовым синим и настойками из смесей, содержащих сульфат атропина, глины не осаждались даже при продолжительном стоянии (в течение 2 недель). Для определения неадсорбированного атропина смеси центрифугировали и полученную прозрачную жидкость анализировали фотонефелометрическим методом (12).

Данные адсорбированного атропина приведены в таблице 2.

Как видно из данных проведенных исследований, глина № 2 адсорбирует приблизительно в три раза больше атропина, чем глина № 6.

Выводы

Из проведенных опытов видно, что глины № 2 и № 6 (мес-

Таблица 2

Г л и н а	Количество адсорбированного атропина в г на 100 г глины
Глина № 2 (Йосу)	0,146
Глина № 2 (Йосу) в Na-форме	0,154
Глина № 6 (Вийвиконна)	0,0525
Глина № 6 (Вийвиконна) в Na-форме	0,0430

торождения Йосу и Вийвиконна) обладают выраженными свойствами образования суспензии по сравнению с другими изученными глинами. Адсорбирующие свойства глин № 2 и № 6 различны, причем глина № 2 адсорбирует примерно в 3 раза больше атропина, чем глина № 6, также несколько больше суммы экстрактивных веществ валерьяны и алоз, но меньше экстрактивных веществ зверобоя, чем глина № 6.

Адсорбирующие свойства эстонских глин требуют дальнейшего изучения для выяснения их пригодности к использованию в фармацевтической (как аналитической, так и производственной) практике.

Литература

1. Грим, Р.Э. Минералогия и практическое использование глин. (Перевод с английского В.И.Финько и С.С.Чекина), 1967.
2. Совещание по исследованию глин и глинистых минералов. Тезисы докладов. АН СССР Инст.геол.рудн.месторожд. петрогр., минерал. и геохимии. Москва, 1966.
3. Жакова М.А. Изучение технологий и реологических свойств мазей и их концентратов на основе некоторых бентонитовых глин. Канд.дисс. Тарту, 1965. (См.также - Аптеч.дело, 1964, 5, 23; 1966, 2, 29).

- 4.-5. Zathurecky, L., Mandák, M. Českosl. Farmac. 1957, 7, 375; 10, 599.
- 6.-7. Gruntová, Z., Zathurecky, L., Somoskeöy, G. Ibid. 1960, 5, 217; 6, 282.
8. Благовидова, Ю.А. и Тенцова, А.И. Аптеч. дело, 1961, 6, 64.
9. Сало, Д.Н. и Чигрин, З.Т. Ibid. 1963, 1, 14.
10. Aaloe, A. Eesti Loodus, 1967, 7, 443.
11. Государственная Фармакопея СССР, IX изд. 1961, 88.
12. Kirsch, L. ja Rooma, M. Nõukogude Eesti Tervishoid 1958. Lisa (tead. tööde kogumik). 1959, 85.

EESTI NSV SAVIDE KASUTATAVUS FARMAATSIAS

I osa. Joosu ja Viivikonna savide mõningate adsorptsiooni-
omaduste uurimine

N. Veiderpass, L. Kirsch, E. Kask, E. Kikkas,
T. Saar ja E. Vomm

R e s ü m e e

Joosu (nr. 2) ja Viivikonna (nr. 3) savid annavad väga püsivaid suspensioone, võrreldes teiste Eesti NSV saviga. Adsorptsionivõime on savidel nr. 2 ja nr. 6 erinev. Savi nr. 2 adsorbeerib umbes 3 korda rohkem atropiini kui savi nr. 6, samuti ka mõnevõrra rohkem palderjani ja aaloe ekstraktiivaineid, kuid vähem naistepuna ekstraktiivaineid kui savi nr. 6.

Eesti savide adsorptsioniomaduste uurimine väärrib veel edaspidist jätkamist, selleks et selgitada nende kasutamise võimalusi farmatseutilises analüüsides ja tootmispraktikas.

**NAATRIUM-PARAAMINOSALITSÜLAADI KVANTITATIIVSEST
MÄÄRAMISEST**

V. Hansen, B. Luik, H. Puis

Paraaminosalitsüülhappe-naatriumi (PAS-Na) kvantitaatiivsel määramisel NSVL IX Riikliku Farmakopöa (IX F.) joodkloriidimeetodil (1) saadakse meie tähelepanekute ja praktikast saabuvate signaalide alusel kõiku vaid, mitte-standardseid, ebareaaliseid tulemusi.

Õeldu andis tööke uurida PAS-Na kvantitatiivse määramise mooduseid, leida neist täpsem ja ökonoomsem. Selle eesmärgi saavutamiseks valiti meie seniste kogemuste ja kirjandusandmete alusel järgmised meetodid: 1) dia-sotomeetria (nitritomeetria), 2) argentomeetria, 3) atsidi-meetria, 4) sadestuameetod (järgneva jodomeetriaga), 5) tiitrimine veeta keskkonnas erinevates solventides mittemeete mõõtlahustega ja indikaatoritega. Meetodite ökonoomsuse selgitamiseks arvutati aja- ja materjalide kulu rahalises väärthuses; täpsuse (katsevea) hindamisel võeti aluseks matemaatilis-statistikilis meetodil arvutatud tulemused (8).

Loetletud meetodite uurimisel tehti kõik analüüsides sama preparaadiga. Eelnevalt määratigi preparaadi kvaliteet IX F. järgi. Puhtuse teimadel vastas kasutata tav PAS-Na täielikult IX F. nõuetele. Kvantitatiivse sisalduse hindamisel IX F. joodkloriidimeetodil teostati iga kaalutise puhul 6 - 9 üksiktiitrimist poolmikrobüretist. Saadud andmed (vt. tabel 1) osutusid küll sama kaalutise puhul lähedasteks (hälve

maksimaalselt 2 - 3 %), kuid erinevate kaalutiste määramisel sedavörd hüplikeks ja ebatõenäoliselt kõrgeteks, et nende alusel ei olnud võimalik hinnata preparaadi kvantitatiivset sisaldust.

T a b e l 1

Jrk. nr.	PAS-Na kaalu- tis g	Leitud sisaldus %		Jrk. nr.	PAS-Na kaalu- tis g	Leitud sisaldus %	
		iiksikmää- ramisel	kesk- mine			iiksikmää- ramisel	kesk- mine
1.	0,4490	102,53 103,23 103,23 102,76 104,87 103,93 104,64 103,93 104,40	103,72	5.	0,5070	105,52 109,85 109,85 109,22 110,16 109,95 108,60 110,16 108,18	109,05
2.	0,5152	103,49 103,90 104,41 105,44 104,10 104,82 104,92 103,49 103,49	104,23	6.	0,5304	107,29 106,80 108,29 107,40 106,60 106,60 106,20 107,29 106,69	107,02
3.	0,5489	106,75 106,75 106,18 106,94 106,37 104,73 107,23 105,89 105,28	106,33	7.	0,5054	103,20 102,78 102,57	102,66
4.	0,5766	102,27 103,09 103,18 102,27 102,54 104,46	102,97	8.	0,4552	110,06 112,96 110,87 110,64 111,33 111,33 111,33	111,21

Saadud tulemused on kõrgemad tõenäolisest sisaldusest, sest preparaadi puhtuse ja kristallvee lendumise arvete neid kirjutada ei saa. Kristallvee-sisalduseks oli 17,0%, seega peaks preparaat olema praktiliselt 100%-line, analüüsiga andmetel aga 102,66 ... 111,21%-line.

Järelikult ei võimalda IX F. joodkloriidimeetod PAS-ka kvantitatiivselt analüüsilt saada rahuldavaid tulemusi, misttõttu kirjeldame järgnevas meie eksperimente sobivama meetodi leidmiseks.

1. Diasotomeetria (nitritomeetria)

Võrdlusteks valiti V.S. Eremejeva jt. soovitatud diasotomeetriline meetod (2). Nii sellel kui ka paljude teiste autorite poolt soovitatud diasotomeetrilistel meetoditel esineb üldisi, diasoteerimise kemiamist tingitud hääriavaid puudusi: 1) vajadus järgida temperatuurirežiimi, 2) aeglus (üheks analüüsiks kulub 70 min.) ja 3) ekvivalentpunkt sõltuvus reast tegureist, nagu valitavast indikaatorist, tema hulgast ja lisamise ajast, lisatava soolhappe kontsentratsioonist ja hulgast.

V.S. Eremejeva ja kaasautorite analüüsiga eeskirja muudeti vaid selle võrra, et tavalise büreti asemel kasutati titrimisel poolmikrobüretti. Tulemused on koondatud tabelisse 2.

Üksikkatsete hälve püsib täiesti rahuldavais piirides, ulatudes maksimaalselt 0,5%-le (98,90 - 98,32 %) ja annab statistilisel meetodil arvutatud katseveaks 0,15 %. Indikaatori värvuse muutus ekvivalentpunktis (oranžist kollaseks) pole eriti terav ja nõuab määramisel suurt vilumust.

Ekvivalentpunktiga täpsustamiseks katsetasime mõnede erinevate indikaatoritega ja muutsime nende lisandamise järjestust:

1) lisati algul 4 tilka tropeoliini OO ja ca 2 ml enne ekvivalentpunktia saabumist lisati 2 tilka metüleensini-

se lahust. Oodatud järsku värvuse muutust ei toimumud;

2) lisati endises koguses samu indikaator-lahuseid, kuid vahetult enne tiitrimist. Algul tekkinud roheline värvus muutus juba pärast 3 ml naatriumnitritilahuse lisamist heleroheliseks ja püsis tiitrimise lõpuni;

3) indikaator metüülvioleti suhtes oli üleminek rohe- liselt kollasele jätkjärguline.

T a b e l 2

Katse jrk. nr.	Võetud PAS-Na kaalutis g	Leitud PAS-Na sisaldus	
		g	%
1.	0,2484	0,2442	98,32
2.	0,2510	0,2481	98,84
3.	0,2588	0,2554	98,69
4.	0,2536	0,2503	98,68
5.	0,2490	0,2452	98,43
6.	0,2372	0,2341	98,69
7.	0,2356	0,2319	98,43
8.	0,2418	0,2386	98,69
9.	0,2938	0,2906	98,90
Keskmine sisaldus %			98,63
Maksimaalne hälve			0,58 %
Katsevea %			0,15

Kirjanduses märgitud teiste indikaatoritega ega potentsioometrilise tiitrimisega katseid ei jätkatud diasotomeetrilise meetodi eespool nimetatud üldiste puuduste tõttu.

Meie arvamusel tuleb diasotomeetriat praegusel kujul kasutada vaid ratsionaalsemate analüüsimeetodite puudumisel, vältimatutel juhtudel, ja kui diasotomeetria osutub ratsionaalsemaks teistest meetoditest.

2. Argentomeetria

Määramiseks valiti Th. Boehmi ja G. Horschi soovitatud meetod (3). Iga kaalutise lahjendusest tehti 3 paralleelkatset. Analüüs tulemused esitame tabelis 3.

T a b e l 3

Katse Jrk. nr.	Võetud PAS-Na kaalutis g	Leitud PAS-Na sisaldus			
			g	%	
1.		1,4453		98,83	
2.	1,4628	1,4453	1,4443	98,83	98,75
3.		1,4423		98,60	
4.		1,4625		98,58	
5.	1,4836	1,4661	1,4637	98,82	98,66
6.		1,4625		98,58	
7.		1,4693		98,52	
8.	1,4914	1,4726	1,4704	98,74	98,59
9.		1,4693		98,52	
Keskmine sisaldus %					98,67
Maksimaalne hälve					0,31%
Katsevea %					0,10

Maksimaalne hälve üksikkatsete vahel (vt. tabel 3) oli maksimaalselt vaid 0,31 % ja statistiliselt arvutatud katseviga 0,1 %.

Järelikult on meetod hinnatav täpsuse ja ratsionaalsuse töttu. Ainsaks negatiivseks jooneks on meetodi raken-damisel vältimatu filtreerimisoperatsioon.

Materjalide säästmiseks soovitame Th. Boehmi ja G. Horschi esitatuid eeskirjas muuta ainult PAS-Na lähte-kaalutis poole väiksemaks (1,5 g asemel 0,75 g) ja lahus-tada see 100-ml mõõtekolvis. Filtrimise ja filtraadi esi-

mese osa eemaldamise järel piisab ülejää nud filtraadist kolmeks paralleelkatseks.

3. Atsidimeetria

Neutraliseerimismeetodid - atsidimeetria-alkalimeetria - on teiste kvantitatiivse analüüs moodustega körvutades enamikul juhtudel eelistatavad, kui vaid teimitava aine keemiline iseloom võimaldab nende rakendamist. Ökonomususelt võib erandi moodustada tiitrimine vee ta keskkonnas, mida käsitleme hiljem.

PAS-Na atsidimeetriat vaatles sadestusmeetodi ja argentomeetria kõrval teiste autorite hulgas M.S. Baron (4). Kahjuks ei analüüs autor oma uurimuse tulemusi kriitiliselt ega anna hinnangut üksikutele meetoditele.

Atsidomeetriliselt tiitrisime PAS-Na metüüloranži ja kombineeritud indikaatori (1 tilk metüüloranž + 2 tilka metüleensinise lahust) suhtes (M.S. Baroni poolt kirjeldatud viisil) ja saime järgmised tulemused (vt. tabel 4).

T a b e l 4

Jrk. nr.	Võetud PAS-Na kaalutis g	Leitud PAS-Na sisaldus %			
		indik. metüüloran- ži suhtes	metüüloran- ži suhtes	kombineeritud indik. suhtes	
1.		97,88		99,60	
2.	4,2273	97,99	97,92	99,50	99,53
3.		97,88		99,50	
4.		97,77		99,39	
5.	4,2105	97,52	97,52	99,49	99,46
6.		97,26		99,49	
7.		97,48		99,46	
8.	4,2119	97,43	97,31	99,66	99,53
9.		97,33		99,46	
Keskmine sisaldus %		97,62			99,51
Maksimaalne hälve		0,73 %			0,27%
Katsevea %		0,21			0,07

Kasutades samast kaalutisest valmistatud PAS-Na lahjendust, saadi tiitrimisel indik. metüüloranži manuluse sel keskmiselt 2 % võrra madalam resultaat kui kombineeritud indikaatori puhul. Värvuse muutumine ekvivalentpunktis saabub kombineeritud indikaatori kasutamisel kiiremini, järsemalt ja on paremini fikseeritav kui metüüloranži puhul. Kombineeritud indikaatori manuluse saadakse ka preparaadi tõelisele kvantitatiivsele sisaldusele (vt. lk. 4, argentomeetria) lähedasem protsendiline väärthus. Seega tulub indikaatori valikul eelistada siin kombineeritud indikaatorit.

4. Sadestusmeetod

Tööaja säastu seisukohalt on sadestusmeetodid üldiselt ebaökonomosed sadestamiseks, filtrimiseks ja kontrollkatseks kuluva aja tõttu. Objektiivsete võrdlusandmete saamiseks võeti meetod siiski vaatlusele. PAS-Na lahusest sadestati vasksulfaadi abil PAS-Cu M.S. Baroni (4) eeskirja kohaselt ja saadi tabelis 5 esitatud tulemused.

T a b e l 5

Jrk. nr.	Voetud PAS-Na kaalutis g	Leitud PAS-Na sisaldus %	
1.		99,20	
2.	1,0008	99,20	99,20
3.		99,20	
4.		98,83	
5.	1,9746	98,48	98,66
6.		98,66	
7.		98,64	
8.	1,9750	98,64	98,58
9.		98,46	
Keskmine sisaldus %		98,81	
Maksimaalne hälve		0,74 %	
Katsevea %		0,24	

Kuigi meetod täpsuselt rahuldab, pole ta siiski mänguslikust seisukohast vastuvõetav. Arvutus näitab, et sadestusmeetodi kasutamine on teiste käesolevas töös uuriitud meetoditega võrreldes kõige kulukam, välja arvatud dia-sotomeetria (vt. tabel 8).

5. Tiitrimine veeta keskkonnas

Neutralisatsioonimeetodite valikul eelistatakse esmajoones tiitrimist vesilahustes, sest tiitrimine veeta keskkonnas kätkeb mitmeid negatiivseid tegureid. Viimase puudustena märgime orgaaniliste solventide hindu, nende veetustamist ja veetuna säilitamist, mitmesuunalist ohtlikkust (tule- ja plahvatusoht, toksilisus) ning sageli ka vajalike solventide ja indikaatorite defitsiitsust.

Teiselt poolt on paljude ainete hoppelisus-leelisus sedavõrd väike, et neid pole võimalik vesilahustes tiitrida, ja neil juhtudel oleme sunnitud analüüsiks valima tiitrimise veeta keskkonnas.

Vördlevateks uurimisteks sobiva variandi valik on siin tunduvalt keerukam kui eelmiste meetodite puhul. Tuleb leida sobiv solvent, resp. solventide segu kombinatsioon, segusse kuuluvate solventide hulgeline suhe, sobiv indikaator ja mõõtlahus.

Orgaaniliste hapete soolade tiitrimisel kasutatakse diferentseerivaid ja hoppelisi solvente. Diferentseerivaist valiti alkoholid (metanool, isopropanool, glükool ja dioksaan) või nende kombinatsioonid ning hoppelitest - veeta äädikhape. Mõõtlahusena kasutati 0,1 n perkloorhapet, millega tiitriti erinevate indikaatorite suhtes.

5.1. Katsed isopropanooli+glükooli (1:1) seguga

Mõõtlahusena kasutati 0,1 n perkloorhapet samas solvendis.

1. Katsed indikaator metüülpuna suhtes ei andnud tulemusi, sest värvuse üleminek on jätkjärguline, ebaterav.

2. Tümoolsinise kasutamisel esineb samuti aeglane värvuse muutus, ekvivalentpunkt piirkonnas oranžist roosaks alles mitme tilga perkloorhappega. Värvuse muutus on jälgitav vaid võrdluslahusega kõrvutades ja sedagi ebakindlalt.

3. Tiitrimisel broomfenoolsinise suhtes esinesid ligilähedalt samataolised raskused.

4. Kametüüloranž ja 5) broomkreosoole rohelise ei osutunud sobivaiks.

6. Fenoolftaleini kasutamine ei andnud samuti tulemusi.

Et Santi R. Paliti ja kaasautorite andmeil (5) teravustavad mõned tiitritavale segule väheses koguses lisatavad ainmed ekvivalentpunkt, siis katsetati äsja loetletud indikaatoritega paralleelselt (2 tilka kuni 2 ml) kloroformi ja fenoolilahuse toimet. Seegi võte ei andnud positiivseid tulemusi.

PAS-Na tiitrimisel 0,1 n perkloorhappega isopropanooli+glükooli segus saadi kõigi loetletud indikaatorite suhtes negatiivsed resultandid, mistõttu siinkohal tulemuste arvuli väärtsusi ei esitatud.

5.2. Katsed veeta metanooliga

Th. Boehm ja G. Horsch (3) soovitavad solvendina metanooli, mõõtlahusena 0,1 n perkloorhapet dioksaanis ja indikaatorina tümoolsinist.

Töö ettevalmistamisel ilmnes, et mõõtlahuse valmistamis-

sel 1) jäääb mõõtekdu põhja valge sade ja 2) faktori määramiseks kasutatav naatriumkarbonaat ei lahustu dioksaanis. Seetõttu kasutati tiitrimiseks pärast ööpäevast seisnist sa demelt dekanteeritud mõõtlahust. Faktor määratati tahke ja väheses hulgas vees lahustatud Na_2CO_3 kaalutisega. Tulemused olid mõlemal juhul samad.

PAS-Na analüüsni tulemused esitame tabelis 6.

T a b e l 6

Katse jrk. nr.	Võetud kaalutis g	Leitud PAS-Na sisaldus	
		g	%
1.	0,0484	0,0477	98,64
2.	0,0500	0,0492	98,48
3.	0,0528	0,0522	98,95
4.	0,0482	0,0476	98,83
5.	0,0498	0,0492	98,87
6.	0,0446	0,0438	98,17
7.	0,0464	0,0458	98,74
8.	0,0514	0,0507	98,72
9.	0,0492	0,0497	98,99
Keskmine sisaldus %			98,71
Maksimaalne hälve			0,82 %
Katsevea %			0,19

Tulemused on, nagu tabelist 6 nähtub, stabiilsed, katseviga madal. Kui eelmise segu-solvendi puhul ei saadud ühegi indikaatoriga stabiilseid tulemusi, siis siin on värvuse üleminek järsk (tiitriti küpse virsiku värvuseni).

Meetodi väärust ei tohiks vähendada see asjaolu, et metanol on kuulutatud rangelt arvestatavaks mürgiks.

5.3. Katsed veeta äädikhappega

Katsed veeta äädikhappega tehti järgnevalt: 0,05 g preparaati (täpne kaalutis) lahustati 20 ml-s veeta äädikhappes. Aeglase lahustuvuse tõttu loksutati ca 5 min. Lisati indikaatorina 2 tilka kristallvioleti veeta-äädikhappelahust ja tiitriti 0,1 n perkloorhappe veeta-äädikhappeli se lahusega mõõdukas tempes kuni sinise värvuse ilmumiseni. Seismisel muutub värvus roheliseks, mistõttu pole soovitav liiga aeglaselt tiitrida.

Tulemused (vt. tabel 7) olid niivõrd head, et meetodit võib eelistada kõigile eespool kirjeldatud veeta keskkonnas tiitrimise meetoditele ja nende variantidele (välja arvatud p. 5.2, kus täpsus on küll suurem, kuid nii metanool kui ka dioksaan on äädikhappest siiski ohtlikumad).

T a b e l 7

Katse jrk. nr.	Võetud kaalutis g	Leitud PAS-Na sisaldus	
		g	%
1.	0,0454	0,0453	99,76
2.	0,0482	0,0482	99,93
3.	0,0486	0,0490	100,86
4.	0,0480	0,0478	99,68
5.	0,0398	0,0401	100,67
6.	0,0452	0,0451	99,95
7.	0,0520	0,0516	99,18
8.	0,0442	0,0439	99,33
9.	0,0460	0,0460	100,07
Keskmine sisaldus %			99,94
Maksimaalne hälve			1,68 %
Katsevea %			0,42

6. U u r i t u d m e e t o d i t e ö k o n o o m i k a

Kõigi meetodite rakendamisel arvestati materjalide ja tööaja kulu.(Tööaeg kronometreeriti.) Materjalid hinnati kehtivate preiskurantide alusel, tööaja kulu kalkuleeriti rahalises väärthuses analüütiku palgamäära alusel. Materjalide ja tööaja kulu on arvestatud ühe katse kohta ning esitustabelis 8. Kulude kalkuleerimisel pole arvestatud eeltöödeks (reaktiiv-, indikaator- ja mõõtlahuste valmistamine) kuluvat aega.

T a b e l 8

Meetodi nimetus	Tööaja kulu		Materjali kulu kop.	Kokku kop.
	min.	kop.		
Joodkloriidimeetod	25	24,5	1,6	26,1
Diasotomeetria	70	68,6	0,3	68,9
Argentomeetria	25	24,5	1,6	26,1
Atsidimeetria				
a) metüüloranžiga	25	24,5	6,9	31,4
b) segaindikaatoriga	20	19,6	6,9	26,5
Sadestusmeetod	50	49,0	6,7	55,7
Tiitrimine veeta keskkonnas				
a) metanoolis	20	19,6	3,5	23,1
b) äädikhappes	25	24,5	3,6	28,1

Kulude kalkulatsioonist ilmneb, et meetodi kulukus sõltub peamiselt töömahukusest ja suhteliselt tähtsusest määrab materjalidest. Materjalide kulus omakorda moodustab olulisema osa analüüsitava aine kogus (tavalise atsidimeetria puhul suurem kui teiste meetodite juures!).

Uuritud meetodeist osutub töömahukamaks ja seega kõige kallimaks diasotomeetria ning temale järgnevana sades-tusmeetod. Tööaja kulu (20-25 min.) ülejäänud meetodite kasutamisel ja seega üldmaksumus on ligilähedaselt võrd-sed (23,1 kop. tiitrimisel veeta metanoolis kuni 31,4 kop. atsidimeetrilisel tiitrimisel metüüloranži suhtes).

7. Arutlus ja kokkuvõte

PAS-Na kvantitatiivsel analüüsил pole otstarbekas ka-sutada diasotomeetriat (nitrotomeetriat) töömahukuse ja sel-lega seoses kõrge maksumuse tõttu. Samuti puudub diasoto-meetrias hea indikaator. Ka meie katsed mõnede siseindi-kaatoritega ei andnud tulemusi. PAS-Na nitritomeetriat on küll üsna põhjalikult uuritud (näit. isegi 1967. a. aval-datud L.N. Guseva kandidaadiväitekirjas (6)), kuid radi-kaalsemaid parandusettepanekuid pole tehtud. Sellega seo-ses pole mõistetav, miks uude, NSVL X-sse Farmakopöasse (7) on võetud ikkagi PAS-Na nitritomeetria.

Tavalise atsidimeetrilise meetodi kasutamisel annab kombineeritud indikaator paremaid tulemusi kui metüül-oranž. Sadestusmeetodi täpsus küll rahuldas, kuid majan-duslikust seisukohast on ta teistest käesolevas töös vaa-deldud meetoditest kulukam.

Tiitrimist veeta keskkonnas uuriti erinevate solven-tide või nende segude ja mitmete indikaatorite suhtes. Kat-sed isopropanooli+glükooli seguga (1:1) ei andnud 6 erine-va indikaatoriga ja nende värvuse ülemineku teravustami-seks lisandatud aineteega rahuldavaid resulataate. Katsed tiitrida PAS-Na metanoolis ja äädikhappes andsid peaagugu võrdsest häid tulemusi. Metanooli ohtlikkuse tõttu võib eelistada solvendina äädikhappet.

Kõrvutades PAS-Na kvantitatiivse analüüsi metodite ratsionaalsust usaldatavuse, täpsuse ja maksumuse alusel, osutuvad uuritud meetoditest ja nende variantidest ligi-

lähedalt võrdselt hinnatavaiks argentomeetria, atsidimeetria kombineeritud indikaatori suhtes ja tiitrimine veeta äädikhappes.

K i r j a n d u s

- I. Государственная фармакопея IX. Москва, I96I, стр.3II-3I2.
2. Еремеева, В.С., Поройкова, Л.Н., Петрова, Р.И., Морунова, З.С. и Сивицкая, О.К. - Аптечное дело, I960, № 3, с. 60-63.
3. Boehm, Th. und Horsch, G. - Pharmaz. Zentralhalle 92 (1953), S.128.
4. Барон, М.С. - Аптечное дело, I955, № 5, с. I7-I9.
5. Палит Шанти Р., Дас Мехр Натх., Сомаяджулу Г.Р. - Неводное титрование (перевод с английского). Москва, I958, стр. 9-I7, 43-52.
6. Гусева, Л.Н. - Использование внутренних индикаторов при нитритометрическом определении фармацевтических препаратов. Москва, I967 (канд. дисс.).
7. Государственная фармакопея X. Москва, I968, стр. 448-450.
8. Александровский, В.Б. и др. Физико-химические методы анализа. Москва, I964, стр. 24-42.

КОЛИЧЕСТВЕННЫЙ АНАЛИЗ НАТРИЯ ПАРА-АМИНОСАЛИЦИЛАТА

В.Хансен, Б.Луйк, Х.Пумс

Резюме

Для количественного определения пара-аминосалицилата натрия (ПАСК - Na) нецелесообразно применять диазометрию (нитритометрию) из-за трудоемкости и дороговизны. Кроме того, нет хорошего индикатора для этого метода. Наши опыты с некоторыми внутренними индикаторами также не дали результатов. Хотя нитритометрия ПАСК - Na и изучалась довольно основательно (например, в кандидатской диссертации Гусева Л.Н., 1967 г.) радикальных предложений сделано не было. В связи с этим непонятно, почему в новую Государственную фармакопею СССР X издания все-таки введен нитритометрический метод?!

При применении ацидометрического метода комбинированный индикатор дает лучшие результаты, чем метилоранж. Несмотря на то, что точность метода осаждения вполне удовлетворяет, он все же менее экономичен, чем другие рассмотренные в данной работе методы.

Титрование в безводной среде изучалось с различными растворителями и их смесями и в присутствии различных индикаторов. Опыты со смесью изопропанол + гликоль (1:1) с 6 различными индикаторами и веществами, добавленными для улучшения перехода окраски не дали удовлетворительных результатов. Опыты титрования ПАСК- Na в метаноле и в уксусной кислоте дали почти одинаково хорошие результаты. Из-за ядовитости метанола можно предпочесть в качестве растворителя уксусную кислоту.

Сравнивая рациональность методов количественного анализа ПАСК- Na по их достоверности, точности и стоимости, оказалось, что из исследованных методов и их вариантов равнозначными были аргентометрия, ацидометрия с комбинированным индикатором и титрование в безводной уксусной кислоте.

СРАВНИТЕЛЬНОЕ ИЗУЧЕНИЕ МЕТОДОВ РАСЩЕПЛЕНИЯ ФОЛИЕВОЙ КИСЛОТЫ В ПАРА-АМИНОБЕНЗОЙНУЮ КИСЛОТУ

И.Крузе, А.Кикас, Р.Планк, Т.Хинрикус

Для анализа фолиевой кислоты применяются, главным образом, методы, основанные на расщеплении фолиевой кислоты восстановлением цинковой пылью (1,2), ртутно-цинковой амальгамой (3) или окислением перманганатом калия (4) до п-амиnobензойной кислоты, которая после diazотирования сочетается с N-(I-нафтил)-этилендиаминдигидрохлоридом. Интенсивность образующейся фиолетовой окраски пропорциональна концентрации и измеряется фотоэлектроколориметрически или спектрофотометрически.

В литературе встречаются противоречивые данные об объективности того или другого метода. Метод окисления перманганатом калия S.S.Schiaffino, J.M.Webb, H.W.Loy и O.L.Kline (5), а также O.Pelletier и J.A.Campbell (6) характеризуют как достоверный. Последние, пользуясь этим методом, провели определение фолиевой кислоты в поливитаминных препаратах. А.М. Алиев (7,8) получил при окислении перманганатом калия заниженные результаты по сравнению с методом восстановления цинковой пылью и предполагает, что в этих условиях не происходит полного количественного превращения фолиевой кислоты в п-амиnobензойную. Также имеются данные, что результаты, полученные при восстановлении ртутно-цинковой амальгамой, на 1,1 - 2,8% выше данных, получаемых при восстановлении цинковой пылью (9).

Задачей настоящей работы было путем сравнения трех перечисленных методов выяснить глубину процесса расщепления фолиевой кислоты в п-амиnobензойную кислоту.

Анализировались поступившие в аптечную сеть препараты фолиевой кислоты различного качества.

Сначала проводили анализ содержания влаги в препаратах (преп. № 1 - 8,0%, № 2 - 7,7%, № 3 - 8,0%, № 4 - 7,3% влаги) и определение содержания свободной α -аминобензоилглутаминовой кислоты (результаты приведены в табл. I). Оптическую плотность растворов измеряли на фотозлектроколориметре с зеленым светофильтром 550 м μ в кюветах с толщиной слоя 3 см.

В первой части настоящей работы приводятся результаты сравнительного определения различных образцов фолиевой кислоты (связанной α -аминобензоилглутаминовой кислоты) с помощью восстановления цинковой пылью и ртутью-цинковой амальгамой.

Результаты опытов вычислялись соответственно показателям оптической плотности с калибровочной кривой, для составления которой была использована α -аминобензоильная кислота, очищенная активированным углем и многократно перекристаллизованная из этилового спирта.

Для расщепления фолиевой кислоты использовали высококачественную цинковую пыль. Ртутьно-цинковая амальгама изготавлялась по инструкции Британской Фармакопеи (3, стр. 805). Анализ проводили по инструкции МРТУ 467-62 (I), варьируя только восстановитель.

Результаты анализа приведены в табл. 2. Как выясняется из данных, в обоих случаях при расщеплении фолиевой кислоты были получены практически совпадающие результаты. В 1 и 3 препаратах фолиевой кислоты при восстановлении ртутьно-цинковой амальгамой были получены несколько более высокие средние показатели. Относительная погрешность метода при восстановлении цинковой пылью составляет от $\pm 1,49$ до $\pm 3,26\%$, при восстановлении ртутьно-цинковой амальгамой от $\pm 1,35$ до $\pm 3,84\%$.

Чтобы выяснить значение степени измельченности используемого для восстановления цинка, была проведена серия сравнительных опытов с цинковой пылью и крупным порошком активированного цинка. Последний брался в 10-кратном количестве по сравнению с цинковой пылью. При восстановлении

Таблица I

Содержание свободной парааминобензоилглютаминовой
кислоты в фолиевой кислоте

Препарат №	Найдено свободной парааминобензоилглютаминовой кислоты (в %)	
	на естественную влажность	на сухое вещество
I	8,20	8,91
	8,22	8,93
	5,12	5,57
	7,17	7,79
	6,61	7,18
	5,12	5,57
2	4,42	4,79
	5,24	5,68
	5,09	5,51
	4,27	4,63
	5,09	5,51
	4,48	4,85
3	3,67	3,99
	3,08	3,35
	4,47	4,86
	3,67	3,99
	3,08	3,35
	3,67	3,99
4	3,91	4,22
	3,80	4,10
	4,16	4,49
	4,32	4,66
	3,73	4,02
	4,41	4,76

Таблица 2

9-

Анализ фолиевой кислоты методом восстановления цинковой пылью и
ртутно-цинковой амальгамой

Препар- ат №	Найдено при вос- становлении цинко- вой пылью (в %)		Данные статистической обработки					Найдено при вос- становлении ртут- но-цинковой амаль- гамой (в %)		Данные статистической обработки				
	на есте- ственную влажность		\bar{x}	S	$S_{\bar{x}}$	ϵ_a	$\epsilon_{отн. \%}$	на есте- ственную влажность		\bar{x}	S	$S_{\bar{x}}$	ϵ_a	$\epsilon_{отн. \%}$
	на сухое вещество	влажность						на сухое вещество	влажность					
1.	81,90 83,62 78,69 85,26 79,51 80,31 $\bar{X}=81,55$	89,02 90,89 85,53 92,67 86,42 87,29 $\bar{X}=88,64$	81,55	2,53	I,03	2,66	3,26	82,05 84,54 86,20 79,56 86,48 87,86 82,05 $\bar{X}=83,71$	89,18 91,89 93,70 86,48 95,50 89,18 $\bar{X}=90,99$	83,71	3,06	I,25	3,21	3,84
2.	83,06 84,04 84,04 86,49 85,47 84,86 $\bar{X}=84,66$	89,99 91,05 91,05 93,71 92,60 91,94 $\bar{X}=91,72$	84,66	I,21	0,50	I,27	I,51	85,47 84,86 84,88 85,00 82,41 84,74 $\bar{X}=84,56$	92,60 91,94 91,96 92,09 89,28 91,81 $\bar{X}=91,61$	84,56	I,08	0,44	I,14	I,35
3.	85,89 85,92 85,92 86,09 82,93 85,16 $\bar{X}=85,32$	93,36 93,39 93,39 93,58 90,14 92,57 $\bar{X}=92,74$	85,32	I,21	0,50	I,27	I,49	89,74 84,23 85,08 89,33 85,93 89,33 $\bar{X}=87,27$	97,54 91,55 92,48 97,10 93,40 97,10 $\bar{X}=94,86$	87,27	2,47	1,01	2,59	2,97

раствора фолиевой кислоты одинаковой концентрации (0,1 мг/мл) с использованием крупного порошка цинка были получены показатели оптической плотности в среднем на 62% ниже, чем при цинковой пыли (см.табл.3), несмотря на частое взбалтывание и энергичное выделение водорода.

Поэтому, при восстановлении цинковой пылью надо учитывать, что реакция восстановления зависит от качества применяемой цинковой пыли и не всегда протекает количественно.

Недостатком метода восстановления ртутно-цинковой амальгамой является то, что получение амальгамы связано с большими трудностями.

Довольно значительная часть опытов не удалась из-за возникновения интенсивного фиолетово-красного цвета вместо фиолетового. Для выявления причин неудачи условия опыта варьировались. Выяснилось, что причиной неудачи является неполное выделение двуокиси азота из раствора в течение 5 минут после прибавления мочевины. Поэтому выражение в инструкции "... прибавляют по 1 мл 12%-ного водного раствора мочевины, перемешивают и оставляют на 5 минут" следовало бы заменить на "... прибавляют по 1 мл 12%-ного водного раствора мочевины и взбалтывают до полного удаления двуокиси азота (до прекращения выделения пузырьков газа").

Во второй части работы приводятся результаты определения фолиевой кислоты с помощью восстановления цинковой пылью и окисления с раствором перманганата калия. Ввиду того, что метод ХУI фармакопеи США (4) нельзя было использовать из-за отсутствия сульфамата аммония и подходящего препарата фолиевой кислоты в качестве стандарта, была разработана модификация этого метода, применяя вместо сульфамата аммония мочевину, вместо стандарта фолиевой кислоты стандарт *n*-аминобензойной кислоты, и чтобы результаты были бы сравнимы с описанными выше методами и применимы в практике контрольного анализа, спектрофотометр был заменен фотоэлектроколориметром. Учитывая достаточную стабильность образовавшегося азокрасителя в водной среде, его экстрагирование в слой изобутилового спирта не проводилось.

Таблица 3

Сравнительное определение оптической плотности раствора при восстановлении цинковой пылью и крупным порошком цинка

О п т и ч е с к а я п л о т н о с т ь , D	
При восстановлении цинко- вой пылью	При восстановлении крупным порошком цинка
0,435	0,153
0,433	0,170
0,430	0,165
0,420	0,170
0,445	0,173
0,441	0,148
В среднем	В среднем
0,434	0,163

Между показателями оптической плотности и концентрацией наблюдалась прямолинейная зависимость в интервале концентрации *n*-аминобензойной кислоты 0,001 - 0,04 мг/20 мл.

Определения мы проводили по следующей методике:

Приготовление стандартного раствора *n*-аминобензойной кислоты. 0,0500 г *n*-аминобензойной кислоты (т.пл.186-187°, с содержанием не ниже 99%) отвешивают в бюкс и после растворения в спирте раствор количественно переносят в мерную колбу емкостью 50 мл, бюкс промывают несколько раз спиртом (общее количество спирта 25 мл), раствор доводят в колбе водой до метки и перемешивают. 1 мл полученного раствора помещают в мерную колбу емкостью 100 мл, доводят до метки 3% раствором двузамещенного калия фосфата и перемешивают. В 1 мл раствора содержится 0,01 мг *n*-аминобензойной кислоты.

Определение свободной и связанной *n*-аминобензоил-глутаминовой кислоты.

Точную навеску препарата (0,05 г) растворяют в 0,1 н. раствора едкого натра. Раствор количественно переносят в мерную колбу емкостью 50 мл, несколько раз промывают 0,1 н. раствором едкого натра, сливая промывную жидкость в ту же колбу; объем раствора доводят 0,1 н. раствором едкого натра до метки и перемешивают. Из полученного раствора 1 мл помещают в мерную колбу емкостью 100 мл и объем доводят 3% раствором двузамещенного калия фосфата до метки и перемешивают.

В 3 колбы емкостью 50 мл, отмеченные 1,2,3 соответственно, помещают пипеткой по 2 мл приготовленного раствора. В первую колбу добавляют 0,5 мл стандартного раствора *n*-аминобензойной кислоты и доводят объем в каждой колбе до 5 мл 3% раствором двузамещенного калия фосфата и перемешивают. В первую и во вторую колбы добавляют по 1 мл 0,4% раствора калия перманганата, перемешивают и оставляют на 2-3 минуты. В третью колбу добавляют 1 мл воды. Затем по-

ступают одинаково со всеми растворами. В каждую колбу добавляют по 1 мл 2% раствора нитрита натрия и по 2 мл 8,3% соляной кислоты, перемешивают и оставляют на 2 минуты. После этого в каждую колбу прибавляют по 1,5 мл 20% раствора мочевины и взбалтывают до полного удаления двуокиси азота. Затем в каждую колбу добавляют по 1 мл 0,1% водного раствора N-(I-нафтил)-этилендиамина дигидрохлорида, 8,5 мл воды и перемешивают. Через 10 минут измеряют оптическую плотность растворов на электрофотоколориметре с зеленым светофильтром 550 м μ в кюветах с толщиной слоя 3 см.

Вычисление содержания фолиевой кислоты в препарате

Содержание фолиевой кислоты в препарате в процентах (x) вычисляют по формуле:

$$x = \frac{(D_2 - D_3) \cdot 0,005 \cdot 3,22 \cdot 50 \cdot 100 \cdot 100}{(D_1 - D_2) \cdot a \cdot 1 \cdot 2 \cdot 1000}$$

где D_2 - оптическая плотность раствора, содержащего только исследуемый препарат (колба 2);

D_1 - оптическая плотность раствора, содержащего стандартный раствор (колба 1);

D_3 - оптическая плотность раствора без перманганата калия (соответствует содержащейся в препарате свободной п-аминобензоилглутаминовой кислоте) (колба 3);

0,005 - количество мг п-аминобензойной кислоты, содержащегося во взятом количестве стандартного раствора;

a - навеска в г;

3,22 - фактор пересчета п-аминобензойной кислоты на фолиевую;

50 - объем первого разведения, в мл;

100 - объем второго разведения, в мл;

- 1 - количество раствора первого разведения, взятое для второго разведения, в мл;
 - 2 - количество раствора второго разведения, взятое на определение, в мл;
- 100 - пересчет в %;
- 1000 - пересчет в г.

После сокращения формула приобретает следующий вид:

$$x = \frac{(D_2 - D_3) \cdot 1,61 \cdot 2,5}{(D_1 - D_2) \cdot a}$$

Результаты определений приведены в табл.4, откуда выявляется, что при обоих методах расщепления фолиевой кислоты были получены практически совпадающие результаты. Относительная погрешность метода при восстановлении цинковой пылью составляет от $\pm 2,26$ до $\pm 3,26\%$ (выше ср. $\pm 1,49 - 3,26\%$), при окислении с раствором перманганата калия от $\pm 1,78$ до $\pm 2,74\%$.

Полученные результаты позволяют сделать вывод, что расщепление фолиевой кислоты с раствором перманганата калия происходит в данных условиях количественно. При указанном методе для анализа в целом потребуется 70 минут, т.е. на 20 минут меньше, чем при цинковой пыли, и на 30 минут меньше, чем с ртутно-цинковой амальгамой.

Учитывая возможность того, что в случае применения цинковой пыли восстановление может происходить не количественно, в зависимости от качества цинковой пыли, и принимая во внимание сложность изготовления ртутно-цинковой амальгамы, нужно предпочесть метод расщепления фолиевой кислоты окислением перманганатом калия как объективный, более быстрый и простой для выполнения.

При проведении анализов колориметрическими методами нужно учитывать следующее:

Таблица 4

Анализ фолиевой кислоты методом восстановления цинковой
пылью и окисления перманганатом калия

Препа- рат №	Найдено при восста- новлении цинковой пылью(в %)		Данные статистической обра- ботки					Найдено при окис- лении перга- ната калия (в %)		Данные статистической обра- ботки				
	на есте- ственную влажность	на сухое вещество	\bar{x}	S	$S_{\bar{x}}$	ϵ_{α}	$\epsilon_{\text{отн.}} \%$	на естес- ственную влажность	на су- хое ве- щество	\bar{x}	S	$S_{\bar{x}}$	ϵ_{α}	$\epsilon_{\text{отн.}} \%$
I.	81,90 83,62 78,69 85,26 79,51 80,31	89,02 90,89 85,53 92,67 86,42 87,29	81,55	2,53	1,03	2,66	3,26	79,93 84,79 80,36 84,33 82,56 80,41	86,88 92,16 87,35 91,66 89,74 87,40	82,06	2,15	0,88	2,25	2,74
	$\bar{x}=81,55$	$\bar{x}=88,64$						$\bar{x}=82,06$	$\bar{x}=89,20$					
4.	88,90 86,49 87,26 91,52 90,40 88,04	95,90 93,30 94,73 98,73 97,52 94,97	88,77	1,91	0,78	2,01	2,26	88,35 89,39 86,51 91,13 88,60 89,12	95,31 96,43 93,32 98,31 95,58 96,14	88,85	1,51	0,62	1,58	1,77
	$\bar{x}=88,77$	$\bar{x}=93,76$						$\bar{x}=88,85$	$\bar{x}=95,85$					

1) Содержание свободной α -аминобензоилглютаминовой кислоты следует определять непосредственно после растворения фолиевой кислоты в 0,1 н. растворе едкого натра, ибо в противном случае, вследствие расщепления фолиевой кислоты, данные о содержании свободной кислоты могут оказаться больше действительных.

2) Нужно применять очень мелкую и высококачественную цинковую пыль.

3) Использовать свежеизготовленные растворы нитрита натрия и N -(I-нафтил)-этилендиамина дигидрохлорида.

4) После прибавления раствора мочевины следует взвешивать до полного удаления двуокиси азота.

Выводы

1) Проведено сравнительное изучение методов расщепления фолиевой кислоты в α -аминобензойную, основанных на восстановлении цинковой пылью или ртутьно-цинковой амальгамой в кислой среде или на окислении в слабо щелочном растворе с раствором перманганата калия.

2) Все три метода дают практически совпадающие результаты.

3) Для колориметрического определения фолиевой кислоты предлагается модификация метода окисления раствором перманганата калия, который можно проводить проще и быстрее, чем восстановление цинковой пылью или ртутьно-цинковой амальгамой.

Литература

1. Межреспубликанские технические условия на лекарственные средства. М., 1963, № 2, с.9.
2. Девяткин, В.А. Методы химического анализа в производстве витаминов. М., 1964, с.201.

3. British Pharmacopeia. London, 1958, p. 278, p. 805.
4. The Pharmacopeia of the United States of America, XVI. Easton, 1960, p. 898.
5. Schiaffino, S.S., Webb, J.M., Loy, H.W., Kline, O.L. J. Am. Pharm. Ass., 1959, vol. 48, p. 236.
6. Pelletier, O., Campbell, J.A. J. of Pharmac. Sciences, 1961, vol. 50, p. 208.
7. Аннеев, А.М. Аптечное дело, 1963, № 6, с.40.
8. Он же. Исследование в области фотометрии препаратов витаминов группы "В". Автореф. докт.дисс., М., 1964.
9. Kaselis, R.A. et al. Analytic. Chem., 1951, vol. 23, p. 756.

FOOLHAPPE P-AMINOBENSOEHAPPEKS LAGUNDAMISE ERINEVATE MEETODITE VÖRDLEV UURIMUS

I. Kruse, A. Kikas, R. Plank, T. Hinrikus

R e s ü m e e

1. Uuriti võrdlevalt foolhappe p-aminobensoehappeks lagundamise erinevaid meetodeid, mis baseeruvad foolhappe taandamisel hoppelises keskkonnas tsinktolmu või tsinkamalgaaamiga või oksüdeerimisel nõrgalt leeliselises keskkonnas kaaliumpermanganaadi lühusega.

2. Kõik kolm meetodit andsid praktiliselt kokkulangavaid resultaate. Tsinktolmuga lagundades saadi meetodi suhteliseks veaks $\pm 1,5 - \pm 3,3\%$, tsinkamalgami puhul $\pm 1,4 - \pm 3,8\%$ ja kaaliumpermanganaadi puhul $\pm 1,8 - \pm 2,7\%$.

3. Foolhappe kolorimeetriliseks määramiseks esitatakse kaaliumppermanganaadimeetodi modifikatsioon, mis on täpsem, lihtsam ja kiirem võrreldes tsinktolmu- või tsinkamalgaaamimeetodiga.

FOOLHAPPE KOLORIMEETRILISE JA POLAROGRAAFILISE ANALÜÜSI MEETODITE VÖRDLEV UURIMUS

I. Kruse

Foolhappe kvantitatiivseks määramiseks polüvitamiin-preparaatides ja bioloogilistes materjalides kasutatakse sagedamini füüsikalisi-keemilisi analüüsimeetodeid, eriti fotokolorimeetriat (1, 2, 3, 4), spektrofotomeetriat (5, 6, 7, 8) ja fluoromeetriat (1, 9, 10). Kuigi tundlikkuselt ületab fluoromeetriline meetod paljukordsest kolorimeetriise meetodi, eelistatakse farmatseutiliste preparaatide analüüsiks siiski viimast.

Kolorimeetrilised analüüsimeetodid baseeruvad kas foolhappe taandamisel soolhappelises lahuses tsinktolmu (1, 2, 3, 4) või tsinkamalgamiga (5) või nõrgalt leeliselises keskkonnas kaariumpermanganaadilahuse (6, 7, 8) toimel oksüdeerimisel vabaneva p-aminobensoehappe diastereimisel ja tekkinud diasööhendi paaristamisel N-(1-nafüül)-etüleendiamindihüdrokloriidilahusega ammooniumsulfamaadi (5, 6, 7) või karbamiidi (1, 2, 3, 4) juuresolekul. Tekkinud asööhendi värvib lahuse violetseks. Kontsentratsiooniga proporsionaalselt värvuse intensiivsust mõõdetakse otse fotolektrokokolorimeetriselt (1, 2, 3, 4) või spektrofotomeetriselt, kui otaeksite (5, 8) või pärast asööhendi väljaloksutamist isobutüülelkohli (6, 7) $550 \text{ } \mu\text{m}$ juures.

Et foolhappe kolorimetriiliseks määramiseks on esitatud mitmeid meetodeid, siis ratsionaal-

sema selgitamiseks võrreldi neid omavahel. Meil kasutusel olevaist meetoditest osutus kõige usaldatavamaks Üleliidulise Vitaminide Teadusliku Uurimise Instituudi poolt esitatud (4). Üleliidulise Keemilis-Farmaseutilise Teadusliku Uurimise Instituudi poolt esitatud meetodi eeskiri aga sisaldab vigu, mis põhjustavad analüüsiks ekslikke resultaate.

Polarograafiliseks foolhappe kvantitatiivseks määramiseks on samuti esitatud mitmeid mooduseid. Ülevaate neist esitavad P. Zuman ja M. Březina (11) ning E. Knobloch (12). Polüvitamiinpreparaatide puhul soovitab Y. Asahi (13) foolhappe määramist teostada 0,1 n soolhappelahuses, W.J. Mader ja H.A. Frediani (14) tetra-metüülammoniumhüdroksiid-ammoniumkloriidpuhvris pH = 9,3, J.B. Duncan ja J.E. Christian (15) boraatpuhvris pH = 9,0.

Seega, nagu nähtub ülaltoodust, soovitatakse foolhappe määramiseks kas tugevalt hoppelist või leeliselist fooni. Ilmselt võeti siin aluseks foolhappe suhteliselt kergem lahustuvus sellistes keskkondades.

Kuid kirjanduses leidub andmeid ka selle kohta, et pterouüglutamiinhape (foolhape) pole püsiv mineraanhapete (16) ja leeliste juuresolekul (17), eriti vesilahuses pH = 9,2. Samad autorid näitasid, et neutraalses või nõngalt hoppelises lahuses laguneb foolhape märgataavalta vähem ja aeglase-malt kui pH = 9,2 juures (1 nädala jooksul ca 8 - 15 korda vähem).

Kuna meie eelkatsed osutasid booraks-fosfaatpuhverlahuse sobivusele foolhappe polarografeerimise foonina, kontrolliti seda üksikasjalikumalt.

Booraks-fosfaatpuhverlahuses (18) pH piirkonnas 5,8 kuni 9,2 käitub foolhape nii nagu teistes sama pH-väärustega puhvrites (19, 20, 21), andes kaks taandusastet hoppelises keskkonnas ja ainult ühe (esimese) leeliselises keskkonnas. Analüüsiks sobib paremini esimene laine, mille poolaine potentsiaal ($E_{1/2}$) puhverlahuses pH = 5,8 on -0,63 V ja lahuses pH = 9,2 -0,85 V; pH = 6,8 puhul on $E_{1/2}$ võrdne -0,696 V-ga (anoodina kasutati küllastatud kalomelektroodi).

Järgnevalt uuritigi lähemalt booraks-fosfaatpuhverlahust pH = 6,8, sest eelisena võimaldab see foon samast lahusest kvantitatiivselt määrata peale foolhappe samaaegselt veel askorbiinhapet ja riboflaviini (22).

Et selgitada taandusvoolu iseloomu, kontrolliti laine-kõrguse sõltuvust elavhõbeda röhust (joon. 1). Laine kõrgusute ja elavhõbeda reservuaari kõrguste ruutjuurte vahel va-litses difusioonivoolel iseloomulik sirgjooneline sõltuvus. Samuti kontrolliti taandusvoolu iseloomu temperatuuri muutmisega 16° C kuni 40° C piirkonnas. Selgus, et tem-peratuurikoefitsient (ω) võrdub 1,67 %, s. o. voolutuge-vus (1) suureneb 1,67 % temperatuuri tõstmisel 1 kraadi vör-ra. Temperatuurikoefitsient arvutati valemi $\omega = \frac{1}{1} \cdot \frac{di}{dt}$ järgi (23). Temperatuurikoefitsient on samuti difusiooni-vooludele iseloomulikus suurusjärgus.

Samuti täheldati lineaarset sõltuvust foolhappe kont-sentratsiooni ja laine kõrguse vahel puhverlahuses pH = 6,8 (joon. 2).

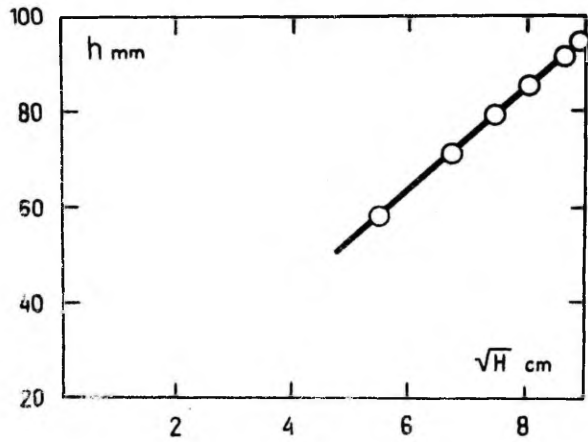
Järelikult on taanduslaine difusiooniline ja teda põh-justab foolhappe redutseerimine 7,8-dihüdrofoolhappeks.

Arvestades ülalöeldut, valiti foolhappe määramistel fooniks booraks-fosfaatpuhver pH = 6,8. Sellises puhverla-huses lahustub foolhape täiesti rahulikult - 10-minuti-se loksutamise järel 0,21 g 100 ml-s. (Polarograafiliseks otstarbeks kasutati $10^{-4} - 10^{-5}$ mol. lahuseid, s. o. ca 0,0044 g - 0,00044 g 100 ml-s puhvris.) Taanduslaine on selgelt väljendunud kujuga (joon. 3) ja selle määramist ei sega teised segudes leiduvad vitamiinid. Foolhappe stabiili-sus samas puhverlahuses on hea - 0,01%-lise foolhappela-huse 1-kuuse säilitamise järel toatemperatuuril pimedas ei täheldatud polarograafilise laine kõrguse alanemist.

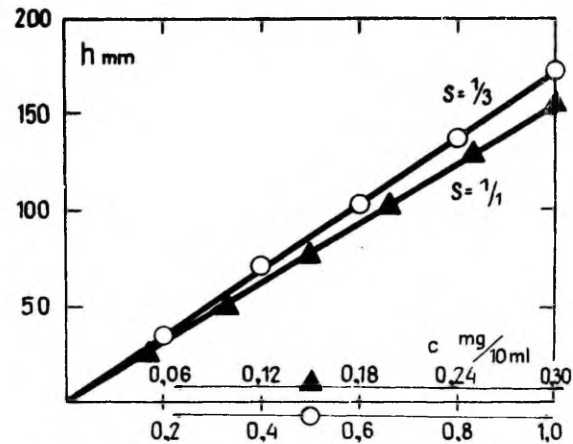
Eksperimentide alusel töötati välja foolhappe polaro-graafiliseks analüüsiks järgnev m e t o o d i k a .

Vajalikud reaktiivid:

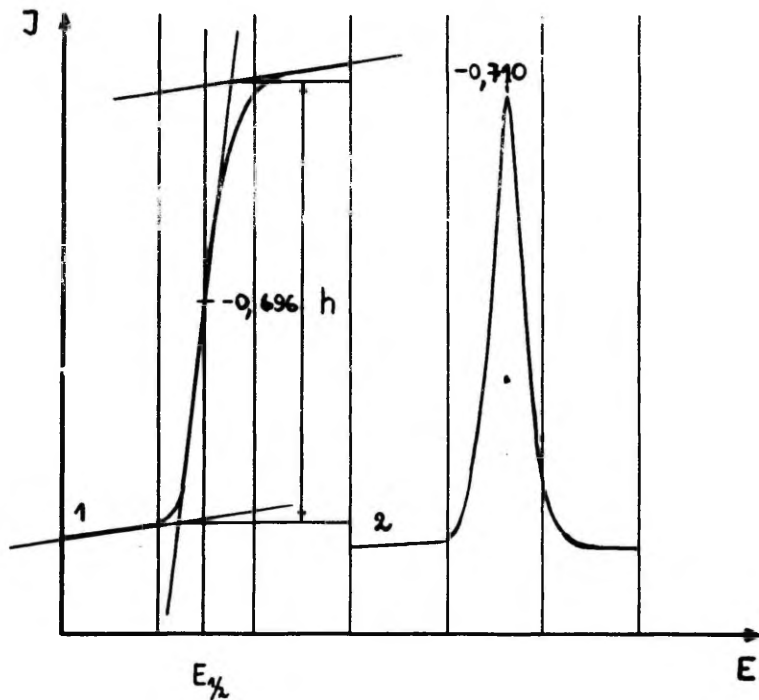
- 1) 6,8 pH-line booraks-fosfaatpuhverlahus,



Joon. 1. Foolhappe lainekõrguse (h) sõltuvus elavhõbereservuaari kõrguse ruutjuurrest (\sqrt{H}). Foolhappe kontsentraatsioon $0,052 \text{ mg/ml}$. Booraks-fosfaatpuhverlahus ($\text{pH} = 6,8$).



Joon. 2. Lainekõrguse (h) sõltuvus foolhappe kontsentraatsioonist (c) polarograafeeritavas labuses.
 $0 - 0,30 \text{ mg/10 ml}$, $S = 1/1$ ja
 $0 - 1,0 \text{ mg/10 ml}$, $S = 1/3$. Booraks-fosfaatpuhverlahus ($\text{pH}=6,8$).



Joon. 3. 0,01%-lis. roolkaappelahuuse polarogrammid. Laine 1 – tavaline polarogramm, $S = 1/70$, laine 2 – dife-reentsiaalne polarogramm, $S = 1/1$. Laired regist-reeritud elates $-0,4$ V – 200 mV/absts., vördlusel – küllastatud kalomeleiektrood, booraks-fosfaat-pühverlahus ($\text{pH} = 6,8$).

2) foolhappe 0,05%-line standardlahus* booraks-fosfaatpuhvis (pH = 6,8).

Hoolikalt peenestatud ja segatud polüvitamiinpreparaadi proovist kaalutakse täpne hulk ja lahustatakse loksutamisel 10 - 15 min. jooksul booraks-fosfaatpuhvis pH = 6,8 sellise mahuga mõõtekolvis, et foolhappe kontsentratsioon oleks umbes 10^{-4} mol. piirkõnas, s. o. umbes 4,4 mg foolhaped 100 ml puhvis. Määramisel on madalaimaks foolhappe kontsentraatsiooniks 0,5 mg/100 ml.

Lahustamise järel täidetakse mõõtekolb märgini sama puhvriga, segatakse ja jäetakse mõneks minutiks seisma lahustumatute osiste settimiseks. Tablettide ja dražeede analüüsил pole enamikul juhtudel vajalik täiteaineid filtrimisel eemaldada, sest need ei sega polarografeerimist.

Kindel hulk lahust (10 ml) mõõdetakse rakku, juhitakse 10 minuti jooksul läbi lahuse lämmastikku ja polarografeeritakse elektronpotentsioomeetri sobiva tundlikkuse juures pinge intervallis -0,5 V kuni -0,9 V. Seejärel lisatakse selline hulk standardlahust (ca 0,5 - 1 ml), et foolhappe kontsentraatsioon suureneks umbes kaks korda võrreldes alglahusega, ja polarografeeritakse uuesti.

Foolhappesisaldus arvutatakse valemi järgi:

$$x = \frac{c_{st}}{\frac{h_x}{v_x} \cdot \frac{v_x + v_{st}}{v_{st}} - \frac{v_x}{v_{st}}} \cdot \frac{d.v}{a},$$

kus x - foolhappe hulk analüüsitava materjali ühikus (kas ühes dražees, tabletis või pulbris) (mg), c_{st} - standardlahuse kontsentraatsioon (mg/ml), h_x - uuritava lahuse laine-

* Standardina kasutati preparaati, mis sisaldas foolhaped 88,90 %, vaba p-aminobensoöülglutamiinhape 4,36 % ja niiskust 6,51 % /määritati metodika MPTV 467-62 järgi (4)/. Vaba p-aminobensoöülglutamiinhape ei sega määramist, sest ta polarograafiliselt ei taandu.

kõrgus (mm), h - uuritava lahuse + standardlahuse laine-kõrgus (mm), v_x - rakku viidud uuritava lahuse hulk (ml), v_{st} - rakku viidud standardlahuse hulk (ml), v - uuritava lahuse üldhulk (ml), d - analüüsitava materjali ühiku (kas ühe dražee, tabletti või pulbri) keskmise kaal (g), a - analüüsiks võetud materjali kaalutis (g).

Määramised tehti Heyrovský-tüüpi polarograafiga IP55A, mis ühendati elektronpotentsiomeetriga (tüüp eKBTI EN - SDV) polarograafiliste lainete vahetuks registreerimiseks.

Elavhõbe-tilkelektroodina kasutati kas elektroodi A, mille $m = 1,888 \text{ mg/s}$, $t = 3,03 \text{ s}$, $m^{2/3} \cdot t^{1/6} = 1,837 \text{ mg}^{2/3} \cdot \text{s}^{-1/2}$. Või elektroodi B elavhõbetilkade sundkatkestiga, mille $m = 1,637 \text{ mg/s}$, $t = 0,25 \text{ s}$, $m^{2/3} \cdot t^{1/6} = 1,103 \text{ mg}^{2/3} \cdot \text{s}^{-1/2}$. Polüvitamiinsegude analüüsил osutus sobivamaks elektrood B.

Vördluselektroodina kasutati küllastatud kalomelektroodi. Raku konstruktsioon oli analoogiline S.G. Mairanovski ja F.S. Titovi (24) poolt esitatuga. Kõikidel määramistel hoiti temperatuur ultratermostaadi abil konstantsena $- +25^\circ \text{C} \pm 0,2^\circ \text{C}$.

Vitamiinpreparaatide polarograafilise määramise tulemused on toodud tabelis 1. Et selgitada, kas polarograafiline määramismenetlus ei sisalda mõnd metoodilist viga, analüüsiti samad vitamiinsegud paralleelselt ka fotoelektrokolorimeetriselt (4) ja tulemused paigutati samasse tabelisse. Üleliidulise Keemilis-Farmatseutilise Teadusliku Uurimise Instituudi poolt esitatud fotokolorimeetrilist meetodit ei saa vahetult kasutada, sest selle eeskiri sisaldab mõningaid vigu. Et see meetod on esitatud laialt kasutatavates käsiraamatutes (1, 2), siis peeti otstarbekaks märkida järgmist.

1. Kalibreeritud graafiku koostamiseks valitud põhjendamatult suured p-aminobensoehappe hulgad ei vasta võetud koguse foolhappe taandamisel vabaneva p-aminobensoehappe hulkadele.

2. Foolhappepreparaadis sisalduva vaba p-aminobensoüülglutamiinhappe määramise kohta on öeldud:"2 ml lahust + viakse 15 - 20-ml mahuga kolbi, lisatakse 8 ml vett..." 8 ml asemel peab olema 3 ml.

3. Foolhappe hulga arvutamiseks preparaadis antakse valem

$$x = \frac{(a - b) \cdot 25 \cdot 3,22}{10},$$

kus x - foolhappe hulk (g), a - kalibreeritud graafiku alusel leitud vaba ja seotud p-aminobensoüülglutamiinhappe koguhulk (mg), b - kalibreeritud graafiku alusel leitud vaba p-aminobensoüülglutamiinhappe hulk (mg), 25 ja 10 - konstantsed koefitsiendid, 3,22 - faktor p-aminobensoüülglutamiinhappe hulga ümberarvutamisel foolhappeks.

Ülaltoodud valemis on 3,22 faktor p-aminobensoehappe (mitte p-aminobensoüülglutamiinhappe) hulga ümberarvutamisel foolhappeks. Selles valemis pole arvestatud foolhappe ja p-aminobensoüülglutamiinhappe molekulkaalude erinevust ja faktiliselt nii a kui ka b korrutatakse 3,22-ga, mis ei ole õige, sest viib madalamatele tulemustele. (Foolhappe molekulkaal on 441,4 , p-aminobensoüülglutamihappel 266,3 ja p-aminobensoehappel 137,1. Seega $\frac{441,4}{137,1} = 3,22$ ja $\frac{266,3}{137,1} = 1,94$.)

Valem peaks olema järgmine:

$$x = \frac{(a \cdot 3,22 - b \cdot 1,94) \cdot 25}{10}$$

Ka on A.M. Alijevi (3) poolt parandusena antud valem ekslik, nimelt teine faktor 3,22 on liigne ja b tuleb korrutada 1,94-ga, mitte aga 2,0-ga, kuna p-aminobensoüülglutamiinhappe molekulkaal on 266,3 , mitte aga 276,0.

4. p-aminobensoehappe lahustuvus toatemperatuuril etanoolis on 11,3 g 100 ml-s, mitte aga 1,3 g (1, lk. 53), mida tuleb arvestada preparaadi ümberkristalliseerimisel standardinära kasutatava preparaadi arvamiseks.

Nagu tabelis 1 toodud andmetest nähtub, ei sega foolhappe polarografeerimist segus leiduvad teised vitamiinid, nagu akseroftool (A), tokoferool (E), tiamiinbromiid (B_1), riboflaviin (B_2), kaltsiumpantotenaat (B_3), püridoksiinhüdrokloriid (B_6), tsüanokoobalamiin (B_{12}), kaltsiumpadgamaat (B_{15}), askorbiinhape (C), biotiin (H), p-aminobensoehape (H_1), rutiin (P), nikotiinhape ja tema amiid (PP), koliinkloriid ja tableteerimiseks-dražeerimiseks kasutatavad abiained (sahharoos, glükoos, lakteer, tärklis, talk jt.).

Nagu nähtub tabelitest 1 ja 2, saadakse ravimsegude analüüsил polarograafilisel ja fotoelektrokolorimeetrisel meetodil praktiliselt kokkulangevad tulemused; üksikmääramiste aritmeetiliste keskmiste vahe ei ületa $\pm 2,11\%$. Meetodi suhteline viga moodustab polarograafia puhul $\pm 2,2$ kuni $\pm 3,0\%$, fotokolorimeetria puhul $\pm 2,3$ kuni $\pm 6,1\%$. Seeja polarograafilise määramise täpsus (ka dispersioon ja standardhälve) ei sõltu niivõrd analüüsitava segu komplitseeritusest kui standardmeetodi täpsus. Fotomeetrilisel meetodil ei ole foolhape otse määratav p-aminobensoehapet (vit. H_1) sisalda vaid segudes; samuti takistab askorbiinhappe kõrge kontsentratsioon diasoteerimisprotsessi kulgu. Polarograafilise meetodi eelis seisneb tema kiiruses (45 min. fotokolorimeetria 90 min. vastu) ja teostamise lihtsusnes (polarograafia nõuab 2 nimetust reaktiive standardmeetodi 7 nimetuse vastu, viimaste hulgas ka kallihinnalist importreaktiivi N-(1-naftüül)-etüleendiamidiindihüdrokloriidi). Uuriava preparaadi kulu on mõlemal meetodil minimaalne.

T a b e l 1

Foolhappe määramise tulemused vitamiinpreparaatides

Prepara- raadi nr.	Preparasi deklareeritud koostis g	Leitud foolhape t				Vahe %	Märkused		
		polarogr. mee- todil		fotokolor. mee- todil					
		g	%	g	%				
1.	Tabletid foolhape 0,002	0,00193	96,5	0,00194	97,0	-0,52	Lubatud kõrvale- kaldumi- ne fool- happesi- salduses 1 tableti ja dražee kohta ± 10%, 1 pulbri kohta ± 20%		
2.	Tabletid foolhape 0,005 askorbiinhape 0,1	0,0048	96,0	0,00471	94,2	+1,91			
3.	Pulbrisegus tiamiinbromiid, riboflaviin, püridoksiinhüdrokloriid ja 0,005, nikotiinamid 0,01, foolhape 0,002, biotin 0,00025, p-aminobensohape 0,002, askorbiinhape, kalt- siumpangamaat ja 0,05, ko- liinkloriid 0,1	0,00184	92,0	Ei saa määrata		-			
4.	Dražeed akseroftool 0,001, tokofe- rool 0,01, tiamiinbromiid, riboflaviin ja 0,002, kalt- siumpantotenaat 0,003, tsüa- nokoobalamiin 0,00002, fool- hape 0,0005, nikotiinamid 0,02, rutiin 0,01, askorbiin- hape 0,075	0,000475	95,0	0,000485	97,0	-2,11	--"		

T a b e l 2

Foolhappesisaldus ravimpreparaatides, määratuna polarograafilisel ja fotoelektrokolorimeetrisel meetodil

Preparaadi nr. (koostis toodud tab.1)	Leitud polaro- graafil. meetodil mg	Statistilise töötłuse tulemused					Leitud foto- kolor. meeto- dil mg	Statistilise töötłuse tulemused				
		\bar{x}	S	$S_{\bar{x}}$	$\epsilon_{0,95}$	$\epsilon_{\text{suht.}} \%$		\bar{x}	S	$S_{\bar{x}}$	$\epsilon_{0,95}$	$\epsilon_{\text{suht.}} \%$
1.	1,97 1,89 1,94 1,90 1,95	1,93	0,03391	0,0152	0,0422	2,2	1,98 1,96 1,95 1,89 1,92	1,94	0,03536	0,0158	0,0439	2,3
2.	4,70 4,89 4,75 4,86	4,80	0,08981	0,0449	0,143	3,0	4,84 4,60 4,69 4,76 4,66	4,71	0,09274	0,0415	0,115	2,4
3.	1,83 1,87 1,81 1,79 1,90	1,84	0,04472	0,0200	0,0555	3,0				Ei saa määrata		
4.	0,485 0,476 0,464 0,479 0,471	0,475	0,007969	0,00356	0,00988	2,1	0,500 0,458 0,461 0,510 0,496	0,485	0,02385	0,0107	0,0296	6,1

J ä r e l d u s e a

1. Töös võrreldi foolhappe kvantitatiivset polarograafilist ja fotoelektrokolorimeetritelist määratavust poolüvitamiinpreparaatides. Tuuakse mõningad korrektiivid Üleliidulise Keemilis-Farmatseutilise Teadusliku Uurimise Instituudi poole esitatud foolhappe fotokolorimeetritise määramise metoodika kohta.

2. Polarograafiliseks määramiseks soovitatakse foonina 6,8 pH-list booraks-fosfaatpuhverlahust. Polarograafilist meetodit iseloomustab küllaldane täpsus, kiirus ja lihtsus, lisaprotseduuride mittevajalikkus ning ökonomus analüüsiga teostamisel. Polarograafiline meetodi suhteline viga ei ületa $\pm 3,0\%$, fotokolorimeetria viga $\pm 6,1\%$. Esitatud polarograafiline meetod on laiemal kasutamisalalga (määramine on teostatav vahetult ka p-aminobensoehappe ja askorbiinhappe juuresolekul) kui fotoelektrokolorimeetriteline meetod.

K i r j a n d u s

1. Девятинин В.А. (ред.). Методы определения витаминов (химические и биологические). М., 1954, с. 50, с. 5I.
2. Перельман Я.М. Анализ лекарственных форм. Л., 1961, с. 379.
3. Алиев А.М. Алтечное дело, 1963, № 6, с. 40.
4. Межреспубликанские технические условия на лекарственные средства. М., 1963, № 2, с. 9.
5. British Pharmacopeia. London, 1958, p. 278.
6. The Pharmacopeia of the United States of America, 16 th rev. Easton, 1960, p. 898.

7. Schiaffino, S.S., Webb, J.M., Loy, H.W., Kline, O.L.
J. Am. Pharm. Ass., Sci. Ed., 1959, vol. 48,
p. 236.
8. Pelletier, O., Campbell, J.A. J. Pharm. Sci., 1961,
vol. 50, p. 208.
9. Гнидец И.Р., Туркович М.М. Фармацевтический журнал,
1959, № I, с. 18.
10. Лущевская Г.М., Шмидтна А.М., Алесева И.В. Фармация,
1967, № I, с. 60.
11. Březina, M., Zuman, P. Polarography in Medicine, Bio-
chemistry and Pharmacy. New York, 1958,
p. 394.
12. Knobloch, E. Physikalisch - chemische Vitaminbestim-
mungsmethoden. Berlin, 1963, p. 380.
13. Asahi, Y. The Journal of Vitaminology, 1958, vol. 4,
p. 118.
14. Mader, W.J., Frediani, H.A. Analytical chemistry, 1948,
vol. 20, p. 1199.
15. Duncan, J.B., Christian, J.E. Journal of the American
Pharmaceutical Association, Sci. Ed., 1948,
vol. 37, p. 507.
16. Daniel, E., Kline, O. Journal of Biological Chemistry,
1947, vol. 170, p. 739.
17. Koft, B., Sevag, M.G. Journal of the American Chemical
Society, 1949, vol. 71, p. 3245.
18. Справочник химика. М.-Л., 1965, том II, с. 170.
19. Allen, W., Pasternak, R.L., Seaman, W. Journal of the
American Chemical Society, 1951, vol. 74,
p. 5264.
20. Hrdy, C. Collection of Czechoslovak Chemical Communi-
cations, 1959, vol. 24, p. 1180.

21. Asahi, Y. Review of Polarography (Japan), 1963, vol. 11, p. 176.
22. Крузе, И. В кн.: Первый всесоюзный съезд фармацевтов (Материалы докладов в секциях). М., 1967, с. 155.
23. Zuman, P. Progress in Polarography. New York - London, 1962, vol. II, p. 583.
24. Майрановский С.Г., Титов Ф.С. Журнал аналитической химии, 1960, № I, с. 121.

СРАВНИТЕЛЬНОЕ ИССЛЕДОВАНИЕ КОЛОРИМЕТРИЧЕСКОГО И ПОЛЯРОГРАФИЧЕСКОГО МЕТОДОВ АНАЛИЗА ФОЛИЕВОЙ КИСЛОТЫ

И. Крузе

Резюме

Разработан полярографический метод определения фолиевой кислоты в поливитаминных препаратах. В качестве фона использовали бура-фосфатный буферный раствор pH 6,8. Потенциал полуволны нормальной кривой витамина В_с -0,696 в, производной кривой - 0,710 в. Определению не мешают присутствующие в витаминных препаратах другие витамины и вспомогательные вещества. Результаты предлагаемого метода сравнивали с данными фотоколориметрического метода. Оба метода дают почти совпадающие результаты; разница не превышает $\pm 2,1\%$. Относительная погрешность полярографического метода от $\pm 2,2$ до $\pm 3,0\%$, фотоколориметрического - от $\pm 2,3$ до $\pm 6,1\%$. Фотометрическое определение витамина В_с в присутствии *n*-аминобензойной кислоты непроводимо, также высокая концентрация аскорбиновой кислоты препятствует процессу diazotирования.

Предложенный полярографический метод выгодно отличается от колориметрического своей быстротой и простотой анализа.

PÖHITINGIMUSTE UURIMINE PÜRIDOKSOOLHÜDROKLORIIDI
POLAROGRAAFILISEKS MÄÄRAMISEKS RAVIMSEGUDES

I. Kruse

Püridoksiini ehk vitamiini B_6 rühma (1) vitamiinide hulka kuuluvad püridoksool, püridoksaal ja püridoksamiin.

Ofitsinaalse preparaadina kasutatakse meditsiinis püridoksoolhüdrokloriidi püridoksiinhüdrokloriidi nimetuse all (2).

Ratsionaalse polarograafilise analüüsni metoodika püridoksoolhüdrokloriidi määramiseks ravimsegudes on seni välja töötamata, kuigi juba 1941.a. näitasid J.J. Lingane ja O.L. Davis (3) püridoksooli taanduvust tetraetüülammooniumbromiidilahuse foonil, mis aga praktilist rakendamist ei leidnud. 1950. aastate lõpul hakati uuesti tegelema püridoksiini-grupi vitamiinide polarograafiaga. J. Volke esitas püridoksooli taandusprotsessi kemismi elavhõbe-tilk-elektroodil ning näitas püridoksaali lainekõrguste sõltuvust keskkonna pH-st (4). O. Manoušek ja P. Zuman esitasid meetodid püridoksaali ja püridoksaal-5-fosfaadi koosmääramiseks, mis baseerusid nende ainete erinevatel lainekõrgustel 2- ja 9-lise pH-ga lahustes (5) või poolainepotentsiaalide erinevusel, neid diferentsiaalpolarograafili-selt määrates pärast oksiimideks üleviimist veronaalpuhvis pH = 8,9 (5) või otse integraalselt polarografeerides 0,1 mol. naatriumhüdroksiidilahuse foonil (6).

Analüütelist rakendust on B_6 -monovitamiinipreparaati-de puuhul leidnud püridoksooli polarografeerimise foonide-

na ammoniaak-ammooniumkloriid- ja veronaalpuhver (7) ja nõrgalt happepimedad puhverlahused (8). Esimesena nimetatud foonil annab püridoksool difusioonilise, teistel katalütilise laine.

Püridoksiini-gruppi vitamiinide ja teiste nende derivaatide elektrokeemilisi protsesse on ulatuslikult käsitletud ja iseloomustatud O. Manoušek ja P. Zumanit töös (9).

Püridoksooli oksüdeerimiseks püridoksaaliks soovitatatakse mangaandicksiidi (10). Nii saadud püridoksaal (pärast püridoksaaltsüaanhidriini moodustamist) sobib kvantitatiivseks fluoromeetriliseks määramiseks (10).

Kuna püridoksooli otsene määramine ravimsegudes on keemiliste ja füüsikaliste-keemiliste analüüsimeetoditega takistatud, siis on uuritud tema eraldamise võimalusi. Nii esitati meetod vitamiini B_6 paberkromatograafiliseks eraldamiseks sellele järgneva polarograafilise määramisega (11). Püridoksool on eraldatud kaasnevatest vitamiinidest kihtkromatograafiliselt silikageeli (12, 13) ja alumiiniumoksandi (13) kihil.

Ioonvahetuskromatograafiat kasutades eraldati püridoksool mõningatest teistest vitamiinipreparaatides sisalduvaid vitamiinidest: vitamiinidest C (14), B_1 , B_2 , B_{12} , nikotiiniamiidist ja pantenoolist (15, 16, 17) ja püridoksiini rühma ülejää nud komponentidest - püridoksaalist ja püridoksmägiiniist (18). Vitamiini B_6 adsorbeerimiseks ekstraktidest sobib Super Filtrol pärast segavate ainete eraldamist ionandi Amberlite IR-4 abil (19).

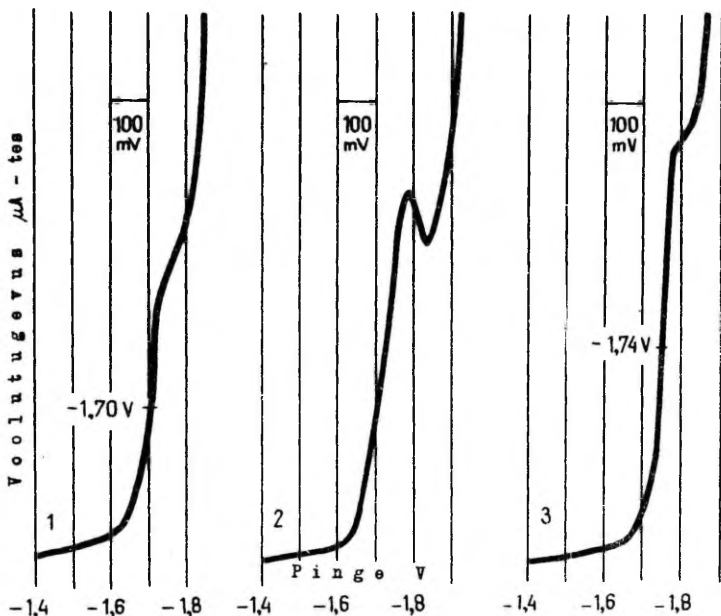
E k s p e r i m e n t a a l n e o s a

Polarograafilistel määramistel kasutatud polarograafi ja raku kirjeldus on toodud eelnevas artiklis "Foolhape kolorimeetrilise ja polarograafilise analüüsi meetodi te võrdlev uuringus". Katoodina kasutati tilkuvat elavhõbe-eleketroodi, mille $m=3,37$ mg/s ja $t=1,0$ s.

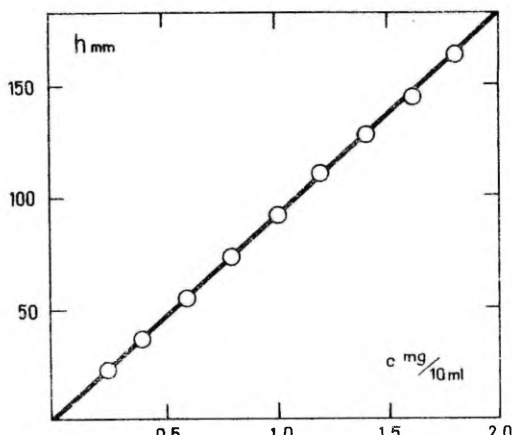
Püridoksooli polarograafiliseks analüüsiks püüti ra-

kendada O. Manoušek ja P. Kočová poolt soovitatud meetodit (7), lahustades uuritava vitamiinpreparaadi 0,1 mol. ammoniaak-ammoniumkloriidi puhverlahuses pH = 8,6 - 8,7. Selleks et saada rahuldava piirvooluga taandusainet (joon. 1), tuleb töötada rangelt ettenähtud pH piirkonnas. Lahuse pH suurenemisel liitub piirvoolu osa peagi fooni taandumisest tingitud laine tõusuga. Määramine on läbiviidav püridoksooli monovitamiinpreparaatide puhul. Nimetatud foonil polarografeerides saadi püridoksiinhüdrokloriidi monovitamiintablettide ja 1%, 2,5% ning 5%-liste ampull-lahuste analüüsил katseveaks \pm 2,0 - \pm 2,5 % (vitamiini B₆ kontsentratsioon polarografeeritavas lahuses $1 \cdot 10^{-4}$ - $1 \cdot 10^{-3}$ mol., s. o. ca 0,2 - 2 mg/10 ml). Selles vahemikus on püridoksooli lainekõrgus lineaarses sõltuvuses kontsentraatsioonist (joon. 2). Töös (7) toodud väide, et määramine on sel foonil teostatav ka nikotiinamiidi juuresolekul, ei leidnud kinnitust. Kuivõrd nikotiinamiid esineb ravimsegudes paljukordsest püridoksooli koguseid ületavates hulkades, kusjuures nikotiinamiidi laine eelneb vahetult püridoksooli omale, siis osutub vitamiini B₆ analüüs klassikalisest polarografeerides võimatuks ning diferentsiaalpolarograafiliselt tugevasti takistatuks (joon. 3). Samuti segab püridoksooli määramist nikotiinhape.

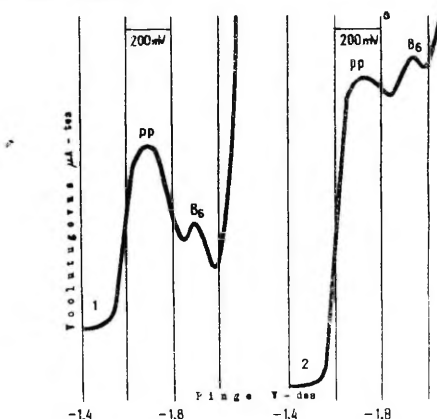
Katsetati ka teisi foone - tsitraat-fosfaatpuhvrit pH = 7,2 ja fosfaatpuhvrit pH = 6,8, milledes püridoksool annab katalütilise iseloomuga lained (seda töendab polarografeerimise kõrge tundlikkus, iseloomuliku maksimumiga piirvoolu osa (joon. 1), astme kõrguste sõltumatus elavhõbeda reservuaari kõrgusest või isegi suurenemine reservuaari langetamisel). Kuid nimetatud foonid on rakenetavad vaid püridoksooli monovitamiinpreparaatide analüüsile, mitte aga polüvitamiinpreparaatide puhul. Vitamiini B₆ laine registreerimist neli foonidel segavad näiteks vitamiinid B₁, B_c, PP-antiid ja PP-hape, ei sega vitamiinid B₂, B₃, C, H ja H₁.



Joon. 1. Püridoksoolhüdrokloriidilahuste polarogrammid.
 Laine 1. - 0,4 mg/10 ml 0,1 mol. 8,7 pH-lises ammoniaakk-ammoniumkloriidpuhvris, $S = 1/10$, $E_{1/2} = -1,70$ V; laine 2. - 0,2 mg/10 ml 7,2 pH-lises fosfaat-tsitraatpuhvris, $S = 1/100$; laine 3. - 1 mg/10 ml 0,5-g-se naatrium-sulfiti lisandiga 0,4 mol. dinaatriumfosfaadilahuses, $S = 1/50$, $E_{1/2} = -1,74$ V.
 Lained registreeritud alates -1,4 V, -100 mV/absts., vördlusel.- küllastatud kalomelelektrood.



Joon. 2. Laineekõrguse (h) sõltuvus püridoksoolühdrokloriidi kontsentratsioonist (c) polarografeeritavas lahuses 0,1 mol. 8,7 pH-lise ammoniaak-ammoniumkloriidipuhvri foonil.



Joon. 3. Püridoksoolühdrokloriidi + nikotiinamiidilahuse diferentsiaalsed polarogrammid.

Laine 1. - 10 ml 0,1 mol. 8,7 pH-lise ammoniaak-ammoniumkloriidipuhvri + 1 ml 0,1%-lise püridoksoolühdrokloriidi lahuse + 1 ml 0,1%-lise nikotiinamiidilahuse polarogramm; laine 2. - 10 ml 0,4 mol. dinaatriumfosfaadi lahuse + 1 ml 0,1%-lise püridoksoolühdrokloriidi lahuse + 0,7 ml 0,1%-lise nikotiinamiidilahuse polarogramm.

Lained registreeritud alates -1,4 V, -200 mV/absts., võrdlusel.- küllastatud kalomelelektrood.

Ulatuslikumalt on kasutatav 0,4 mol. dinaatriumfosaadilahus (pH ca 9,4), mispuhul saadi selge püridoksooli polarograafiline laine (joon. 1). Kuid määramist segab nikotinhape ja tema amiid. Viimaste juuresolekul saab püridoksooli määrata diferentsiaalpolarograafiliselt (joon.3), kui vitamiini PP kontsentratsioon ei ületa tunduvalt vitamiini B₆ oma.

Ratsionaalseid vitamiinide eraldamise võimalusi polarograafiliseks määramiseks ei saadud ka kihtkromatograafiat ning ioonvahetusvaikusid kasutades.

Kihtkromatograafia puhul siliageeli kihil solventide süsteemis jää-äädikhape/atsetoon/metanol/benseen = 5/20/70 saadi hea eralduvus vaid vitamiinide väikeste hulkade pealekandmisel. R_f väärused: B₁ - 0, B_c - 0,07, B₆ - 0,14, C - 0,27, B₂ - 0,32, PP - 0,60. Et saada polarografeerimiseks pärist elueerimist näiteks ammoniaak-ammoniumkloriidpuhvriga (pH = 8,6 - 8,7) sobiva kontsentratsiooniga lahest, tuleks plaadile kanda 0,2 - 1,0 mg püridoksoolühdrokloriidi. Kuna uuritava vitamiinpreparaadi lahus on suhteliselt madala kontsentratsiooniga, siis tingib see suure hulga lahuse pealekandmise vajaduse, mis on aga raskesti teostatav. Ka ei saavutatud vitamiinide suuremate koguste pealekandmisel selgepiirilist eralduvust. Takistuseks sai ka asjaolu, et püridoksool kromatografeerimise käigus osaliselt lagunes (eriti valguse käes). Boorhappe lisand küll väldib püridoksooli lagunemist (kompleksi teke (20)), kuid tema juuresolekul saadakse polarografeerimisel madalamad ja halvasti väljendunud püridoksooli taandusained.

Ioonvahetuskromatograafia puhul püridoksooli eraldamisel kationite Wofatit CP 300 (pH 5,5), Amberlite XE 100 (pH 4,0) ja anioniiti Wofatit L 150 (OH^-) kasutades (17), saadi just püridoksooli puhul teoreetilisest 5 % madalamad tulemused. Meetod ise on töömahukas ja aeganõudev. Meetodi lihtsustamine kõiki püridoksooli polarograafilist määramist segavaid komponente - vitamiine PP-amiid, PP-hape, B₁ ja B_c sisaldavate segude puhul ei andnud tulemusi.

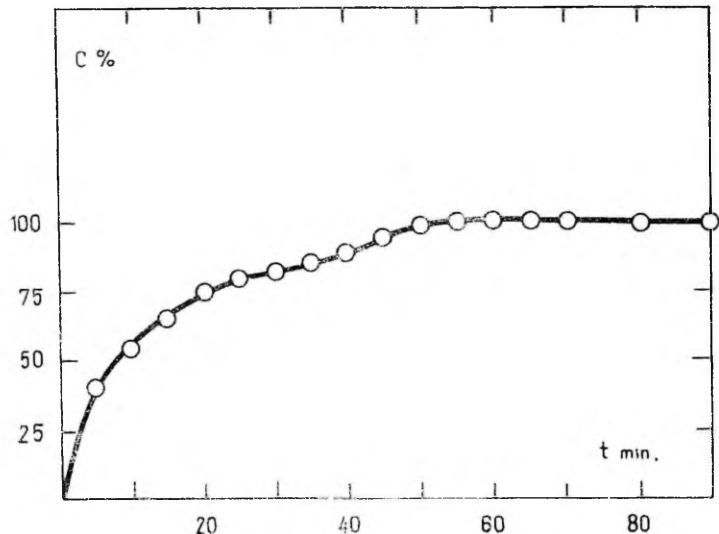
Arvestades ülalöeldut ning tuginedes eelkatsete positiivsetele tulemustele püridoksaoli oksüdeerimisel mangaandioksiidi püridoksaaliks ning selle polarografeerimisel, seatigi ülesandeks uurida püridoksaoli püridoksaaliks üleviimise tingimus eesmärgiga nii teostada tema polarograafilist analüüs polüvitamiinsegudes. Sobivate tingimuste valikul tuli arvestada keskkonnaga, milles oleks tagatud 1) kvantitatiivne püridoksaoli oksüdeerumine püridoksaaliks ja 2) polarograafilise analüüs läbiviidavus kas vahelt või pärast pH reguleerimist.

Eelkatsed viitasid ca 5,2 pH-lise fosfaat- ja atseataatpuhvri sobivusele selleks otstarbeks.

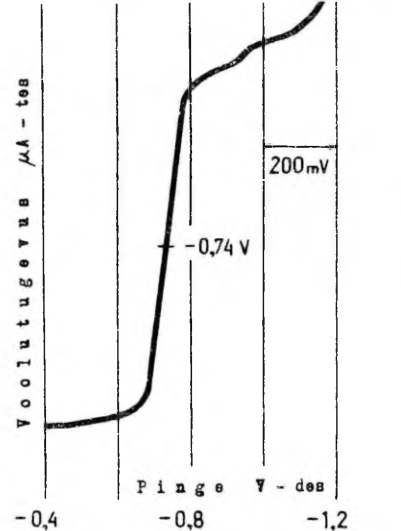
Et selgitada oksüdatsiooniprotsessi kulgu, oksüdeeriti 10^{-3} - 10^{-4} mol. püridoksoolilahuseid erinevate mangaandioksiidi hulkadega erineva pikkusega ajavahemike väitel 1/15 mol. monokaaliumfosfaadilahuses (pH ca 5,2). Erinevate kontsentratsioonidega lahused saadi 0,1%-lise püridoksoolilahuse (firma Chemapol, 100%-line substant) 0,2 - 2,0 ml hulkade lisamisel 10 ml 1/15 mol. monokaaliumfosfaadilahusele. Vett lisati kuni 12 ml-ni ja seejärel 0,05-0,3 g mangaandioksiidi ja loksutati loksutusmasinas erinevate ajavahemike (5 min. - 90 min.) kestel. Seejärel tsentrifugiti, mangaandioksiidi jäagile lisati 10 ml 1/15 mol. dinaatriumfosfaadilahust, loksutati ja tsentrifugiti uuesti. Tsentrifugaat ühendati esimese osaga 25-ml mahuga mõõtekolvis ja täiendati veega märgini (saadi 6,8 pH-line lahus).

10 ml saadud lahust viidi rakku, termostateeriti hoolikalt $+25^{\circ}\text{C} \pm 0,1^{\circ}$ juures, juhtides 5 - 10 min. jooksul vesinikku läbi lahuse ja polarografeeriti pingeintervallis -0,5 kuni -1,0 V. Seejärel lisati 0,1%-list püridoksaalihüdrokloriidilahust (firma E. Merck, Darmstadt, 100%-line substant) või selle sellist lahjendust 1 ml, et lainekorgus umbes kahekordistus, ja arvutati välja moodustunud püridoksaali hulk.

Selgus, et sobivaks mangaandioksiidi hulgaks on 0,2 g ja oksüdatsiooni kestuseks loksutamisel 60 min. (joon. 4).



Joon. 4. Mangaandioksiidiga püridoksaoli püridoksaaliks oksüdatsiooni kineetika 1/15 mol. monokaaliumfosfaatilahuses. Abstsissiteljel on märgitud oksüdatsiooni kestus (t) minutites, ordinaattiteljel – moodustunud püridoksaali hulk (c)%-des. Püridoksaolihüdrokloriidi kontsentratsioon lahuses 1,0 mg/12 ml, mangaandioksiidi hulk 0,2g.



Joon. 5. 0,8 mg/10 ml kontsentratsiooniga püridoksaalihüdrokloriidi lahuse polarogramm 1/15 mol. 6,8 pH-lise fosfaatpuhvri foonil, S=1/20, E_{1/2} = -0,74 V. Laine registreeritud alates -0,4 V, -200 mV/absts., võrdlusel.- küllastatud kalomel-elektrood.

Neis tingimustes oksüdeeritakse püridoksool kvantitatiivselt püridoksaaliks. Analoogilised tulemused saadi oksüdatsiooni läbiviimisel ja polarografeerimisel atsetaatpuhvris pH=5,2 (Walpole). Püridoksaal annab nendel foonidel selge laine (joon. 5).

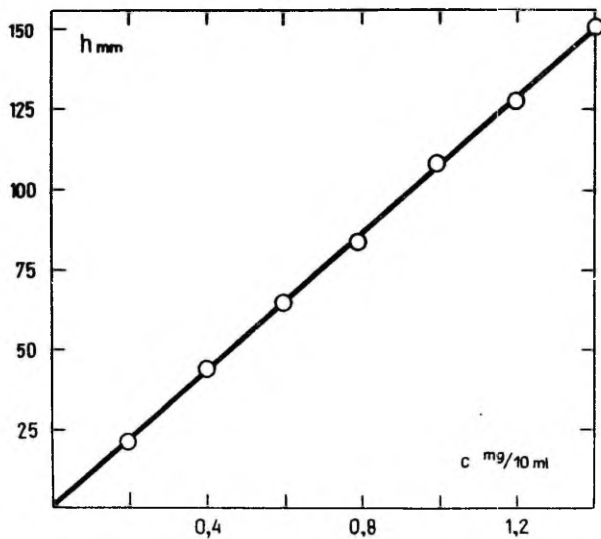
Et selgitada polüvitamiinpreparaatides vitamiiniga B₆ kaasnevate ainete mõju püridoksooli oksüdeerumisele ja polarografeerimisele, lisati neid üksshaaval ning oksüdeeriti ja polarografeeriti. Selgus, et püridoksooli oksüdatsiooni ei takista tiамиinbromiid, riboflaviin, kaltsiumpantotenaat, tsüanokoobalamiin, biotiin, rutiin, nikotiinhape ja tema amiid ning abiained (glükoos, laktoos, sahharoos jt.). Samuti ei saa segada askeroftool, kaltsiferool ja tokoferool, sest need eemaldatakse lahusest filtrimisel enne mangaandioksiidi lisamist. Poolhape lahustub lahuses pH = 5,2 niivõrd tühistes kogustes, et ta samuti ei sega määramist, kuigi vitamiini B_c laine vahetult eelneb püridoksaalile.

Püridoksooli oksüdeerimist mangaandioksiidiga takistab askorbiinhape kui tugev redutseerija, mistõttu see tuleb eelnevalt oksüdeerida, näiteks kaaliumppermanganaadilahusega. Kuna kaaliumppermanganaadi taandumisel tekkiv kahevaalente mangaanioon reageerib fosfaatpuhvriga, andes lahustumatu mangaanfosfaadi, siis askorbiinhappe esinemisel kasutati fosfaatpuhvri asemel atsetaatpuhvrit pH = 5,2. Askorbiinhappe oksüdeerimiseks lisati tilkhaaval 1%-list kaaliumppermanganaadilahust kuni violetse värvuse ilmumiseni, seejärel 0,2 g mangaandioksiidi ja edasi nagu eespool kirjeldatud, kasutades polarografeerimiseks lahust pH-ga 5,2.

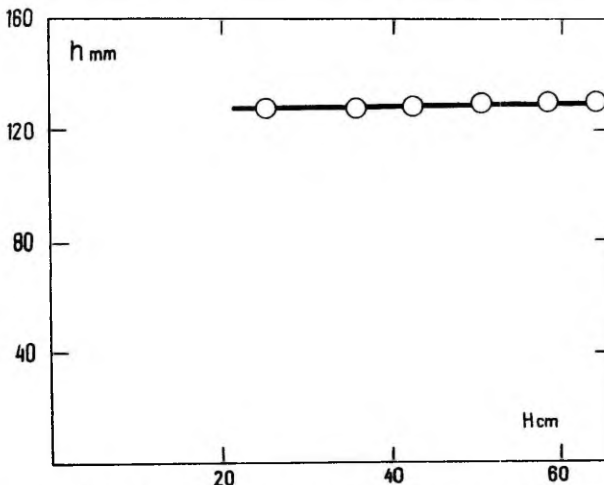
Analüütilise meetodi väljatöötamise eesmärgil kontrolliti püridoksaali elektrokeemilist käitumist nimetatud foonidel.

Selgus, et püridoksaali kontsentratsiooni ja lainekeorguste vahel valitseb lineaarne sõltuvus 10^{-3} - 10^4 mol. lahustes (joon. 6).

Püridoksaali lainekeorguse ja elavhöbeda rõhu vahelise sõltuvuse uurimisel ilmnes, et lainekeorgus ei sõltu elavhöbeda rõhest (joon. 7).



Joon. 6. Lainekõrguse (h) sõltuvus püridoksaalhüdrokloriid konseentratsioonist (c) polarograafeeritavas lahuses 6,8 pH-lise fosfaatpuhvri foonil, S = 1/20.

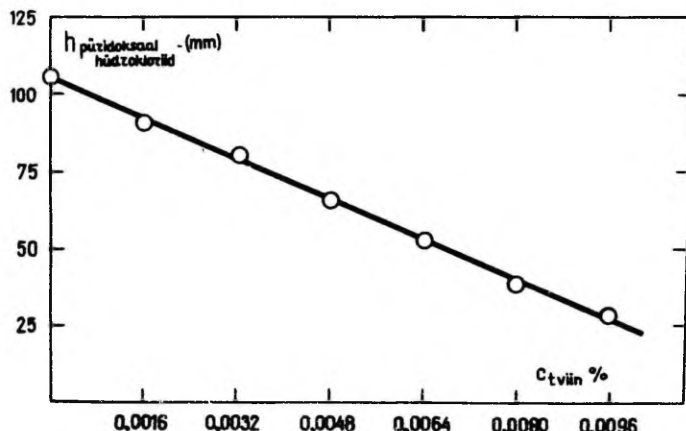


Joon. 7. Püridoksaalhüdrokloriidilahuse lainekõrguse (h) sõltuvus elavhõbereservuaari kõrgusest (H) 6,8 pH-lise fosfaatpuhvri foonil.

Püridoksaali lainekõrguse sõltuvust temperatuurist kontrolliti temperatuuriintervallis $+18^\circ$ kuni $+30^\circ$ C. Selgus, et lainekõrguse sõltuvus temperatuurist on ulatuslik. Temperatuuri koefitsient ($\omega = \frac{1}{I} \cdot \frac{di}{dt^\omega}$) võrdub 8 %, s. o. voolutugevus i suureneb 8 % temperatuuri tõstmisel 1° värava. Seega selleks, et temperatuurist tingitud katseviga ei ületaks 1 %, tuleb määramised läbi viia samal temperatuuril $\pm 0,1^\circ$ -se täpsusega katse temperatuuri ultratermostaadi abil hoides.

Samuti täheldati püridoksaali lainekõrguse sõltuvust lahuse pH-st ja fooni koostisest ning kontsentratsioonist. Ka ilmnes lainekõrguse alanemine mõningate ainete (näit. riboflaviini, tviin 80 jt.) mõjul (joon. 8).

Toodud andmetest järeltub püridoksaali taandusvoolu kineetiline iseloom.



Joon. 8. 1 mg/10 ml kontsentratsiooniga püridoksaalhüdrokloriidilahuse lainekõrguse (h) sõltuvus tviin 80 kontsentratsioonist (C_{tvin}) polarografeeritavas lahuses 6,8 pH-lise fosfaatpuhvri foonil, $S=1/20$.

J ä r e l d u s e d

1. Nii ammoniaak-ammoniumkloriid- ($\text{pH} = 8,7$), tsitraat-fosfaat- ($\text{pH} = 7,2$) ja fosfaatpuhvris ($\text{pH} = 6,8$) kui ka 0,4 mol. dinaatriumfosfaadihuses ei õnnestunud püridoksooli kvantitatiivseks määramiseks ravimsegudes ratsionaalselt polarograafilist meetodit leida. Samuti ei saadud rahulikult tulemusi vitamiini B_6 eraldamisel polarograafilise määramise otstarbeksi ioonvahetus- ja kihtkromatograafilisel meetodil.

2. Töötati välja metoodika püridoksooli kvantitatiivseks oksüdeerimiseks mangaandioksidiidiga püridoksaaliks ja selgitati polüvitamiinpreparaatides vitamiiniga B_6 kaasnevate ainete mõju sellele oksüdatsioonireaktsioonile.

3. Selgitati püridoksaali polarograafeerimise tingimusi fosfaat- ($\text{pH} = 6,8$) ja atsetaatpuhvris ($\text{pH} = 5,2$).

K i r j a n d u s

1. Березовский В.М. Химия витаминов. Москва, 1959,
стр. 367.
2. Государственная Фармаконея СССР, IX изд. Москва,
1961.
3. Lingane, J.J., Davis, O.L. J. Biol. Chem., 1941, vol.
137, p. 567.
4. Volke, J. Z. physik. Chem. Sonderheft 1958, S. 268.
5. Manoušek, O., Zuman, P. J. Electroanalyt. Chem.,
1959/60, vol. 1, p. 324.
6. Idem. Coll. Czechoslov. Chemic. Commun., 1962, vol. 27,
p. 486.

7. Manoušek, O., Kočová, P. Microchim. acta, 1961, № 5, S. 754.
8. Knobloch, E. Physikalisch-chemische Vitaminbestimmungsmethoden, Berlin, 1963, S. 307.
9. Manoušek, O., Zuman, P. Coll. Czechoslov. Chemic. Commun., 1964, vol. 29, p. 1432.
10. Polansky, M.M., Camarra, R.T., Toepfer, E.W. Journal of the Association of Official Agricultural Chemists, 1964, vol. 47, p. 827.
11. Cerny, K. Sborník 1st celostátní pracovní konf. anal. chemiku. Prague, 1952, str. 279 ref.: Březina, M., Zuman, P. Polarography in Medicine, Biochemistry and Pharmacy, New York, 1958, p. 401.
12. Gänshirt, H., Malzacher, A. Die Naturwissenschaften, 1960, B. 47, S. 279.
13. Ishikawa, S., Katsui, G. Vitamins, 1964, vol. 29, p. 203.
14. Jindra, A. Českoslov. farm., 1959, vol. 8, str. 15.
15. Klotz, L., Poethke, W. Pharmaz. Zentralhalle, 1964, B. 103, S. 1.
16. Idem. Ibid., S. 169.
17. Idem. Ibid., S. 255.
18. Hedin, P.A. Journal of Agricultural and Food Chemistry, 1963, vol. 11, p. 343.
19. Brown, E.B., Bina, A.F., Thomas, J.M. J. Biol. Chem., 1945, vol. 158, p. 455.
20. Scudi, J.V., Bastedo, W.A., Webb, T.I. Ibid., 1940, vol. 136, p. 399.

Исследование основных условий для полярографического определения пиридоксала гидрохлорида в лекарственных смесях

И. Крузе

Резюме

1. На фоне аммиачного буферного раствора pH 8,7, цитратно-фосфатного pH 7,2, фосфатного pH 6,8 и 0,4 M раствора натрия фосфата двузамещенного не удалось разработать рациональную методику для количественного полярографического определения пиридоксала в лекарственных смесях. Так же не давало удовлетворительных результатов комбинирование полярографического метода с ионообменной и тонкослойной хроматографией.

2. Разработана методика для количественного окисления пиридоксала в пиридоксаль двуокисью марганца в 1/15 M растворе калия фосфата однозамещенного или в ацетатном буферном растворе pH 5,2.

3. На фоне фосфатного буферного раствора pH 6,8 пиридоксаль дает волну восстановления кинетического характера с потенциалом полуволны - 0,74 в. Полярографическому определению не мешают витамины A, E, D₂, B₁, B₂, B₃, B₁₂, C, H, P, PP.

КОЛИЧЕСТВЕННОЕ ПОЛЯРОГРАФИЧЕСКОЕ ОПРЕДЕЛЕНИЕ
В ФАРМАЦЕТИЧЕСКИХ ПРЕПАРАТАХ ПИРИДОКСОЛА
ГИДРОХЛОРИДА ПОСЛЕ ЕГО ОКИСЛЕНИЯ В ПИРИДОКСАЛЬ

И.Крузе

На основе результатов, полученных в предыдущей работе "Исследование основных условий полярографического определения пиридоксала гидрохлорида в лекарственных препаратах", была разработана методика количественного полярографического определения пиридоксала гидрохлорида в лекарственных смесях. Поскольку пиридоксаль дает волну кинетического характера, высота которой зависит от pH раствора, состава и концентрации фона, то для вычисления результатов нельзя пользоваться калибровочной кривой. Но так как между высотой волны и концентрацией пиридоксала имеется прямолинейная зависимость, несмотря на изменение вышеперечисленных факторов фона (см.рис.1), содержание пиридоксала в лекарственных препаратах можно вычислить по методу добавок.

Для полярографических определений использовали тот же полярограф, ячейку и капельный ртутный катод, которые описывались в предыдущей статье. Все определения проводились в щательно терmostатированных растворах с постоянной температурой $+ 25^{\circ}\text{C} \pm 0,1^{\circ}\text{C}$.

Методика

Необходимые реактивы:

1. Стандартный 0,1% раствор пиридоксала гидрохлорида.
2. I/I5 M растворы калия фосфата однозамещенного и натрия фосфата двузамещенного (I).
3. 0,2 M ацетатный буферный раствор (Walpole) pH=5,2 (2).
4. I% раствор перманганата калия.

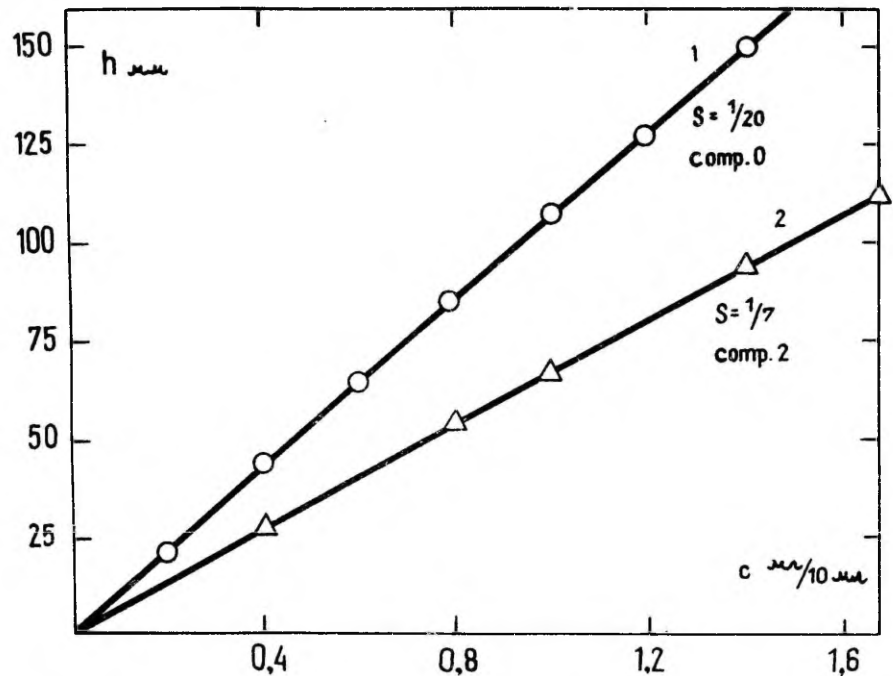


Рис. I.

Зависимость высоты волны (h) от концентрации (c) динридоексала гидрохлорида в 1/15 М фосфатном буфере $\text{pH} = 6,8$. 1 – растворы моновитаминного препарата, 2 – растворы поливитаминного препарата № 2 (см.табл.I).

5. Двуокись марганца. Приготавляется по прописи O.Mансега et al. (3).

15 г сульфата марганца растворяют в 200 мл воды, нагревают до 90⁰С и при постоянном перемешивании прибавляют насыщенный раствор перманганата калия (приблизительно 15 г перманганата калия) до небольшого излишка. Взвешивают при 90⁰С в течение 15 минут, охлаждают и фильтруют через фильтр-тутч. Осадок промывают горячей водой до тех пор, пока фильтрат не становится бесцветным, и метиловым спиртом (приблизительно 300 мл) и высушивают до постоянного веса при 50⁰С.

Из тщательно растертой пробы испытуемого образца берут навеску и растворяют в стаканчике при взвешивании в течение 5-8 минут в I/15 M растворе калия фосфата однозамещенного (рН раствора приблизительно 5,2). Раствор при надобности фильтруют через небольшой фильтр в мерную колбу подходящей емкости (не менее 50 мл), чтобы в полученном растворе содержалось 1,0 - 2,0 мг пиридоксола гидрохлорида в 10 мл. Остаток в стаканчике и на фильтре обрабатывают двукратно по 5 мл I/15 M раствора калия фосфата однозамещенного и фильтруют в ту же мерную колбу. Проверяют рН полученного раствора и при необходимости доводят его опять до рН 5,2 0,1 н. раствором соляной кислоты или гидроокиси калия, объем раствора доводят раствором калия фосфата однозамещенного до метки и перемешивают.

После этого 10 мл приготовленного раствора помещают в колбу емкостью 50 мл, прибавляют 0,2 двуокиси марганца и взвешивают с помощью машины в течение 60 минут. Затем раствор центрифицируется. Центрифугат переводят в мерную колбу емкостью 25 мл. Остаток в колбе обрабатывают 10 мл I/15 M раствором натрия фосфата двузамещенного и добавляют к остатку двуокиси марганца, взвешивают и вновь центрифицируют. Полученный центрифугат присоединяют к первому в мерной колбе и доводят объем раствора водой до метки, а затем перемешивают.

10 мл полученного раствора переносят в ячейку и полярографируют в интервале от -0,5 в до -1,0 в, предварительно

пропустив через раствор водород в течение 10 минут, поддерживая температуру ультратермостатом $+25^{\circ}\text{C} \pm 0,1^{\circ}\text{C}$.

Затем к раствору в ячейке добавляют такое количество стандартного 0,1% раствора пиридоксала гидрохлорида (примерно 0,4 - 1,0 мл), чтобы высота волны получилась примерно вдвое большее первоначальной.

Содержание пиридоксала гидрохлорида в лекарственных формах вычисляется по формуле:

$$x = \frac{c_{\text{ст}}}{\frac{h}{h_x} \cdot \frac{v_x + v_{\text{ст}}}{v_{\text{ст}}} - \frac{v_x}{v_{\text{ст}}}} \cdot \frac{v \cdot 25 \cdot d \cdot 1,01}{10 \cdot a},$$

где x - содержание пиридоксала гидрохлорида в I драже, таблетке, порошке (в мг); $c_{\text{ст}}$ - концентрация стандартного раствора (в мг/мл); h - высота волны после добавления стандартного раствора (в мм); h_x - высота волны исследуемого раствора (в мм); v - объем первого разведения (в мл); v_x - объем исследуемого раствора в ячейке (в мл); $v_{\text{ст}}$ - объем стандартного раствора (в мл); 25 - объем второго разведения (в мл); 10 - количество раствора первого разведения, взятое на окисление (в мл); d - средний вес I драже, таблетки, порошка (в г); a - навеска (в г); 1,01 - коэффициент пересчета пиридоксала гидрохлорида на пиридоксол гидрохлорид (отношение молекулярного веса пиридоксала гидрохлорида к молекулярному весу пиридоксала гидрохлорида).

Если присутствует аскорбиновая кислота, то препарат растворяют вместо раствора калия фосфата однозамещенного в 0,2 М ацетатном буфере pH 5,2 и витамин С предварительно окисляют, добавляя по каплям 1% раствор перманганата калия до появления слабофиолетового окрашивания, проверяют pH раствора.

вора и при необходимости доводят вновь до pH 5,2, прибавляют 0,2 г двуокиси марганца и далее поступают как описано выше. Объем раствора доводят ацетатным буфером до метки и полученный раствор с pH 5,2 полярографируют.

Для выяснения воспроизводимости предложенного метода к растворам витаминных препаратов разного состава прибавляли 2 мл 0,1% раствора пиридоксола гидрохлорида и определяли его содержание, используя вышеизложенную методику. Результаты приведены в табл. I, из которой следует, что полярографический метод определения дает воспроизводимые результаты с относительной погрешностью от $\pm 1,64\%$ до $\pm 3,13\%$ (разница от теоретического содержания от + 2,3% до - 0,4%).

Результаты количественного определения пиридоксола гидрохлорида в витаминных препаратах приведены в табл. 2. Как следует из табл. 2, относительная погрешность составляет от $\pm 1,82\%$ до $\pm 3,22\%$.

Выводы

1. Разработано полярографическое определение пиридоксола на основе его окисления двуокисью марганца в пиридоксаль в фосфатном или ацетатном буферном растворе pH 5,2.

2. Определения пиридоксола гидрохлорида можно производить как в чистом препарате, так и в моно- и поливитаминных препаратах. Относительная погрешность метода не превышает $\pm 3,2\%$.

Литература

1. Справочник химика, т. II, изд. "Химия", М.-Л., 1965, с. 171
2. Schwabe, K. Fortschritte der pH Messtechnik. Berlin, 1958, S. 252.
3. Mancera, O. et al. J. Chem. Soc., 1953, p. 2189.

Таблица I

Результаты количественного определения добавок
пиридоксала гидрохлорида к раствору поливитаминных препаратов

№ пп	Состав препарата (в г)	Внесено			\bar{x}	S	$S_{\bar{x}}$	ε_{α}	$\varepsilon_{отн. \%}$					
		Найдено												
		пиридоксала гидрохлорида		%										
		мг	мг	%										
I.	Аксерофтол 1650 МЕ Токферол 0,01 Никотиновая кислота 0,04 Кальция пантотенат 0,01 Биотин 0,001 Глюкоза 0,1	2	2,06 2,05 2,08 2,03 2,01	103,0 102,5 104,0 101,5 100,5	102,3	1,351	0,604	1,68	1,64					
2.	Тиамин-бромид 0,005 Рибофлавин 0,005 Никотинамид 0,05 Фолиевая кислота 0,002 Цианокобаламин 0,00005 Сахар 0,1	2	1,99 1,92 2,01 2,06 2,00	99,5 96,0 100,5 103,0 100,0	99,8	2,515	1,125	3,12	3,13					
3.	Аскорбиновая кислота 0,05 Лактоза 0,2	2	2,03 2,04 1,95 2,04 1,98	101,5 102,0 97,5 102,0 99,0	100,4	2,043	0,914	2,54	2,53					
4.	Рибофлавин 0,002 Фолиевая кислота 0,001 Рутин 0,02 Никотиновая кислота 0,05 Глюкоза 0,1	2	1,97 2,00 1,98 2,05 1,96	98,5 100,0 99,0 102,5 98,0	99,6	1,782	0,797	2,21	2,22					

Таблица 2

Результаты количественного определения пиридоксола гидрохлорида в витаминных препаратах

№ пп	Состав препарата в г	Найдено пиридоксола гидрохлорида		\bar{x}	S	$S_{\bar{x}}$	ξ_{α}	$\xi_{\text{отн.}\%}$
		г	%					
1.	Пиридоксол гидрохлорид 0,002	0,00196 0,00197 0,00202 0,00201 0,00198	98,0 98,5 101,0 100,5 99,0	99,5	1,458	0,652	1,81	1,82
	Сахар 0,2							
2.	Пиридоксол гидрохлорид 0,002 Тиамин-бромид 0,003 Рибофлавин 0,003 Биотин 0,001 Лактоза 0,1	0,00205 0,00195 0,00202 0,00194 0,00197	102,5 97,5 101,0 97,0 98,5	99,3	2,361	1,056	2,93	2,95
3.	Витамин В комплекс Витамин В ₆ 0,005 Витамин А ₆ 1650 МЕ Витамин В ₁ 0,005 Витамин В ₂ 0,005 Витамин РР 0,05 Кальция пантотенат 0,01	0,00528 0,00496 0,00508 0,00518 0,00508 0,00484	105,6 99,2 101,5 103,6 101,6 96,8	101,4	3,116	1,270	3,27	3,22
4.	Драже Витамин В ₆ 0,002 Витамин А 0,0015 Витамин В ₁ 0,002 Витамин В ₂ 0,002 Витамин РР 0,07 Витамин C 0,07 Витамин PP 0,015	0,00195 0,00202 0,00194 0,00194 0,00197 0,00196	97,5 101,0 97,0 98,4 98,5 98,0	98,4	1,558	0,697	1,93	1,97

**PÜRIDOKSOOLHÜDROKLORIIDI KVANTITATIIVNE POLAROGRAAFILINE
MÄÄRAMINE FARMATSEUTILISTES PREPARAATIDES PÄRAST TEMA
OKSÜDEERIMIST PÜRIDOKSAALIKS**

I. Kruse

R e s ü m e e

Töötati välja püridoksooli määramise kaudne polaro- graafiline meetod, mis baseerub püridoksooli kvantitatiiv- sel oksüdeerimisel 5,2 pH-lises lahuses mangaandioksiidiga püridoksaaliks ja selle kineetilise iseloomuga laine registreerimisel. Püridoksooli määramine on teostatav nii mono- kui ka polüvitamiinpreparaatides. Meetodi suhteline viiga ei ületa $\pm 3,2\%$.

СОДЕРЖАНИЕ – SISUKORD

<u>Таммари И.</u> О влиянии микроэлементов на динамику роста, урожай и содержание алколоидов в дурмане обыкновенном <i>Datura stramonium</i> L. в связи с известкованием кислой почвы	3
<u>Tammari, I.</u> Mikroelementide mõjusid okasõuna <i>Datura stramonium</i> L. kasvudünaamikale, saagile ja alkaloididesisaldusele seoses happepise mulla lupjamisega. (Resümee)	18
<u>Таммари И.</u> О влиянии микроэлементов на динамику роста, урожай и содержание алколоидов в листьях дурмана обыкновенного <i>Datura stramonium</i> L. при недостатке кальция в почве	19
<u>Tammari, I.</u> Mikroelementide mõjusid okasõuna <i>Datura stramonium</i> L. kasvudünaamikale, saagile ja lehtede alkaloididesisaldusele kaltsiumivaeses mullas. (Resümee)	27
<u>Таммари И.</u> О влиянии известкования на динамику роста, урожай и содержание алколоидов в дурмане обыкновенном <i>Datura stramonium</i> L. на фоне разных форм азота	28
<u>Tammari, I.</u> Lupjamise mõjusid okasõuna <i>Datura stramonium</i> L. kasvudünaamikale, saagile ja alkaloididesisaldusele erineva lämmastiku foonil. (Resümee)	40
<u>Koppel, V.</u> Proliini kvantitatiivsest paberkromatograafilisest määramisest	41
<u>Коппель В.</u> О количественном определении пролина методом хроматографии на бумаге (Резюме)	46
<u>Koppel, V., Elmelo, J.</u> Meetod C ¹⁴ radioaktiivsuse määramiseks paberkromatogrammidel	47

<u>Коппель</u> В., <u>Эльмело</u> И. Метод определения радиоактивности C^{14} на бумажных хроматограммах (Резюме) ...	52
<u>Koppel</u> , V. Radioaktiivse süsiniku assimileerimisest okasõuna lehtedes fotosünteesil	53
<u>Коппель</u> В. Об ассимиляции радиоактивного углерода в листьях дурмана при фотосинтезе. (Резюме)	61
<u>Koppel</u> , V. Tropaanalkalooidide moodustumisest juurtest eraldatud okasõunas	63
<u>Коппель</u> В. Об образовании тропановых алкалоидов в дурмане, отделенном от корней. (Резюме)	70
<u>Jürisson</u> , S. Hiirekõrva Capsella bursa-pastoris (L.) Med. toimeaine määramine	71
<u>Юрисон</u> С. Установление действующих веществ пастушьей сумки Capsella bursa-pastoris (L.) Med. (Резюме)	78
<u>Вейдерпасс</u> Н., <u>Кирш</u> Л., <u>Кейх</u> Э., <u>Пяябо</u> Р., <u>Ребане</u> Э., <u>Рулль</u> Э. Приготовление водных извлечений при помощи турбо- или вихревой экстракции	80
<u>Veiderpass</u> , N., <u>Kirsch</u> , L., <u>Keich</u> , E., <u>Pääbo</u> , R., <u>Rebane</u> , E..	
<u>Rull</u> , E. Vesiväljatömmatiste valmistamine turbo- ehk keerisekstraktsioonil. (Resümee)	91
<u>Вейдерпасс</u> Н., <u>Кирш</u> Л., <u>Каск</u> Э., <u>Киккас</u> Э., <u>Саар</u> Т., <u>Вомм</u> Э. О возможностях использования эстонских глин в фармацевтической практике	92
<u>Veiderpass</u> , N., <u>Kirsch</u> , L., <u>Kask</u> , E., <u>Kikkas</u> , E., <u>Saar</u> , T.,	
<u>Vomm</u> , E. Eesti NSV savide kasutatavas farmaatsias. (Resümee)	100
<u>Hansen</u> , V., <u>Luiik</u> , B., <u>Puis</u> , H. Naatrium-paraaminosalitsülaadi kvantitatiivsest määramisest	101
<u>Хансен</u> В., <u>Луйк</u> Б., <u>Пуйс</u> Х. Количественный анализ натрия пара-аминосалицилата. (Резюме)	115

<u>Крузе</u> И., <u>Кикас</u> А., <u>Планк</u> Р., <u>Хинрикус</u> Т. Сравнительное изучение методов расщепления фолиевой кислоты в пара-аминобензойную кислоту	T16
<u>Kruse</u> , I., <u>Kikas</u> , A., <u>Plank</u> , R., <u>Hinrikus</u> , T. Foolhappe p-aminobensoehappeks lagundamise erinevate meetodite võrdlev uurimus. (Resümee)	127
<u>Kruse</u> , I. Foolhappe kolorimeetrisel ja polarograafilise analüüsili meetodite võrdlev uurimus.	129
<u>Крузе</u> И. Сравнительное исследование колориметрического и полярографического методов анализа фолиевой кислоты. (Резюме)	T42
<u>Kruse</u> , I. Põhitingimuste uurimine püridoksoolhüdrokloriidi polarograafiliseks määramiseks ravimseguides	143
<u>Крузе</u> И. Исследование основных условий для полярографического определения пиридоксола гидрохлорида в лекарственных смесях. (Резюме)	T56
<u>Крузе</u> И. Количествоное полярографическое определение в фармацевтических препаратах пиридоксола гидрохлорида после его окисления в пиридоксаль	T57
<u>Kruse</u> , I. Püridoksoolhüdrokloriidi kvantitatiivne polarograafiline määramine farmatseutilistes preparaatides pärast tema oksüdeerimist püridoksaaliks. (Resümee)....	164

ТРУДЫ ПО МЕДИЦИНЕ

На русском и эстонском языках

Тартуский государственный университет
ЭССР, г. Тарту, ул. Енисея, 18

Vastutav teimstaja I. Kruse
Korrektorid M. Raiama ja N. Täikaleva

=====
TNO retaprint 1971. Paljundamisele antud 5. III 1971.
Trükkipeognaid 10,5 + 1,38 liisasiid. Arveteuspõognaid 7,8.
Trükiarv 350. Paber 30x45.1/4. MB 00325. Tell. nr. 166.

Hind 65 kpr.

РЕФЕРАТЫ СТАТЕЙ,
ОПУБЛИКОВАННЫХ В ДАННОМ СБОРНИКЕ

УДК 615.322: 582.951.4] : 631.81.095.337

О ВЛИЯНИИ МИКРОЭЛЕМЕНТОВ НА ДИНАМИКУ РОСТА,
УРОЖАЙ И СОДЕРЖАНИЕ АЛКАЛОИДОВ В ДУРМАНЕ
ОБЫКНОВЕННОМ Datura stramonium L. В СВЯЗИ
С ИЗВЕСТКОВАНИЕМ КИСЛОЙ ПОЧВЫ

И. Таммару

В условиях вегетационных опытов изучалось влияние микроэлементов на динамику роста, урожай и содержание алкалоидов в дурмане обыкновенном *Datura stramonium* L. в связи с известкованием кислой почвы. Почва: средне-подзолистый суглиник, $\text{pH}_{\text{KCl}}=4,50$.

Было установлено, что микроэлементы бор, кобальт, марганец и молибден повышают всхожесть семян дурмана, ускоряют динамику роста и повышают урожай всех органов дурмана. Известь уменьшает действие названных микроэлементов на рост и урожай дурмана.

Микроэлементы бор, марганец, кобальт и молибден повышают содержание алкалоидов в % в дурмане. Под влиянием извести действие бора, марганца, кобальта и молибдена на образование алкалоидов в дурмане уменьшается.

Таблица 7, библиогр. 10 названий.

УДК 615.322 : 582.951.4] : 631.81.095.337

О ВЛИЯНИИ МИКРОЭЛЕМЕНТОВ НА ДИНАМИКУ РОСТА,
УРОЖАЙ И СОДЕРЖАНИЕ АЛКАЛОИДОВ В ЛИСТЬЯХ
ДУРМАНА ОБЫКНОВЕННОГО *Datura stramonium L.*
ПРИ НЕДОСТАТКЕ КАЛЬЦИЯ В ПОЧВЕ

и. Таммару

В условиях вегетационных опытов изучалось влияние микроэлементов бора, марганца, кобальта и молибдена на динамику роста, урожай и содержание алкалоидов в листьях дурмана обыкновенного *Datura stramonium L.* при недостатке кальция в почве.

Опыт был заложен на фоне кислой неизвесткованной и известкованной почве, уже использованных для выращивания дурмана. Почва: среднеподзолистый суглинок, $pH_{H_2O} = 4,50$.

Было установлено, что действие микроэлементов бора, марганца, кобальта и молибдена на дурман сильно зависит от содержания кальция в почве. При недостатке кальция в почве бор может действовать токсически: замедлить рост и уменьшить урожай дурмана, под влиянием марганца урожай дурмана может не повышаться, содержание алкалоидов в % в листьях может не повышаться под влиянием микроэлементов.

Таблиц 4, библиогр. 2 названия.

УДК 615.322: 582.951.4] : 631.821

О ВЛИЯНИИ ИЗВЕСТКОВАНИЯ НА ДИНАМИКУ РОСТА,
УРОЖАЙ И СОДЕРЖАНИЕ АЛКАЛОИДОВ В ДУРМАНЕ
ОБЫКНОВЕННОМ Datura stramonium L. НА ФОНЕ
РАЗНЫХ ФОРМ АЗОТА

И. Таммари

В условиях вегетационных опытов изучалось влияние известкования на динамику роста, урожай и содержание алкалоидов в дурмане обыкновенном *Datura stramonium* L. на фоне нитратного и аммиачного азота. Печва: среднеподзолистый суглиник, $\text{pH}_{\text{KCl}} = 4,75$.

Было установлено, что известкование кислой почвы не ускоряет динамику роста дурмана в фазе образования плодов ни на фоне нитратного, ни на фоне аммиачного азота. Начиная с фазы образования плодов, известок заметно ускоряет рост дурмана на фоне нитратного азота. На фоне аммиачного азота рост дурмана начинает ускоряться в фазе созревания плодов. Рост растений на фоне нитратного азота больше, чем на фоне аммиачного азота.

Известкование кислой почвы повышает урожай всех органов дурмана на фоне нитратного азота больше, чем на фоне аммиачного азота. Наибольший эффект дала доза извести 25% по гидрол. кислотности почвы (Н). Наибольшее повышение содержания алкалоидов в % во всех органах дурмана, кроме корней на фоне аммиачного азота, дает известок в дозе 25% Н на обеих фазах. Содержание алкалоидов в % на фоне нитратного азота заметно больше, чем на фоне аммиачного азота.

Таблица 6, библиогр. 3 названия.

УДК 547.747.074 : 543.544.42

О КОЛИЧЕСТВЕННОМ ОПРЕДЕЛЕНИИ ПРОЛИНА
МЕТОДОМ ХРОМАТОГРАФИИ НА БУМАГЕ

В.Коппель

Исследовалось количественное фотоэлектроколориметрическое определение пролина в элюатах бумажных хроматограмм, проявленных изатином.

Было установлено, что при элюции бумажных хроматограмм смесью из фенола и пиридина (0,6 : 1,4), насыщенных водой, синее окрашивание элюатов в среднем в 2 раза устойчивее, чем при элюции без примеси пиридина. Элюировать следует в темноте в течение 30 минут, время от времени взбалтывая.

Точность метода $\pm 2\%$.

Таблиц I , библиогр. 7 названий.

УДК 543.544.42 : 539.163

МЕТОД ОПРЕДЕЛЕНИЯ РАДИОАКТИВНОСТИ С¹⁴ НА
БУМАЖНЫХ ХРОМАТОГРАФИМАХ

В.Коппель, И.Эльмело

Предлагается новый метод определения радиоактивности С¹⁴ на бумажных хроматограммах с двух сторон хроматограммы при помощи двух счетчиков импульсов. Метод является в среднем на 80% более эффективным, чем счет импульсов препаратов, приготовленных из элюатов хроматограммы.

Рис. I, таблиц I , библиогр. 10 названий.

УДК 582.951.4 - II3.2.001.II : 539.163

ОБ АССИМИЛЯЦИИ РАДИОАКТИВНОГО УГЛЕРОДА В ЛИСТЬЯХ ДУРМАНА ПРИ ФОТОСИНТЕЗЕ

В. Копиель

Исследовалось интенсивность ассимиляции радиоактивного углерода C^{14} в листьях дурмана, у которого были удалены цветы. Было установлено, что дурман ассимилирует $C^{14}O_2$ при фотосинтезе почти полностью в течение 5-6 часов и гликоза приобретает за это время максимальную радиоактивность. Радиоактивность гликозы постепенно уменьшается и через 17 суток составляет только 7-8% от начальной радиоактивности.

Свободные аминокислоты лейцин, валин, пролин, глутаминовая кислота и аспарагиновая кислота приобретают максимальную радиоактивность через 8-9 суток после ассимиляции радиоактивного углерода при фотосинтезе, а лизин через 4-5 суток. Из свободных аминокислот максимальную радиоактивность приобретает пролин.

Таблица I, библиогр. 24 названия.

УДК 582.951.4 - II3 : 547.94

ОБ ОБРАЗОВАНИИ ТРОПАНОВЫХ АЛКАЛОИДОВ
В ДУРМАНЕ, ОТДЕЛЕННОМ ОТ КОРНЕЙ

В.Коппель

При помощи радиоактивного углерода C^{14} исследовался биосинтез гиосциамина и скополамина в дурмане, у которого были удалены корни.

Было установлено, что в начале фазы цветения образуется в среднем 62,3% от суммы алкалоидов в наземных частях дурмана. Гиосциамин образуется в начале фазы цветения главным образом в корнях, а скополамин в наземных частях дурмана.

Таблиц I., библиогр.17 названий.

УДК 615.767-011:577.164.18

УСТАНОВЛЕНИЕ ДЕЙСТВУЮЩИХ ВЕЩЕСТВ ПАСТУШЬЕЙ
СУМКИ CAPSELLA BURSA-PASTORIS (L.) MED.

С.Юриссон

Изучали содержание действующих веществ пастушьей сумки. Выяснилось, что в траве пастушьей сумки содержание холина больше всего в первом вегетационном периоде до распускания цветов. Кроме того, идентифицировали гистамин и биологически активные вещества. Изучение показало, что эти вещества содержали азот (по реакции с берлинской лазурью) и давали положительные реакции с алкалоидными реактивами. Биологическая активность полученных веществ изучалась на изолированном роге матки кролика. Изолированные вещества являлись биологически активными, вызывая в слабых концентрациях усиление сокращений и повышение тонуса рога матки кролика.

Таблиц 2, иллюстр. 2, библиогр. 10 названий.

УДК 615.411

ПРИГОТОВЛЕНИЕ ВОДНЫХ ИЗВЛЕЧЕНИЙ ПРИ ПОМОЩИ ТУРБО- ИЛИ ГОРЯЧЕЙ ЭКСТРАКЦИИ

Сообщение I. Извлечения из листьев толокиняники (*Fol. Uvae ursei*) и корней первоцвета (*Rad. Primulae*)

Н.Вейдерпасс, Л.Кирш, Э.Кейх, Р.Шаябо, Э.Ребане
и Э.Рулль

При помощи размельчителя тканей приготавляли турбо- методом водные извлечения из листьев толокиняники (I) и корней первоцвета (II) при комнатной температуре и с помощью горячей воды (100°C). Срок экстрагирования 5 и 10 минут, скорость вращения мешалки 3000 и 5000 об./мин. Изменение температуры воды от 20° до $23,2^{\circ}$ /5 мин./ и до $23,5^{\circ}$ /10 мин./; от 100° до $44,3^{\circ}$ /5 мин./ и до $43,2^{\circ}$ /10 мин./.

Доказано, что отвары I можно заменить турбо-извлечениями, полученными 10-минутным экстрагированием горячей водой со скоростью вращения мешалки 5000 об./мин. Содержание дубильных веществ и сухого остатка в этих извлечениях несколько ниже, чем в фармакопейном отваре, но содержание арбутина даже выше. Время приготовления извлечений сокращается в 3 раза /от 30 мин. до 10 мин./.

Отвары II нельзя заменить турбо-извлечениями, так как при 5-минутном вращении мешалки со скоростью 3000 об./мин. вследствие содержания сапонинов извлечения сильно пенятся и следовательно, уменьшается контакт между частицами сырья и извлекателя. Содержание сапонинов и экстрактивных веществ в турбо-извлечениях значительно ниже по сравнению с фармакопейными отварами. Образующаяся пена затрудняет также проплавление извлечений.

Вопросы возможности удаления или предотвращения образующейся пены требуют самостоятельного изучения.

Рис.2, диагр.4, библиогр.12 названий.

УДК 615:552.52 : 541.183.5

О ВОЗМОЖНОСТИ ИСПОЛЬЗОВАНИЯ ЭСТОНСКИХ ГЛИН
В ФАРМАЦЕВТИЧЕСКОЙ ПРАКТИКЕ

Сообщение I. Изучение некоторых адсорбирующих свойств
глин Иоосусского и Вийвиконнасского место-
рождения.

Н.Вейдернесс, Л.Кирш, Э.Каск, Э.Киккас,
Т.Саар и Э. Вомм

Из 6 проб глин выбирали 2 пробы для подробного изуче-
ния, минералогический состав которых определяли при кафед-
ре геологии ТГУ ионизационным методом. Иоосусская глина (I)
содержит почти поровну гидрослюды и каолинит, Вийвиконна-
ская глина (II) - гидрослюды и хлорит.

Обе глины были изучены как в природном состоянии, так
и в Na-форме. Для этого обрабатывали глины раствором хло-
рида натрия.

Для выяснения адсорбирующих свойств I/ провели иссле-
дования с метиленовым синим, 2/ определяли количество ад-
сорбированных экстрактивных веществ из настоек валерьяны,
- зверобоя и -алоз, 3/ определяли количество адсорбирован-
ного атропина из раствора атропина сульфата.

Глины адсорбировали разные количества экстрактивных
веществ из настоек/около 0,16-1,23 г на 100 г глины/, так-
же по разному атропин /около 0,05 г II и около 0,15 г I на
100 г глины/.

Изучение адсорбирующей способности глин помогает вы-
яснить возможность использования их в фармацевтической
практике.

Таблица 2, рис.2, библиогр. 12 названий.

УДК 615. 281.074

КОЛИЧЕСТВЕННЫЙ АНАЛИЗ НАТРИЯ ПАРА-
АМИНОСАЛИЦИЛАТА

В.Хансен, Б.Луйк, Х.Пуйс

Сравнивая рациональность методов количественного анализа ПАСК-На по их достоверности, точности и стоимости, оказалось, что из исследованных методов и их вариантов равноподобными были аргентометрия, ацидиметрия с комбинированным индикатором (метил.оранж.+ метил.синий) и титрование в безводной уксусной кислоте (0,1 и хлорной кислотой, инд. кристаллическ. фиолетовый).

Таблиц 8, библиогр. 8 названий.

УДК 615.356 : 577.164.17]. 074 : 543.432

СРАВНИТЕЛЬНОЕ ИЗУЧЕНИЕ МЕТОДОВ РАСПЩЕЛЕНИЯ
ФОЛИЕВОЙ КИСЛОТЫ В ПАРААМИНОБЕНЗОЙНУЮ КИСЛОТУ

И.Крузе, А.Кикас, Р.Планк, Т.Хинрикус

Проведено сравнительное исследование разных методов расщепления фолиевой кислоты в парааминобензойную. Описан метод фотоколориметрического определения фолиевой кислоты после расщепления фолиевой кислоты при окислении в слабо щелочном растворе с перманганатом калия.

Таблиц 4, иллюстр.1, библиогр.9 названий.

УДК 615.356:577.164.17]. 074 : [543. 432 + 543.253

СРАВНИТЕЛЬНОЕ ИССЛЕДОВАНИЕ КОЛОРИМЕТРИЧЕСКОГО И
ПОЛЯРОГРАФИЧЕСКОГО МЕТОДОВ АНАЛИЗА ФОЛИЕВОЙ КИСЛОТЫ

И.Крузе

Сравнивались результаты полярографического и фотоэлектро-
колориметрического методов количественного определения
фолиевой кислоты в поливитаминных препаратах. Для проведения
полярографического анализа предложен в качестве фона
бура-фосфатный буферный раствор рН 6,8.

таблиц 2, иллюстр.3, библиогр.24 названия.

УДК 615.356:577.164.13]. 074:543.253

ИССЛЕДОВАНИЕ ОСНОВНЫХ УСЛОВИЙ ДЛЯ ПОЛЯРОГРАФИЧЕСКОГО
ОПРЕДЕЛЕНИЯ ПИРИДОКСОЛА ГИДРОХЛОРИДА В ЛЕКАРСТВЕННЫХ
СМЕСЯХ

И.Крузе

Проведено исследование полярографического определения
пиридоксала гидрохлорида в лекарственных смесях на фоне
разных буферных растворов. Разработана методика полярограф-
ического анализа пиридоксала после окисления его в пири-
доксаль двуокисью марганца при рН 5,2.

Иллюстр. 8, библиогр.20 названий.

УДК 615.356:577.164.13], 074:543.255

КОЛИЧЕСТВЕННОЕ ПОЛЯРОГРАФИЧЕСКОЕ ОПРЕДЕЛЕНИЕ
В ФАРМАЦЕВТИЧЕСКИХ ПРЕПАРАТАХ ПИРИДОСОЛА
ГИДРОХЛОРИДА ПОСЛЕ ЕГО ОКИСЛЕНИЯ В ПИРИДОКСАЛЬ

И. Крузе

Разработан полярографический метод определения пиридосола в фармацевтических препаратах на основе его окисления двуокисью марганца в пиридоксаль в фосфатном или ацетатном буферном растворе pH 5,2.

Таблица 2, иллюстр. I, таблица 3 названия.

Hind 65 kop.

TU RAAMATUKOGU



1 0300 00288370 2